

České vysoké učení technické v Praze
Fakulta stavební
Katedra ocelových a dřevěných
konstrukcí



DIPLOMOVÁ PRÁCE

Chování šikmému mostu s řídicí tyčí MW
při brzdových silách

Autor: Bc. Martin Werunský

Vedoucí práce: doc. Ing. Pavel Ryjáček, Ph.D.

Praha, 2017

Touto cestou bych chtěl poděkovat vedoucímu mé diplomové práce panu doc. Ing. Pavlu Ryjáčkovi, Ph.D. za jeho čas, ochotu a především rady, které byly nezbytné pro vypracování této diplomové práce.

Abstrakt: Tato diplomová práce se zabývá vlivem účinků brzdných sil na interakci bezстыkové koleje a obloukového mostu s výraznou šikmostí opatřeného systémem řízení dilatace mostu. V této práci je obsaženo stručné teoretické shrnutí problematiky, výsledky naměřených experimentálních dat, způsob stanovení brzdných sil od vlakové soupravy, vytvoření nelineárního modelu reprezentujícího interakci mostu a bezстыkové koleje a jeho následné porovnání s naměřenými experimentálními daty. Práce obsahuje také parametrickou studii.

Klíčová slova: šikmý obloukový most, řídicí tyč Meyer-Wunstorf, brzdná zatěžovací zkouška, experiment, interakce bezстыkové koleje a mostu, CSI Bridge, validace modelu

Abstract: This diploma thesis concerns on influence of braking forces on interaction of continuous welded rail and significantly skewed arch steel bridge equipped with control-rod-system. This thesis consist brief theoretical summary, method of determination braking forces of the train, results of experimental measurements, making of non-linear model that represents behaviour of interaction of continuous welded rail and bridge and comaprement between model results and experimental results. Thesis also constist paramteric study.

Key words: skew bridge, control-rod-system, train braking experiment, interaction of continous welded rail and bridge, CSI Bridge, validation of the model



ČESKÉ VYSOKÉ UČENÍ TECHNICKÉ V PRAZE



Fakulta stavební
Thákurova 7, 166 29 Praha 6

ZADÁNÍ DIPLOMOVÉ PRÁCE

I. OSOBNÍ A STUDIJNÍ ÚDAJE

Příjmení: <u>Werunský</u>	Jméno: <u>Martin</u>	Osobní číslo: _____
Zadávací katedra: <u>Katedra ocelových a dřevěných konstrukcí</u>		
Studijní program: <u>Stavební inženýrství</u>		
Studijní obor: <u>Konstrukce a dopravní stavby</u>		

II. ÚDAJE K DIPLOMOVÉ PRÁCI

Název diplomové práce: <u>Chování šikmého mostu s řídicí tyčí MW při brzdných silách</u>	
Název diplomové práce anglicky: <u>Behaviour of the skew railway bridge with MW guiding at brake forces</u>	
Pokyny pro vypracování: Vyhodnocení brzdných zkoušek mostu Oskar v Břeclavi se zaměřením na interakci kolej/most a řídicí systému MW, tvorba nelineárního numerického modelu, validace a verifikace a srovnání s experimentem. Zhodnocení chování mostu.	
Seznam doporučené literatury: Frýba, L. Dynamika železničních mostů. 1. vyd. Praha: Academia, 1992. 328 s. ISBN 80-200-0262-6	
Jméno vedoucího diplomové práce: <u>doc. Ing. Pavel Ryjáček, Ph.D.</u>	
Datum zadání diplomové práce: <u>3.10.2016</u>	Termín odevzdání diplomové práce: <u>8.1.2017</u> <small>Údaj uveďte v souladu s kalendářem akademického roku</small>
	 Podpis vedoucího katedry

III. PŘEVZETÍ ZADÁNÍ

Beru na vědomí, že jsem povinen vypracovat diplomovou práci samostatně, bez cizí pomoci, s výjimkou poskytnutých konzultací. Seznam použité literatury, jiných pramenů a jmen konzultantů je nutné uvést v diplomové práci a při citování postupovat v souladu s metodickou příručkou ČVUT „Jak psát vysokoškolské závěrečné práce“ a metodickým pokynem ČVUT „O dodržování etických principů při přípravě vysokoškolských závěrečných prací“.

<u>3.10.16</u> Datum převzetí zadání	 Podpis studenta(ky)
---	---

Prohlašuji, že jsem předloženou práci vypracoval samostatně a že jsem uvedl veškeré použité informační zdroje v souladu s Metodickým pokynem o etické přípravě vysokoškolských závěrečných prací.

V Praze dne 8. ledna 2016

Martin Werunský

Obsah

1	Úvod.....	1
2	Cíle práce.....	1
3	Problematika interakce bezстыkové koleje a mostu.....	2
3.1	Bezстыková kolej obecně.....	2
3.2	Bezстыková kolej na mostě.....	3
3.3	Způsoby snížení dilatační délky mostu.....	6
3.3.1	Rozdělení mostní konstrukce do dilatačních délek.....	6
3.3.2	Dilatační kolejové zařízení.....	7
3.3.3	Systém řízení dilatace mostu (SŘDM).....	8
4	Sledovaný most OSKAR.....	11
4.1	Železniční svršek.....	13
4.2	Nosná konstrukce.....	14
4.2.1	Trámy hlavního nosníku (S355):.....	14
4.2.2	Oblouky hlavního nosníku (S355).....	15
4.2.3	Systém ztužidel oblouků hlavního nosníku.....	16
4.2.4	Táhla hlavního nosníku (S460).....	16
4.2.5	Mostovkový plech (S355).....	17
4.2.6	Podélné výztuhy mostovkového plechu (S355).....	17
4.2.7	Příčné výztuhy (S355).....	17
4.2.8	Koncové příčné výztuhy (S355).....	18
4.3	Ložiska.....	18
4.4	Břeclavská a Vídeňská opěra.....	19
4.5	Systém řízení dilatace mostu (SŘDM).....	19
5	Experimentální měření.....	22
5.1	Dlouhodobý monitoring.....	22
5.1.1	Použité snímače, měřená místa.....	22
5.1.2	Měřicí ústředny.....	27

5.2	Zatěžovací zkoušky.....	30
5.2.1	Brzdná zatěžovací zkouška NOK1	30
6	Vyhodnocení brzdných zatěžovacích zkoušek NOK1	34
6.1	Způsob stanovení vnitřních sil	35
6.2	ZS 211	37
6.3	ZS 211A	41
6.4	ZS 211B	45
6.5	ZS 221	49
6.6	ZS 221A	49
6.7	ZS 232	50
6.8	ZS 232A	54
6.9	ZS 242	58
6.10	ZS 221B	62
6.11	ZS251	66
6.12	ZS 251A	70
6.13	Závěr.....	74
7	Numerický model.....	75
7.1	Nosná konstrukce	75
7.2	Kolej a kolejové lože.....	80
7.3	SŘDM	82
7.3.1	Tření SŘDM	83
7.4	Ložiska.....	84
7.5	Zobrazení modelu	87
7.6	Stanovení zatížení.....	89
7.6.1	Svislé zatížení	89
7.6.2	Stanovení brzdných a rozjezdových sil.....	89
7.7	Zatížení zadané do modelu	92
7.7.1	ZS 221B.....	92
8	Validace modelu.....	97

8.1	Úvod	97
8.1.1	ZS221B – Brzdění	98
8.1.2	ZS221B - Rozjezd	99
8.1.3	ZS 242 – Brzdění	100
8.1.4	ZS 242 – Rozjezd.....	102
8.2	Zhodnocení validace	103
9	Parametrická studie.....	106
9.1	Úvod	106
9.1.1	Změna tuhosti kolejového lože	106
9.1.2	Změna tření v sedlech systému řízení dilatace mostu	109
9.1.3	Změna tření v ložiskách	113
9.2	Závěr.....	116
10	Závěr	117
	Literatura	119
	Seznam obrázků	120
	Seznam tabulek.....	127

1 Úvod

Dnes se v drtivé většině případů zřizují železniční tratě s bezстыkovou kolejí. Bezстыková kolej je z hlediska údržby ekonomicky výhodná a i v extrémních teplotních podmínkách vykazuje vysokou míru spolehlivosti. Bezстыková kolej, která je převáděná přes mostní konstrukci, je dodatečně namáhána od jejího působení. Výrazný vliv na namáhání koleje má dilatace mostní konstrukce. Aby se namáhání co nejvíce snížilo, je snaha budovat mosty s co nejmenší dilatační délkou. Docílit toho lze rozdělením mostů do více dilatačních úseků. Možné je použít i dilatační kolejové zařízení. V Německu byl vyvinut systém řízení dilatace mostu Meyer-Wunstorf. Jedná se o pákový systém, který je vhodný pro mosty s rozpětím 60-120m. Tento systém zkracuje jejich dilatační délku až na polovinu.

Výrazně šikmý most Oskar, nacházející se na I. železničním koridoru tři kilometry jižně od města Břeclav, je tímto systémem vybaven. Abychom lépe pochopili chování interakce bezстыkové koleje a tohoto mostu, byl na něm v roce 2015 zřízen dlouhodobý nepřetržitý monitoring. V srpnu 2016 byly na mostě provedeny zatěžovací zkoušky. Součástí zatěžovacích zkoušek byly i brzdové zkoušky, které měly ověřit chování systému řízení pro dilataci mostu při zatížení brzdnými silami.

2 Cíle práce

Cílem této diplomové práce je vytvoření a validace nelineárního modelu mostu Oskar. Model je validován podle vyhodnocených experimentálních dat, která byla naměřena při brzdových zatěžovacích zkouškách. Na základě vyhodnocených dat a výsledků z validovaného modelu je zhodnoceno chování systému řízení dilatace mostu a interakce bezстыkové koleje a mostu. Součástí této práce je také parametrická studie, která má objasnit, jaké faktory nejvíce ovlivní chování SŘDM a interakci koleje a mostu.

3 Problematika interakce bezстыkové koleje a mostu

3.1 Bezстыková kolej obecně

Dnes je standardem zřizovat železniční tratě s bezстыkovou kolejí. Výhody bezстыkové koleje jsou jednoznačné: jízda drážního vozidla je po ní klidná, okolí tratě není vystaveno hlukovým emisím způsobeným přejezdem kola přes kolejnicový styk a nedochází k opotřebením kol drážních vozidel. Z hlediska životnosti a údržby kolejnic je konstrukce bezстыkové koleje jednoznačně výhodnější než konstrukce koleje stykové, neboť u bezстыkové koleje nedochází k opotřebením temen kolejnic působením drážních vozidel.

I přes výše zmíněné výhody má zřizování bezстыkové koleje negativa. Absence kolejových styků neumožňuje bezстыkové koleji volně dilatovat. Z toho důvodu vznikají v koleji normálové síly od teplotních změn. Při nadměrných kladných teplotách hrozí nebezpečí, že kolej nevydrží napětí do ní vnesené a vybočí. Toto nebezpečí roste se zmenšujícím se poloměrem traťového oblouku. Opatřením, aby se tak nestalo, je zřizování nadvýšného kolejového lože v oblouku o poloměru $R < 450\text{m}$, dále smí být zřizovány oblouky s poloměrem $R > 200\text{m}$. V budoucnu se počítá s novelizací normy, kdy bude přípuštěno zřízení oblouku o poloměru $R > 150\text{m}$. Naopak, při nízkých teplotách hrozí, že dojde k mrazovému lomu kolejnice



Obrázek 1: Vybočení bezстыkové koleje v důsledku nadměrného tepelného namáhání



Obrázek 2: Trhlina kolejnice způsobená mrazem

3.2 Bezстыková kolej na mostě

Bezстыková kolej zřízená na mostní konstrukci je ovlivněna, kromě teplotních změn, které na ní působí, ještě dalšími faktory. Tyto faktory jsou:

- 1) Teplotní změny mostní konstrukce
- 2) Účinky brzdných a rozjezdových sil
- 3) Účinky od deformace mostní konstrukce od provozních zatížení

1) Teplotní změny mostní konstrukce

Změna teploty výrazně ovlivňuje vznik napětí v bezстыkové koleji. Největšího nárůstu napětí dochází v místech nad opěrami. Změna normálové síly bezстыkové koleje je závislá na posunu mostní konstrukce. Posun lze pospat vztahem:

$$u_m = l_m \cdot \alpha_m \cdot \Delta T_m$$

u_m - posunutí mostu vlivem změny teploty [m],

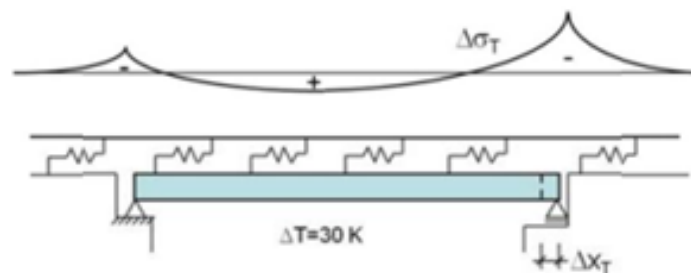
α_m - součinitel ekvivalentní teplotní roztažnosti pro mostní konstrukce zohledňující nerovnoměrné prohřívání mostní konstrukce a také materiál, ze kterého byla konstrukce vyrobena [K^{-1}],

ΔT_m - teplotní rozdíl mezi aktuální teplotou mostu a teplotou mostu, při níž byla zřízena bezстыková kolej na mostě [K],

l_m – dilatační délka konstrukce [m].

Most		$\alpha_m [10^{-6} K^{-1}]$
Průběžné kolejové lože	Ocelový	6
	Ocelobetonový	5
	Betonový	5
Prvková otevřená mostovka		9
Kolejnice		12

Tabulka 1: Hodnoty součinitele ekvivalentní teplotní roztažnosti. [1]



Obrázek 3: Schéma průběhu normálových sil v koleji od teplotní změny mostní konstrukce. [2]

2) Účinky brzdných a rozjezdových sil

Změna osové síly v koleji, uvažovaná po její délce, je úměrná aktivovanému podélnému odporu koleje proti posunutí a spojitému podélnému zatížení brzdnými nebo rozjezdovými silami.

$$\frac{dN_x}{dx} = r_x - q_x, [kN/m]$$

r_x – podélný odpor proti posunutí [kN/m]

q_x – spojité zatížení brzdnými nebo rozjezdovými silami [kN/m]

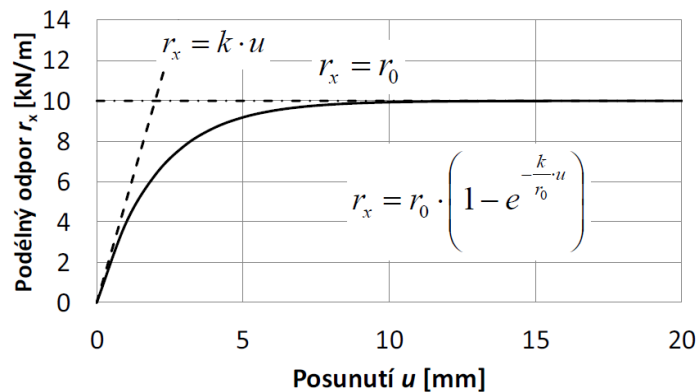
Podélný odpor je klíčový parametr pro popis chování bezстыkové koleje na mostě. Matematicky ho lze vyjádřit vztahem:

$$r_x = k_m \cdot (u - u_m)$$

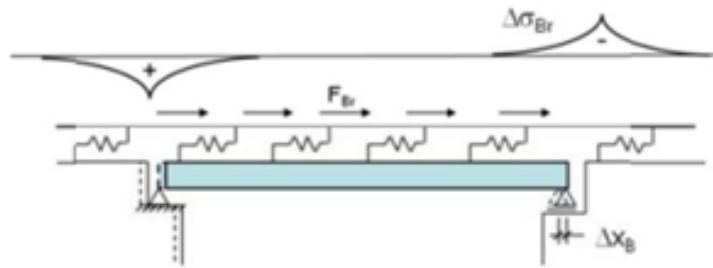
k_m - konstanta vyjadřující lineární závislost mezi posunutím koleje a podélným odporem na mostě [kN/m²],

u - podélné posunutí koleje [m],

u_m - posunutí mostu vlivem změny teploty [m], viz.2.



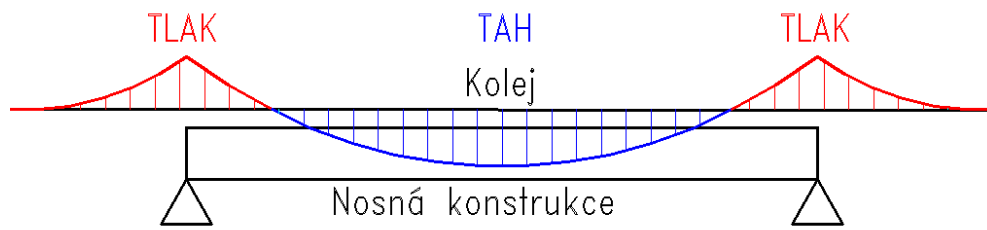
Obrázek 4: Model podélného odporu, pro výpočetní modely se konzervativně používá lineární závislost podélného odporu na posunutí koleje. [1]



Obrázek 5: Průběh normálových sil od zatížení brzdnými nebo rozjezdovými silami. [2]

3) Účinky od deformace mostní konstrukce od provozních zatížení

Změna normálových sil v bezстыkové koleji je také způsobena průhybem mostu od statického účinku vlaku. Část koleje nad opěrami, které ohraničují zatížené pole, je tlačena. Část koleje, která se nachází na mostě, je tažena. Průběh normálových sil koleje má totožný průběh, jako je průběh napětí spodního pásu spojitého nosníku o stejném počtu polí jako má nosná konstrukce a který je na obou svých koncích zakončen vetknutím.



Obrázek 6: Průběh normálové síly v koleji od statického zatížení vlaku

Aby bylo zabráněno porušení koleje od výše zmíněných faktorů, jsou normou stanoveny limitní hodnoty přídatných napětí, které nesmí přesáhnout:

$\sigma_{\max, \text{tah}} \leq 92 \text{ MPa}$ – maximální přídatné tahové napětí pro bezстыkovou kolej ve štěrkovém loži nebo v pevné jízdni dráze

$\sigma_{\max, \text{tlak}} \leq 92 \text{ MPa}$ – maximální přídatné tlakové napětí pro bezстыkovou kolej v pevné jízdni dráze

$\sigma_{\max, \text{tlak}} \leq 72 \text{ MPa}$ – maximální přídatné tlakové napětí pro bezстыkovou kolej ve štěrkovém loži

Snížení hodnot přídatných napětí lze spolehlivě dosáhnout upínáním koleje při ideálních teplotách, jejichž rozmezí je od 17°C do 23°C.

Při zřizování bezстыkové koleje na mostě je nezbytně nutné dodržet následující podmínky:

- 1) Síla v koleji je při maximálním oteplení mostu i kolejnic menší, než je polovina kritické síly pro vybočení.
- 2) Napětí v kolejnici vyhoví z hlediska únosnosti kolejnic pro maximální oteplení a ochlazení mostu i kolejnic, s ojetím kolejnic se napětí zvyšuje. Maximální mezní hodnota srovnaného ojetí kolejnic UIC60 E1/E2 se připouští do 12mm.
- 3) Spára vzniklá po lomu kolejnice způsobeném působením mrazu v zimním období je menší než 50mm.
- 4) Síla působící na upevnění kolejnic u mostů bez kolejového lože nepřekročí přípustnou mez – posuzuje se hodnota vzájemného posunutí mezi mostem a kolejí.

3.3 Způsoby snížení dilatační délky mostu

Dilatace mostní konstrukce má výrazný vliv na namáhání převáděné bezстыkové koleje. Z toho důvodu je snaha snížit dilatační délku koleje na co nejmenší hodnotu, neboť tato hodnota je klíčová ve vztahu:

$$u_m = l_m \cdot \alpha_m \cdot \Delta T_m$$

Dilatační délku mostů lze snížit:

- 1) Rozdělením mostní konstrukce do několika dilatačních délek
- 2) Instalací velkého nebo malého kolejového dilatačního zařízení
- 3) Instalací systémů řízení dilatace mostu, tzv. řídicí tyče

3.3.1 Rozdělení mostní konstrukce do dilatačních délek

Rozdělení mostů do dilatačních délek je závislé na:

- uspořádání mostních ložisek a dilatující délce l_m
- tvaru kolejnice
- na materiálu, ze kterého byl most vyroben
- na tom, zda je na mostě použito šterkové lože, mostnice nebo přímé upevnění
- mostů s prvkovou mostovkou, zda jsou mostnice uloženy centricky nebo plošně
- na materiálu pražců – betonové/dřevěné

Tab.1 Největší přípustné dilatující délky L_T nosných konstrukcí mostů pro zřízení bezстыkové koleje

Případ č.	Uspořádání mostních ložisek a dilatující délka L_T	Tvar kolejnice 2)	Mosty s nosnými konstrukcemi									
			ocelovými				ocelobetonovými		betonovými			
			s kolejovým ložem pražce		s mostnicemi uloženými		s přímým uložením koleje		s kolejovým ložem pražce		s kolejovým ložem pražce	
			dřevěné	betonové	centricky	plošně			dřevěné	betonové	dřevěné	betonové
L _T [m]												
1	2	3	4	5	6	7	8	9	10	11	12	
1												
2		R 65	125	90	70	23	20	160	120	180	130	
		UIC 60	110	80	66	23	20	140	103	156	113	
		T,S 49	85	60	60	23	20	100	70	110	80	
3		R 65	125	86	70	25	23	160	110	180	125	
		UIC 60	108	74	63	25	23	136	93	153	106	
		T,S 49	75	51	50	25	23	90	60	100	70	
4		R 65	65	46	35	19	17	100	70	110	80	
		UIC 60	61	44	35	19	17	86	61	96	70	
		T,S 49	55	40	35	19	17	60	45	70	50	

Při kombinaci jednotlivých případů rozhoduje přísnější kritérium.

1) Pro nové mosty nepřijatelný případ. 2) Kolejnice tv. T jen u dosavadního stavu.

Tabulka 2: Omezení dilatačních délek mostu v závislosti na statickém schématu a na zřízeném železničním svršku. [3]

3.3.2 Dilatační kolejové zařízení

Dilatační kolejové zařízení rozděluje bezстыkovou kolej na menší dilatační prvky. Jedná se o zařízení v koleji, které je tvořeno dvěma podélně seříznutými kolejnicemi, uloženými na výhybkových pražcích. Toto upořádání dovoluje kolejnicím dilatovat nezávisle na sobě. V dnešní době se standardně vyrábí malé kolejové dilatační zařízení (MKDZ) a velké kolejové dilatační zařízení (VKDZ).

a) Malé dilatační kolejové zařízení (MKDZ)

Malé dilatační kolejové zařízení je vhodné pro nosné konstrukce, jejichž dilatující délka je v rozsahu 30-80m. Toto zařízení umožňuje posun kolejnic až o cca 100mm.



Obrázek 7: Malé dilatační kolejové zařízení

b) Velké dilatační kolejové zařízení (VKDZ)

Velké dilatační kolejové zařízení se používá pro nosné konstrukce s dilatační délkou 80-400m. Umožňuje vzájemný posun kolejnic až o cca 300mm.



Obrázek 8: Velké dilatační kolejové zařízení

Dilatační zařízení dostatečně řeší problematiku dilatujících délek bezстыkové koleje. V případě dlouhých mostů je nutná přítomnost více těchto zařízení, což zvyšuje finanční náklady. Nesmíme také opomenout, že také vyžadují pravidelnou údržbu.

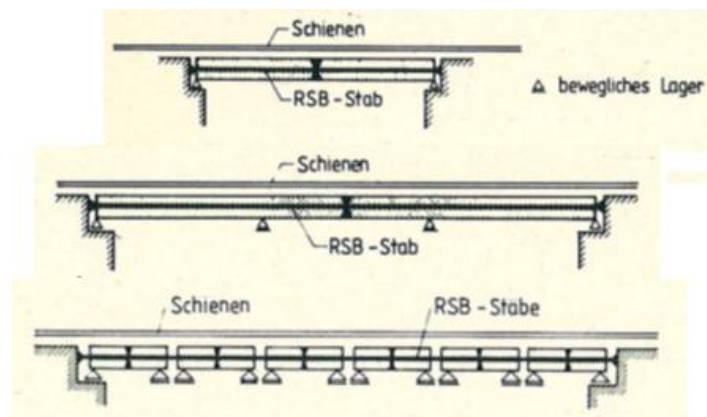
3.3.3 Systém řízení dilatace mostu (SŘDM)

V Německu se u mostů s rozpětím mezi 60-120 metry standardně používají tzv. Systémy řízení dilatace mostu (SŘDM) neboli řídicí tyče. SŘDM je horizontální zařízení, které redukuje dilatační délky mostů na polovinu tím, že přenesse pevný bod doprostřed rozpětí mostu. Tím je docíleno menšího normálového namáhání koleje způsobeného změnou. Největších napětí je díky funkci řídicí tyče dosaženo nad opěrami, nikoliv uprostřed rozpětí mostu.

V Německu byly vyvinuty dva druhy řídicích tyčí: RSB – Stab a tyče Meyer/Wunstorf.

a) RSB – Stab

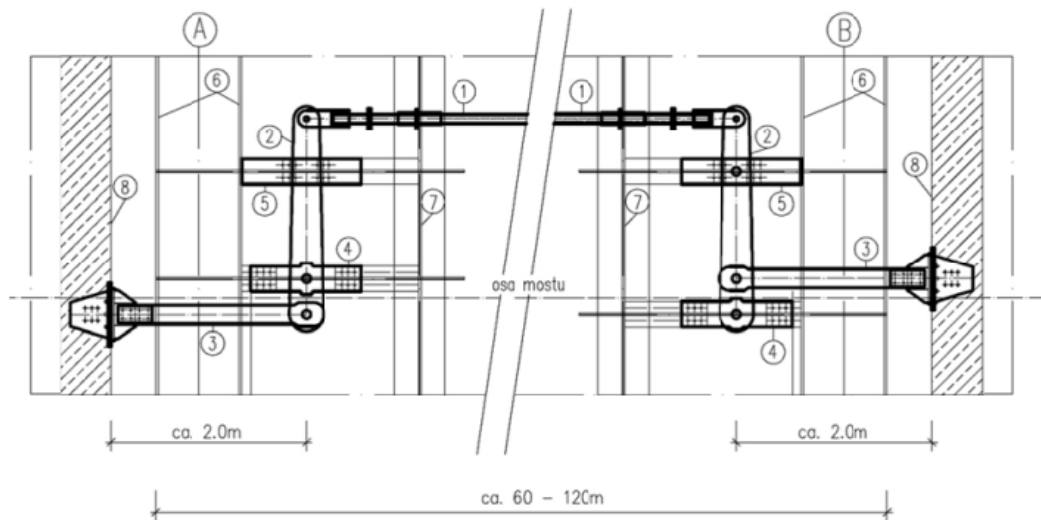
Řídicí tyče RSB – Stab jsou konstruovány tak, že je mezi opěry umístěn tuhý prut, k němuž je ve středu rozpětí pevně připojena mostovka. Díky tomu je docíleno stejnoměrného teplotního rozpínání na obou stranách konstrukce. Z popisu konstrukce tyče je zřejmé, že se jedná o staticky neurčitou konstrukci. To má za následek vznik normálových napětí v důsledku teplotních změn. Řídicí tyč také přenáší zatížení od brzdových nebo rozjezdových sil drážních vozidel. Při velkém zatížení může docházet k nežádoucímu poměrnému přetvoření tyče, které je důsledkem zvýšených normálových namáhání koleje. Z toho důvodu jsou tyto tyče konstruovány z velkých profilů. Dnes se tyto tyče již nepoužívají.



Obrázek 9: Schéma řídicí tyče RSB – Stab. [2]

b) Tyče Meyer/Wunstorf (MW)

Řídicí tyč Meyer/Wunstorf je unikátní zařízení pákového charakteru, které bylo poprvé představeno v 70. letech 20.století. Je tvořeno řídicím prutem, brzdnými nosíky a kotevními tyčemi, které jsou zakotveny do opěr. Tyto komponenty jsou kloubově spojeny. Konstrukce řídicí tyče je staticky určitá, takže při jejím oteplení dochází pouze k posunům, nikoliv ke vznikům normálových napětí. Zatížení od brzdných nebo rozjezdových sil je přenášeno do brzdných nosníků a z nich následně do kotevních tyčí a do opěry. Díky tomu, je do řídicího prutu přenášén jen zlomek brzdných/rozjezdových sil a proto může být tvořen relativně malými profily typu TR na rozdíl od tyče RSB-Stab.

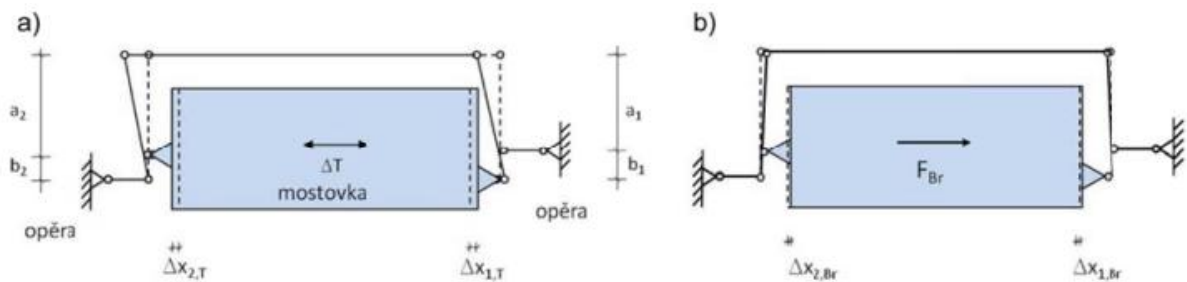


- ① řídicí prut (*Steuerstab*), ② brzdný nosník (*Bremsträger*), ③ držíací prut (*Haltestab*),
- ④ připevnění k mostovce, ⑤ aretace pro případ údržby, ⑥ koncový příčník, ⑦ příčník,
- ⑧ opěra

Obrázek 10: Schéma řídicí tyče s popisem jednotlivých částí. [2]

Typickým znakem těchto tyčí je asymetrické uspořádání kotevních tyčí. Tímto uspořádáním lze docílit libovolného poměru protažení koncových částí mostu při teplotním zatížení. V případě, že požadujeme, aby oba konce mostu dilatovaly rovnoměrně, musíme zkonstruovat celý systém s následujícími geometrickými parametry:

$$\frac{a_2}{b_2} = \frac{a_1 + b_1}{b_1}$$



Obrázek 11: Funkce řídicí tyče a) při změně teploty, b) od působení brzdných sil. [2]

Tímto geometrickým uspořádáním taktéž docílíme rovnoměrného rozdělení brzdných nebo rozjezdových sil $F_{i,br}$ do obou opěr:

$$F_{1,Br} = F_{2,Br} = \frac{1}{2} F_{Br}$$

$$\Delta x_{1,Br} = \Delta x_{2,Br} = \frac{1}{2} \Delta x_{Br}$$

Dnes jsou tyto tyče díky svým přednostem primárně používány na úkor systému RSB-stab.

4 Sledovaný most OSKAR

Most Oskar je ocelový most nacházející se na 1. železničním koridoru, který spojuje Prahu s Vídní. Je tvořen dvěma konstrukcemi NOK1 a NOK2, z nichž každá přemostuje jednu traťovou kolej. Most přemostuje zhruba 30 metru široké odlehčovací rameno řeky Dyje.

Dominantou tohoto mostu je vysoký oblouk se síťovým uspořádáním závěsů, jehož vzepětí je 14 metrů. Most je konstruován s výraznou šikmostí, která činí 41° . Je vybaven řídicí tyčí Meyer/Wunstorf. Konstrukce obloukového mostu s výraznou šikmostí, který je opatřen řídicí tyčí, je v České republice, dokonce i v Evropě unikátní.

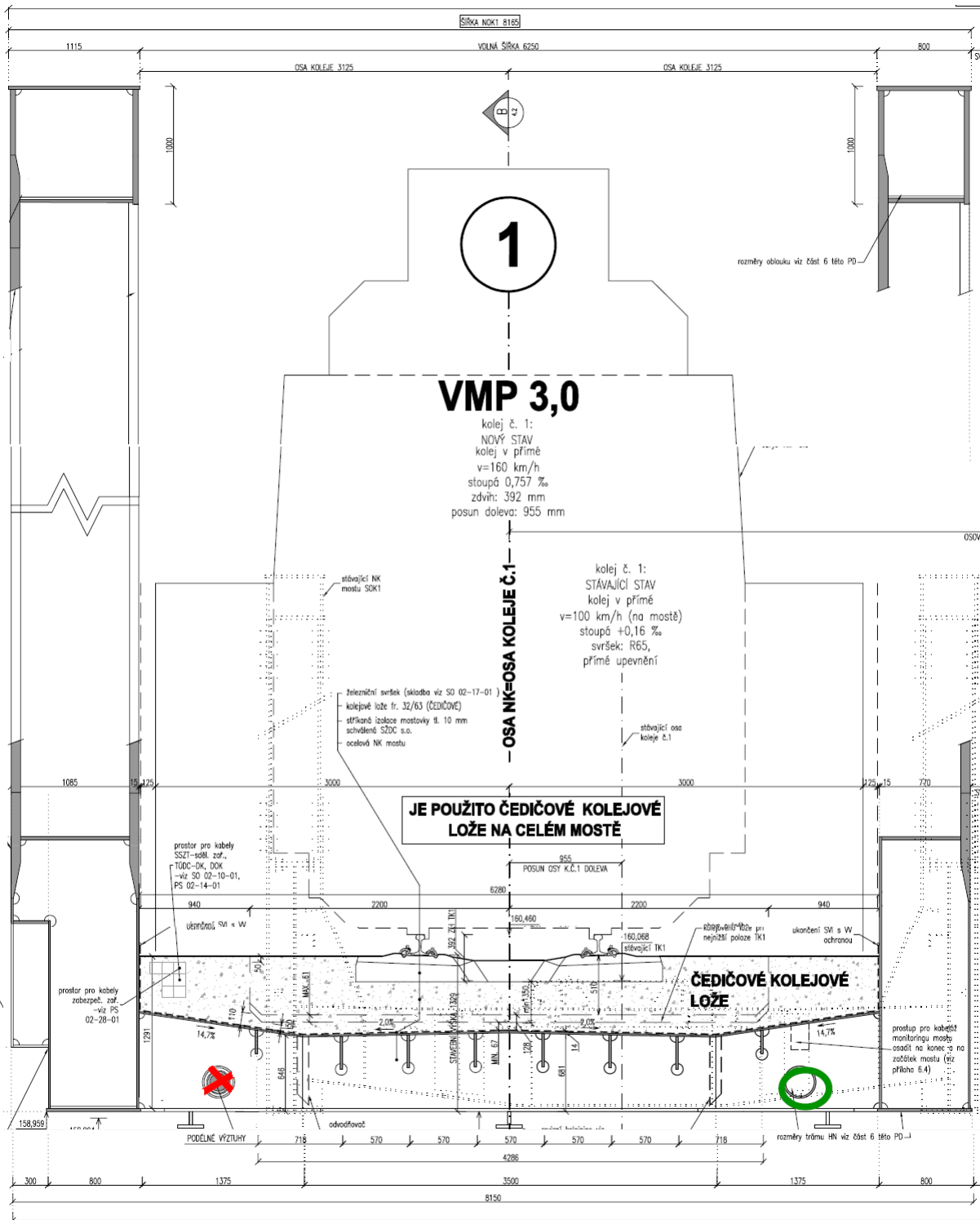
Návrhová rychlost trati, kterou most převádí je 160km/h, most je ovšem projektován až na rychlost 192km/h.



Obrázek 12: Poloha mostu Oskar (zdroj mapy.cz)



Obrázek 13: Pohled zleva



Obrázek 14: Příčný řez NOK 1, zeleně je vyznačena skutečná poloha SŘDM. [3]

4.1 Železniční svršek

Železniční svršek je tvořen kolejnicemi UIC 60, které jsou upevněny k pražcům B91S pomocí pružných svěrek Skl.24. Pražce B91S jsou uloženy do amfibolitového kolejového lože. Nestandardní materiál kolejového lože je použit ze statických důvodů. V místě 10m před a za dilatačními spárami (celkem 36 pražců na obou stranách mostu), jsou mezi nosnou konstrukcí a opěrami použity místo pražců B91S výhybkové pražce VPS. Kolejnice jsou k těmto pražcům uchycené pomocí svěrek se sníženou drážebností. Toto uspořádání si klade za cíl, aby nedošlo k nadměrnému normálovému namáhání koleje od teplotní dilatace mostu.



Obrázek 15: Pohled na železniční svršek v místě změny pražců

Základní tabulkové údaje:

Rozpětí nosné konstrukce:	97,500m
Stavební výška:	1329mm
Konstrukční výška:	15,64m v polovině rozpětí
Vzepětí oblouku:	14,00m
Kolmá světlost:	61,770m
Šikmá světlost:	93,89m
Šikmost mostu:	levá, 41°
Délka přemostění:	93,89m
Délka mostu:	129,90m
Šířka mostu:	16,90m (1 NOK 8,15m)
Použitý materiál:	Ocel S355, S460 pro táhla hlavního nosníku a páky SŘDM
Přemostěná překážka:	odlehčovací rameno řeky Dyje
Staničení	km: 80,930
Trat':	Hohenau (ÖBB) – Přerov

VMP:	3,0 m
Počet kolejí na mostě:	1 kolej na NOK1 (k.č. 1), 1 kolej na NOK2 (k.č. 2)
Směrové poměry:	kolej v přímé
Sklonové poměry:	niveleta NOK1 i NOK2 je částečně ve výškovém zakružovacím oblouku, před lomem niveleta v obou kolejích stoupá 0,757‰, za lomem klesá 1,561‰ NOK1: $R_v = 26000\text{m}$, $t_z = 30,134\text{m}$, $y_z = 0,017\text{m}$ NOK2: $R_v = 26000\text{m}$, $t_z = 30,134\text{m}$, $y_z = 0,017\text{m}$
Traťová třída:	D4
Traťová rychlost:	160km/h
Trakce:	25kV, 50Hz

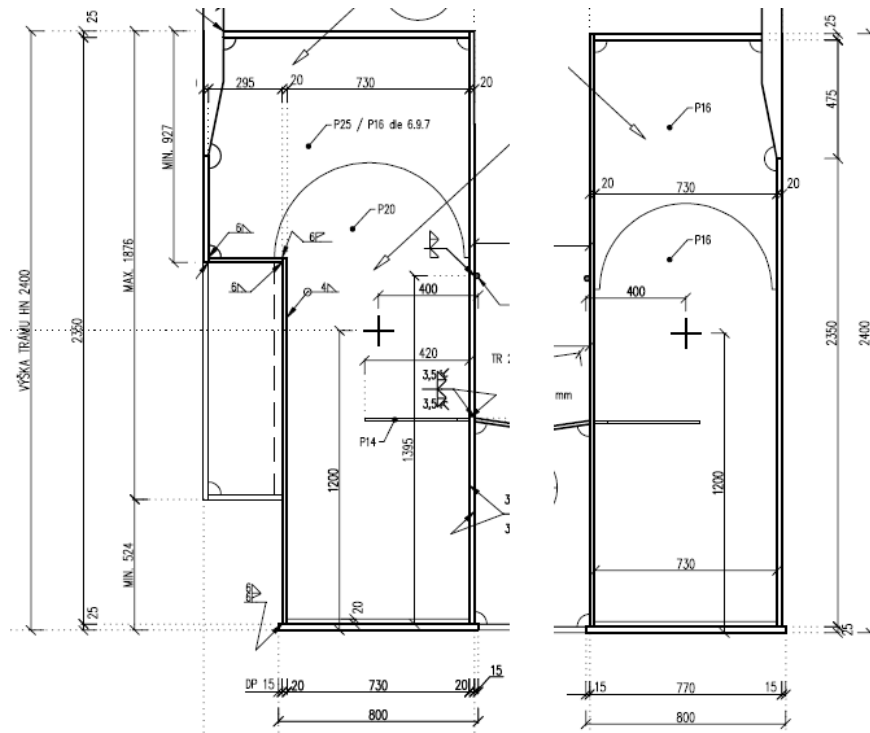
4.2 Nosná konstrukce

4.2.1 Trámy hlavního nosníku (S355):

Vnitřní trám hlavního nosníku je obdélníkového průřezu s rozměry 0,800x2,400m. Vnější trám hlavního nosníku je tvořen obdélníkovým průřezem s rozměry 0,800x2,400m s tím, že je v horní části na vnější straně rozšířen o 315mm. Výška rozšíření se spojitě mění tak, že jeho maximální výška (1876mm) se nachází nad ložisky a minimální výška (927mm) ve středu rozpětí trámů. Spodní a horní stěny trámů jsou tvořeny plechy o tloušťce 25mm. V místě uložení mostu na ložiska je spodní stěna trámů rozšířena na 45mm. Boční stěny jsou tvořeny plechy o tloušťce 20mm. V krajních částech mostu je tloušťka bočních stěn rozšířena na 35mm.

Trámy hlavních nosníků jsou konstruovány s nadvýšením 90mm. Nadvýšení vyrovnává průhyby od tíhy ocelové konstrukce, stálého zatížení a od 25% účinku nahodilého zatížení od železniční dopravy.

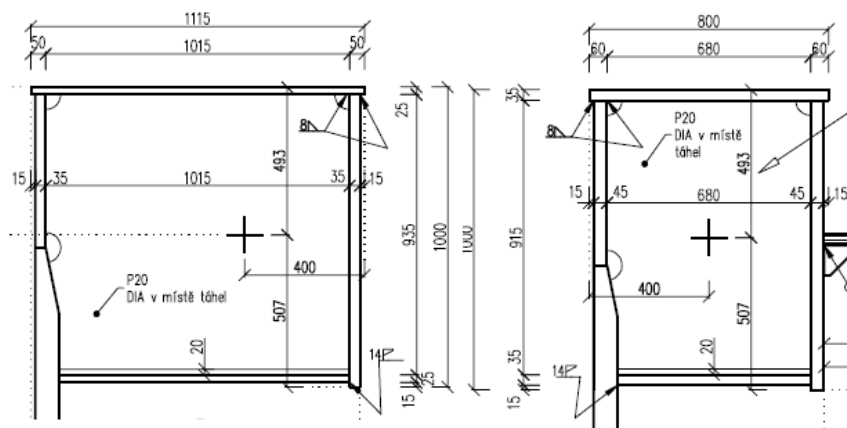
Uprostřed rozpětí trámů se nachází prostor pro zabudování případného balastu.



Obrázek 16: Příčný řez vnějším a vnitřním trámem. [3]

4.2.2 Oblouky hlavního nosníku (S355)

Oblouky hlavního nosníku mají vzepětí 14m a jejich tvar lze popsat parabolou 2°. Jsou obdélníkového průřezu. Vnitřní oblouk má rozměry 0,800x1,000m. Vnější oblouk má rozměry 1,115x1,000m. Je rozšířen tak, aby jeho šířka byla totožná s rozměry horního plechu rozšířené části vnějšího trámu hlavního nosníku. Spodní a horní stěny obou oblouků jsou tvořeny plechy o tloušťce 25mm. Boční stěny vnitřních oblouků jsou tvořeny plechy o tloušťce 45mm. Boční stěny vnějších oblouků jsou tvořeny plechy o tloušťce 35mm.



Obrázek 17: Příčný řez vnějším a vnitřním obloukem. [3]

4.2.3 Systém ztužidel oblouků hlavního nosníku

Oblouky hlavních nosníků jsou ztuženy třemi typy ztužidel: diagonála portálová – uzavřený obdélníkový průřez, diagonála běžná – trubka a příčel – uzavřený obdélníkový průřez. Na ztužidlech jsou navrženy svislé trubky sloužící k uchycení trakčního vedení.



Obrázek 18: Pohled na ztužení oblouků hlavního nosníku NOK2

4.2.4 Táhla hlavního nosníku (S460)

Táhla hlavního nosníku jsou navržena v síťovém uspořádání s osou symetrie podle středu rozpětí příslušného hlavního nosníku. Jsou použity dva druhy táhel. Táhla v poli mají plný kruhový průřez o průměru 80mm, táhla v koncových částech mostu mají plný kruhový průřez o průměru 120mm. Všechna táhla jsou k obloukům i trámům přivařena. Počet táhel na každém nosníku je 40ks. Délka nejkratšího táhla činí 4209mm, nejdelšího 14883mm. Táhla jsou propojena tlumíci spojky, aby nedocházelo k jejich nadměrnému rozkmitávání při přejezdu vlaků.



Obrázek 19: Pohled na táhla pravého nosníku NOK1 a levého nosníku NOK2



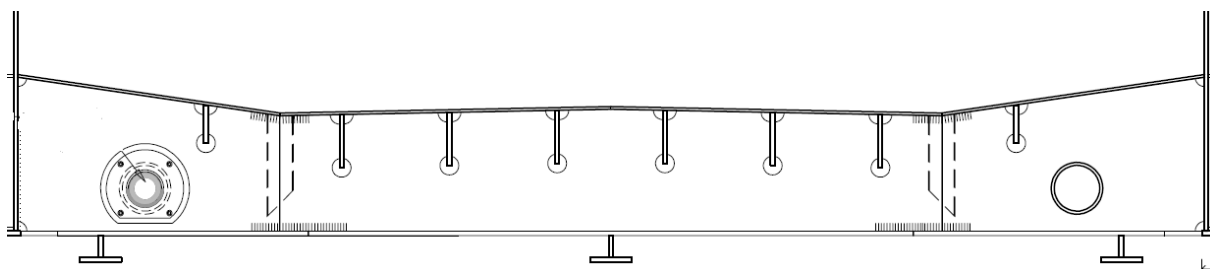
Obrázek 20: Pryžová tlumící spojka křížících se táhel

4.2.5 Mostovkový plech (S355)

Mostovkový plech je vyroben z plechu o tloušťce 14mm. V koncových oblastech se tloušťka plechu skokově zvyšuje na 25mm a na 35mm s největší hodnotou mezi krajní příčnou výztuhou a koncovou příčnou výztuhou. Mostovkový plech je spádován ve spádu 14,7% ve směru od hlavního nosníku do úžlabí a pod spádem 2% od středu příčníků od úžlabí.

4.2.6 Podélné výztuhy mostovkového plechu (S355)

Mezi úžlabími je celkem 6 podélných výztuh, které jsou tvořeny z plechu P22x280mm. Osová vzdálenost výztuh je 570mm. Mezi úžlabím a hlavním nosníkem je vždy přidána jedna příčná výztuha tvořená z plechu P22x200mm. V koncových oblastech je tloušťka podélných výztuh zvýšena na 25mm. V místech, kde dochází ke spojení kotevních tyčí SŘDM s brzdými nosníky je tloušťka podélných výztuh zvýšena až na 30mm.



Obrázek 21: Tvar mostovky s podélnými výztuhami. [3]

4.2.7 Příčné výztuhy (S355)

Příčné výztuhy jsou od sebe v poli osově vzdálené 2,420m. Jsou proměnné výšky v závislosti na sklonu mostovkového plechu. V koncových oblastech se jejich osová vzdálenost zvyšuje až na 2,820m. Stojina příčných výztuh mezi úžlabími je tvořena z plechu tloušťky 14mm, mezi úžlabím a hlavním nosníkem je tvořena z plechu tloušťky 16mm. Dolní

pásnice tvoří plech P25x250mm. V koncových oblastech mostu jsou příčné výztuhy zkrácené kvůli šikmosti mostu.

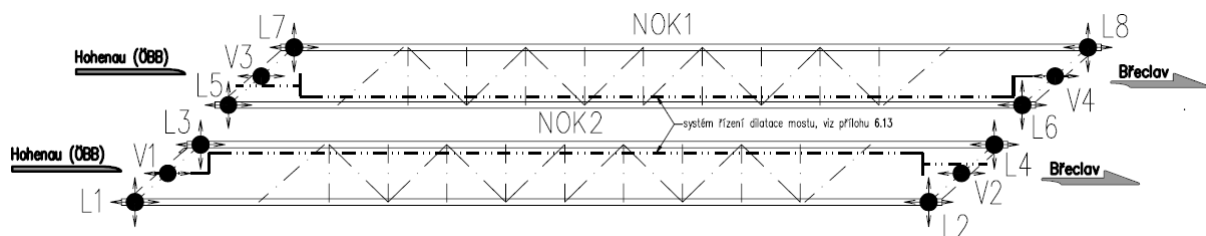


Obrázek 22: Pohled na podélné a příčné výztuhy. Z fotografie je patrný tvar plechu mostovky

4.2.8 Koncové příčné výztuhy (S355)

Koncové příčné výztuhy jsou tvořeny 3-stěnným uzavřeným obdélníkovým průřezem. Jejich teoretická délka je 10,720mm.

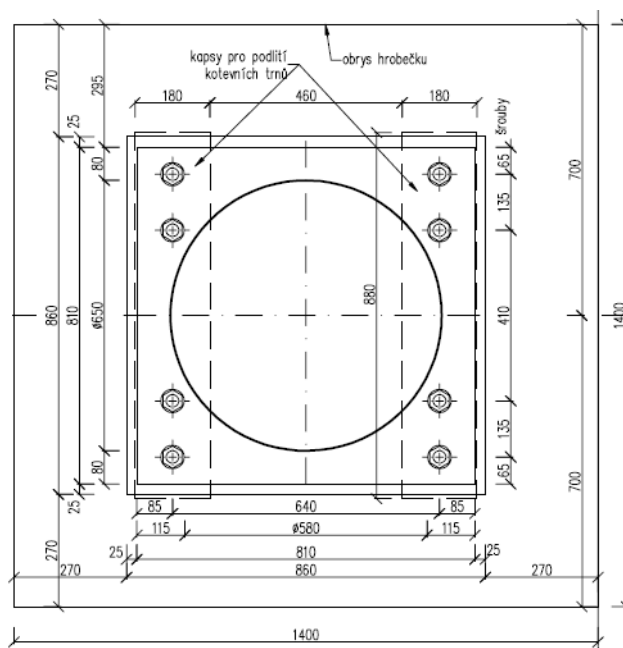
4.3 Ložiska



Obrázek 23: Schéma ložisek, šipky ukazují uvolněný směr. [4]

Obě nosné konstrukce jsou uloženy na čtyřech elipsových kalotových ložiskách s rozměry 0,65x0,58m. Požadovaná svislá únosnost ložisek je 16MN. Ložiska umožňují vodorovný posun o 100mm, v příčném směru o 15mm.

Vodící ložiska přenášejí vodorovné příčné síly a jsou umístěna uprostřed rozpětí krajních příčníků. Jejich minimální vodorovná příčná únosnost je 1,5MN a umožňují posun v podélném směru o 100mm.



Obrázek 24: Půdorys kalotového ložiska. [4]



Obrázek 25: Pohled na levé ložisko NOK1 na opěře 01

4.4 Břeclavská a Vídeňská opěra

Obě opěry jsou uloženy na 1,5m vysokém a více jak 25m širokém základovém bloku. Základový blok je uložen na 30 velkopřůměrových pilotách o průměru 1,2m. Piloty jsou dlouhé od 15m do 18,8m. Opěry jsou vysoké 3,6m a jsou kotveny osmy zemními kotvami. Po obou stranách opěr jsou vybudována mostní křídla, jejichž šířka je 2,354m a délka více jak 15m.

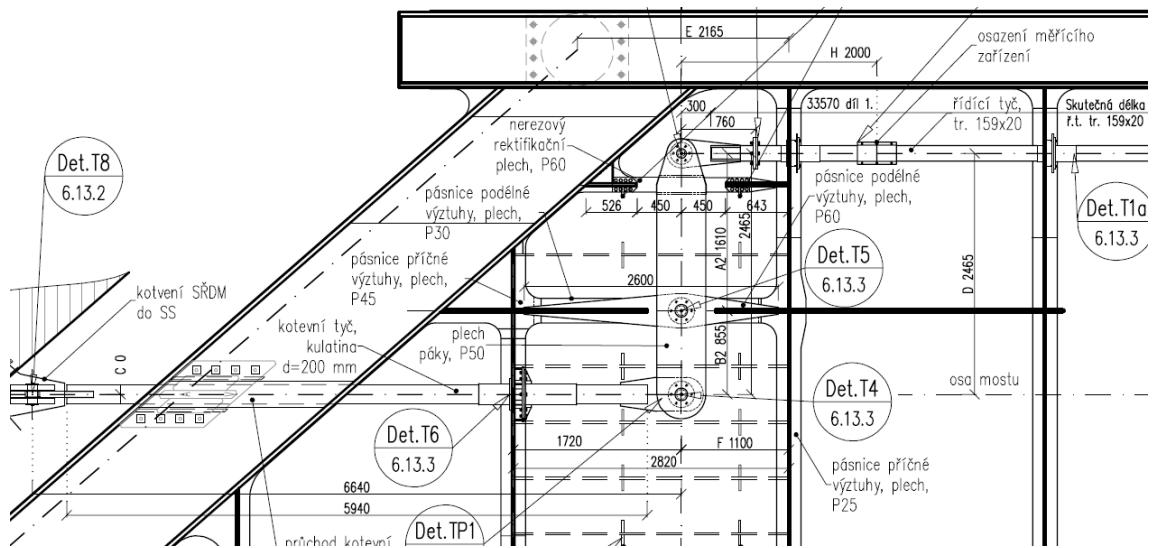
4.5 Systém řízení dilatace mostu (SŘDM)

Most Oskar je vybaven řídicí tyčí typu Meyer/Wunstorf. Řídicí tyč je tvořena z trubky TR159x20, brzdové nosníky jsou tvořeny ze dvou plechů P50x500mm a kotevní tyče jsou

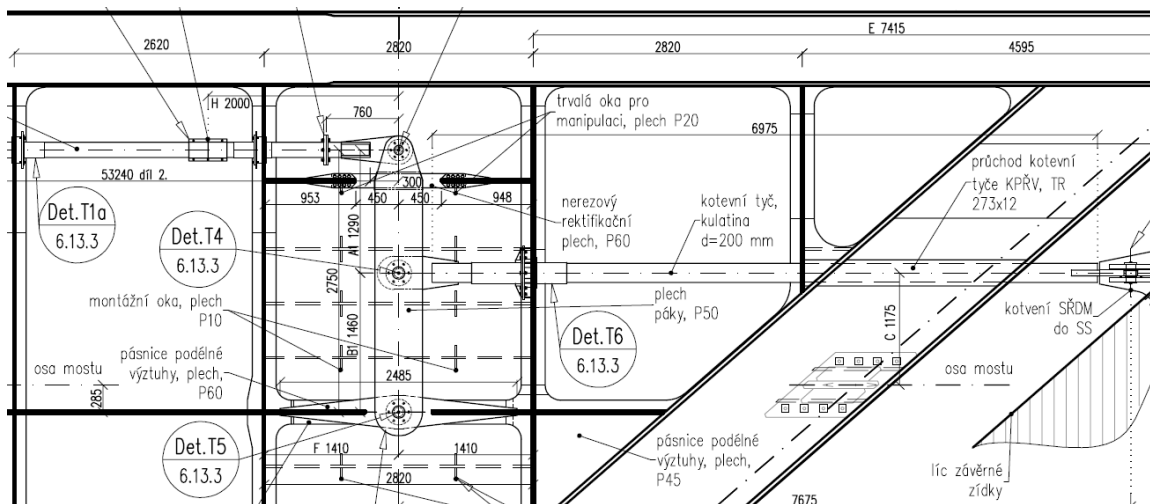
vyrobeny z trubky uzavřeného průřezu o průměru 200mm. Brzdný nosník je vyroben z oceli S460, ostatní prvky SŘDM jsou z oceli S355.

Řídící tyč prostupuje kruhovými otvory, které jsou situovány ve stojinách příčných výztuh. Otvory příčných výztuh jsou opatřeny kluznými sedly z nerezové oceli, aby nedocházelo ke tření a tím i normálovému namáhání řídicí tyče.

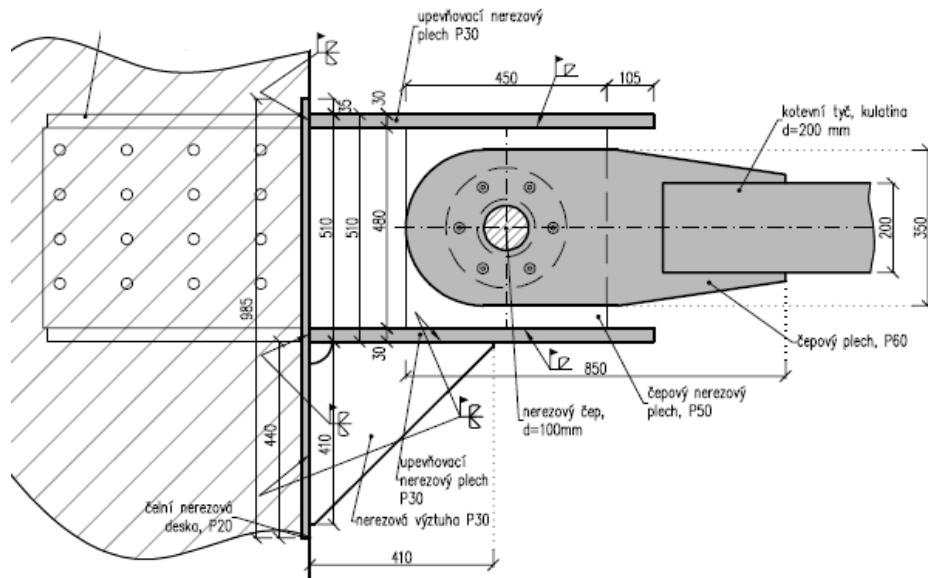
Kotvení tyč prostupuje na obou stranách mostu otvorem v druhém krajním příčniku. Otvory jsou také opatřeny kluznými sedly z nerezové oceli. Skrz krajní příčníky vedou průchody kotvení, které jsou vyrobeny z trubky TR271x12. Tyč je zakotvena do základů tak, aby bylo v místě zakotvení umožněno její pootočení kolem vodorovné osy.



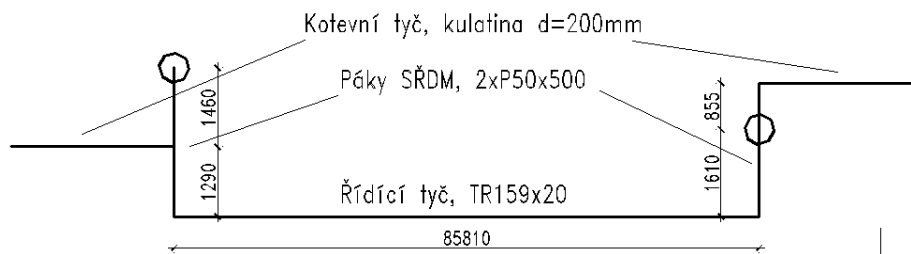
Obrázek 26: Výkres SŘDM NOK2, směr Hohenau. [4]



Obrázek 27: Výkres SŘDM NOK2, směr Břeclav. [4]



Obrázek 28: Kotvení kotevní tyče do spodní stavby umožňující pootočení kolem svislé osy. [4]



Obrázek 29: Schéma SRDM NOK1

5 Experimentální měření

5.1 Dlouhodobý monitoring

Od roku 2015 probíhá na obou nosných konstrukcích nepřetržitý dlouhodobý monitoring. Účelem tohoto monitoringu je shromažďování dat, která mají osvětlit chování interakce bezstykové koleje a mostu s výraznou šikmostí. Na NOK1 jsou také umístěny snímače zrychlení, jejichž účelem je měření změny tuhosti nosné konstrukce a kolejového lože. Monitoring je plánován až do roku 2018.

5.1.1 Použité snímače, měřená místa

5.1.1.1 Tenzometry

Pro měření poměrných deformací, ze kterých jsou následně vypočítávány napětí, jsou použity odporové tenzometry mřížky HBM 10/120LY11. Okolí místa nalepení tenzometrů, je chráněno proti korozi zinkovým nátěrem. Ochrana před nepříznivými klimatickými jevy je tvořena vrstvami gelu SG250 a tmelu 1-AK22. Všechny tenzometry jsou umístěny do těžišť měřených prvků. Podle potřeby jsou tenzometry zapojeny tenzometrického čtvrtmostu, polomostu nebo plného mostu.

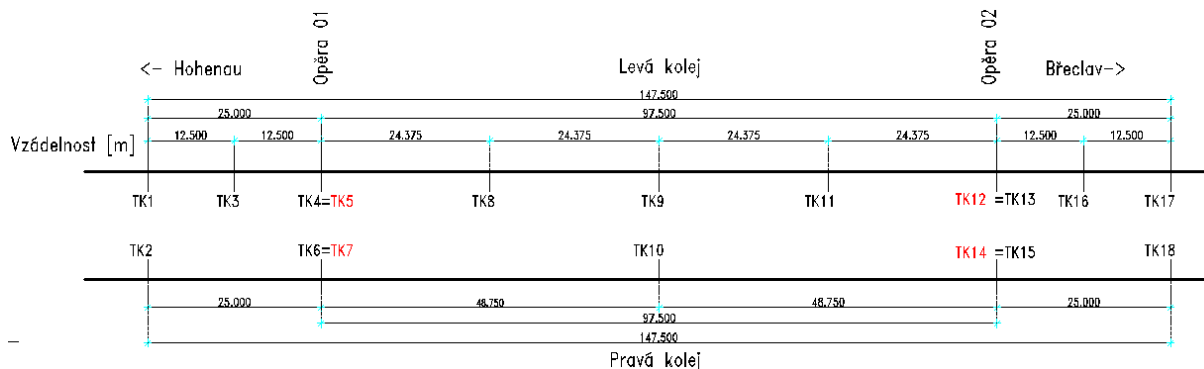


Obrázek 30: Umístění tenzometrů do těžiště měřeného prvku, vlevo: kolejnice, vpravo: kotevní tyč SŘDM

5.1.1.2 Tenzometry na kolejnicích

Tenzometry jsou přilepeny na obou kolejnicích NOK1 v takové hustotě, abychom byly schopni vyčíslit přesný průběh napětí od teplotních nebo provozních zatížení. Na levé kolejnici se nachází celkem 11 tenzometrů, na pravé 7 tenzometrů. Tenzometry jsou umístěny do obou předpolí do vzdálenosti cca 25m od opěr, nad opěry a celkem 4 tenzometry jsou rozmístěny na kolej na mostě tak, aby vzdálenost mezi opěrami rozdělávaly na 4 stejné části. Tenzometry jsou na kolejnici instalovány tak, aby se nacházely mezi pražci, což zapříčiňuje odchytku od plánované polohy o zhruba 20-30cm. Umístění mezi pražci si klade za cíl to, aby byly všechny tenzometry vystaveny stejnému teplotnímu sálání.

Tenzometry jsou zřízeny v tenzometrickém čtvrtmostu, vyjma „špičkových“ tenzometrů, nacházejících se nad opěrami, které jsou zřízeny v tenzometrickém půlmostu. Při přejezdu kola drážního vozidla se na záznamu z těchto tenzometrů objeví výrazná špička. Tyto tenzometry slouží k určení rychlosti přejezdů vlakových souprav.



Obrázek 31: Schéma rozmístění tenzometrů, červeně – tenzometrické polomosty

Tenzometry byly také umístěny na tři kompenzační kolejnice o délce cca půl metru. Tyto kolejnice jsou volně položeny v obou předpolích a uprostřed mostu. Díky jejich volné dilataci je možné změřit jejich poměrné přetvoření způsobené od teplotních účinků, které lze následně převést na normálové napětí, které od těchto účinků vzniká v kolejnicích kolejového roštu.



Obrázek 32: Kompenzační kolejnice

5.1.1.3 Tenzometry na SŘDM

Na SŘDM každé nosné konstrukce jsou umístěny čtyři tenzometrické plné mosty. Umístěny jsou na kotevních tyčích zhruba v místě líců krajních příčníků. Na řídicích tyčích jsou umístěny na jejich koncích.



Obrázek 33: Plný tenzometrický most – kotevní tyč. [5]

5.1.1.4 Tenzometry uprostřed rozpětí krajních příčníků (není součástí DP)

Doprostřed krajních příčníků NOK1 a NOK2 byly umístěny tenzometry uspořádané do tenzometrického polomostu.



Obrázek 34: Tenzometrický polomost měřící poměrnou deformaci krajního příčniku. [5]

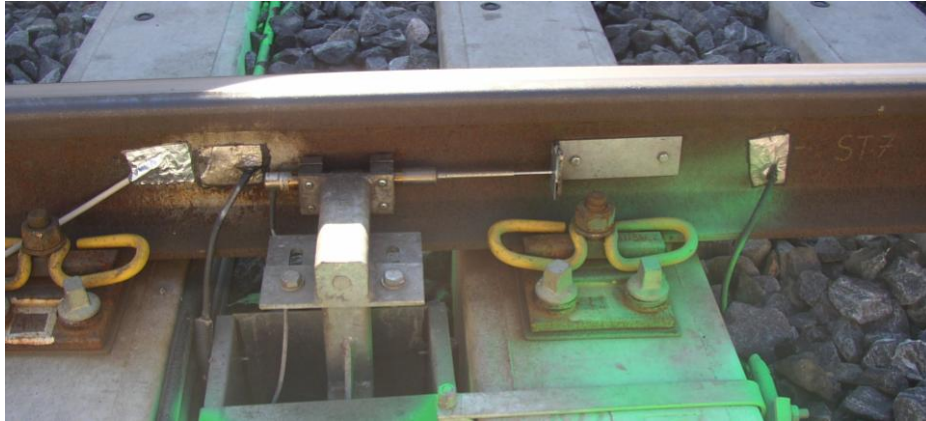
5.1.1.5 Měření posunu koleje

K měření posunu levé koleje vůči mostu na NOK1 jsou použity indukční snímače dráhy, typu Megatron ISDT50-K2405-rozsah 0-50mm, IP68. Snímače jsou umístěny nad oběma opěrami do předem určeného přípravku, který je zapuštěn v kolejovém loži.

Označení snímačů:

NOK1: ISD1 – snímač nad opěrou směr Hohenau

ISD2 – snímač nad opěrou směr Břeclav



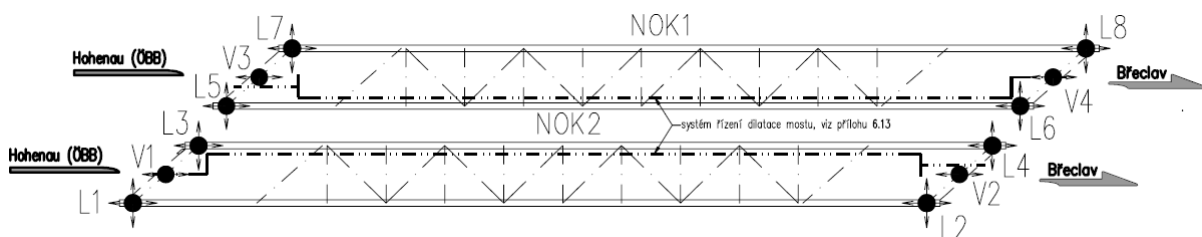
Obrázek 35: Snímač Megatron ISDT50-K2405

5.1.1.6 Měření posunu mostu

Posun obou nosných konstrukcí je měřen v místě vodících ložisek. Měření je potenciometrickým snímačem Megatron MSLPC 100 D 5K 1M5 s rozsahem 0-100mm.



Obrázek 36: Potenciometrický snímač dráhy MSLPC 100 D 5K 1M5. [5]



Obrázek 37: Schéma ložisek. [4]

Označení snímačů:

NOK1: PSD1 – snímač u vodícího ložiska V3, směr Hohenau

PSD2 – snímač u vodícího ložiska V4, směr Břeclav

NOK2: PSD5 – snímač u vodícího ložiska V1, směr Hohenau

PSD7 – snímač u vodícího ložiska V2, směr Břeclav

5.1.1.7 Posun SŘDM

Je měřen potenciometrickým snímačem Megatron MSLPC 100 D 5K 2M5 s rozsahem 0-200mm. Snímač je umístěn na koncích řídicích tyčí NOK1 a NOK2 a měří její relativní posun vůči příčnicku.



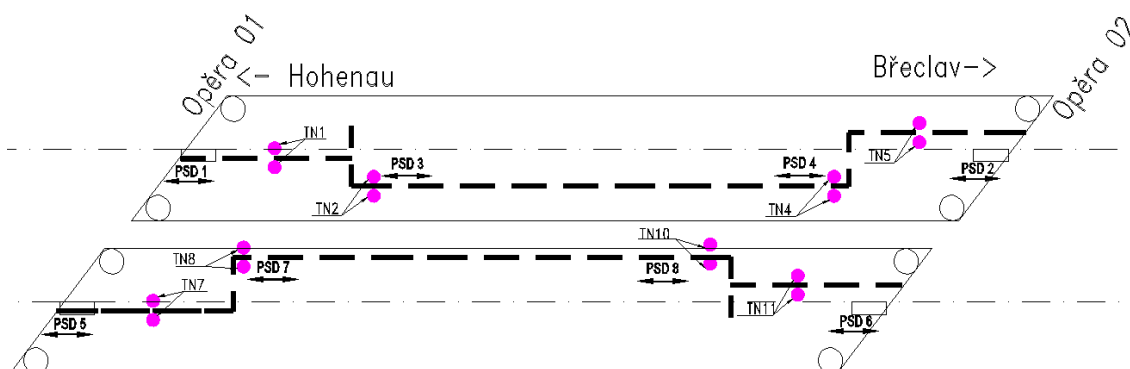
Obrázek 38: Snímač MSLPC 100 D 5K 2M5

NOK1: PSD3 – snímač u konce řídicí tyče směr Hohenau

PSD4 – snímač u konce řídicí tyče směr Břeclav

NOK2: PSD7 – snímač u konce řídicí tyče směr Hohenau

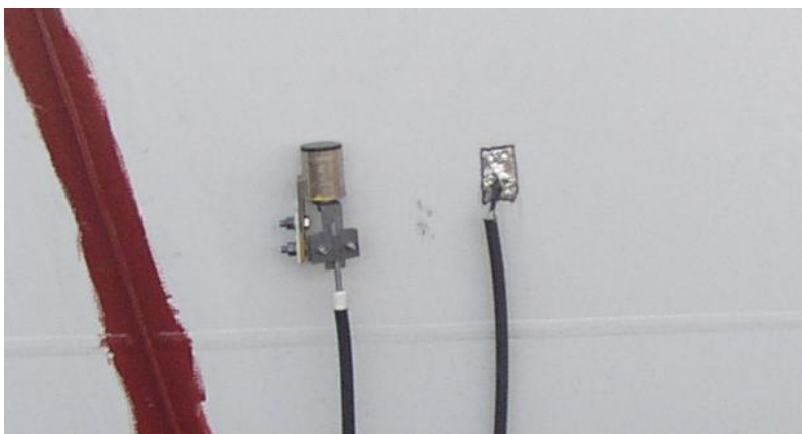
PSD8 – snímač u konce řídicí tyče směr Břeclav



Obrázek 39: Schéma rozmístění snímačů pro měření interakce koleje a mostu

5.1.1.8 Měření teploty

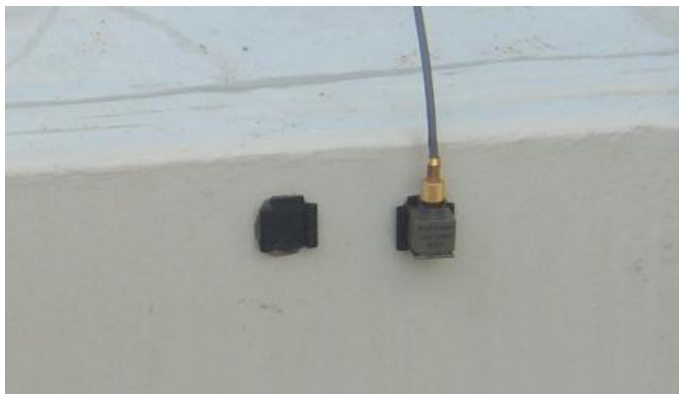
Teplota je měřena teplotními čidly Analog Devices AD 592. Teplota je měřena na nosné konstrukci a na kolejnicích. V rámci brzdňných zkoušek nebyla teplota vyhodnocována.



Obrázek 40: Snímač teploty na NOK1 (vpravo)

5.1.1.9 Snímače zrychlení (není předmětem DP)

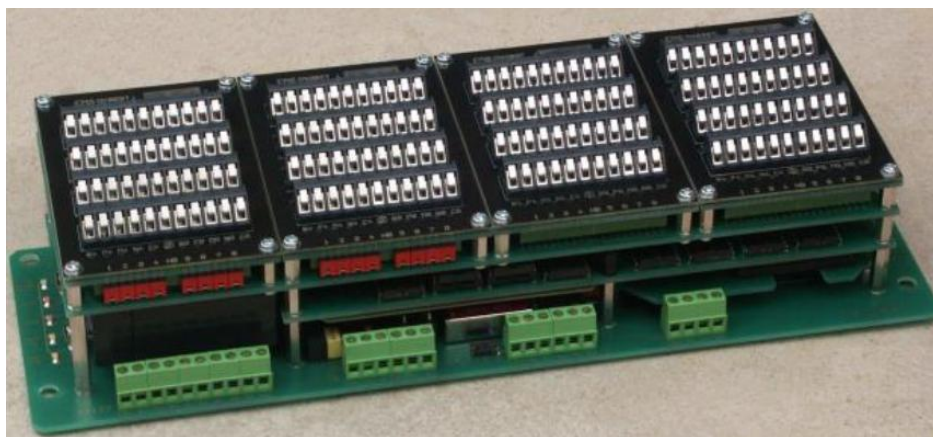
NOK1 byla osazena snímači zrychlení ADXL326 od společnosti Analog Devices s rozsahem do 5g. Účelem zřízení těchto snímačů je měření změny tuhosti nosné konstrukce a kolejového lože.



Obrázek 41: Snímač zrychlení ADXL326

5.1.2 Měřicí ústředny

Pro měření, uložení a přenos dat je použita dvojice ústředen EMS DV 803. Ústředna EMS DV 803 měří 32 hlavních a 16 pomocných kanálů. Měří tenzometry, akcelerometry, termočlánky, odporové teploměry a napěťové a proudové vstupy. Její vzorkovací frekvence je 3200Hz. Přesnost měření je 0,1%. Data jsou ukládána do paměti ústředny. Data lze stáhnout do osobního počítače nebo poslat do cílového počítače přes Wi-fi. Provozní teplota ústředny je od -20 do 75 °C.



Obrázek 42: Ústředna EMS DV 803. [5]

První ústředna s pracovním názvem Master (MJ-1) se nachází v předpolí NOK1 na straně Hohenau. Druhá ústředna s pracovním názvem Slave (MJ-1) se nachází v předpolí NOK1 na straně Břeclav. Do obou ústředn jsou kabely Li2YCYv a Li2YCY přiváděna naměřená data ze snímačů. Obě ústředny snímají s krokem 0,02 s



Obrázek 43: Ústředna Master (MJ-1) - strana Hohenau. [5]



Obrázek 44: Ústředna Slave (MJ-2) - strana Břeclav. [5]

Do ústředny Master (MJ-1) jsou zapojeny tyto snímače:

Master ústředna (MJ-1) - zapojení				
Kanál	Označení	Popis	NK	Zapojení
S01	TN1	Tenzometr NK	1	Plný most
S02	TN3	Tenzometr NK	1	Polomost
S03	TN2	Tenzometr NK	1	Plný most
S04	TN9	Tenzometr NK	2	Polomost
S05	TN7	Tenzometr NK	2	Plný most
S06	TK1	Tenzometr kolejnice	1	Čtvrtmost
S07	TN9	Tenzometr NK	2	Plný most
S08	TK2	Tenzometr kolejnice	1	Čtvrtmost
S09	TK3	Tenzometr kolejnice	1	Čtvrtmost
S10	TK4	Tenzometr kolejnice	1	Čtvrtmost
S11	TK5	Tenzometr kolejnice	1	Polomost
S12	TK6	Tenzometr kolejnice	1	Čtvrtmost
S13	TK7	Tenzometr kolejnice	1	Polomost
S14	TK8	Tenzometr kolejnice	1	Čtvrtmost
S15	TK9	Tenzometr kolejnice	1	Čtvrtmost
S16	TK10	Tenzometr kolejnice	1	Čtvrtmost
S17	TK19	Tenzometr kolejnice	1	Čtvrtmost
S18	A1	Akcelerometr NK	1	Zrychlení
S19	A4	Akcelerometr NK	1	Zrychlení
S20	A5	Akcelerometr NK	1	Zrychlení
S21	PSD1	Snímač dráhy	1	Potenciometrický snímač
S22	PSD3	Snímač dráhy	1	Potenciometrický snímač
S23	PSD5	Snímač dráhy	2	Potenciometrický snímač
S24	PSD7	Snímač dráhy	2	Potenciometrický snímač
S25	ST1	Teplota	1	Teploměr
S26	ST2	Teplota	1	Teploměr
S27	ST3	Teplota	1	Teploměr
S28	ST4	Teplota	1	Teploměr
S29	ST7	Teplota	1	Teploměr
S30	STK	Teplota komp. Kolej.	1	Teploměr
S31	ISD1	Snímač dráhy	1	Induktivní snímač
S32	synchronizace		1	

Tabulka 3: Zapojení snímačů do ústředny Master (MJ-1). [6]

Do ústředny Slave (MJ-2) jsou zapojeny tyto snímače:

Slave ústředna (MJ-2) - zapojení				
Kanál	Označení	Popis	NK	Zapojení
S01	TN4	Tenzometr NK	1	Plný most
S02	TN6	Tenzometr NK	1	Polomost
S03	TN5	Tenzometr NK	1	Plný most
S04	TN12	Tenzometr NK	2	Polomost
S05	TN10	Tenzometr NK	2	Plný most
S06	TK11	Tenzometr kolejnice	1	Čtvrtmost
S07	TN11	Tenzometr NK	2	Plný most
S08	TK12	Tenzometr kolejnice	1	Polomost
S09	TK13	Tenzometr kolejnice	1	Čtvrtmost
S10	TK14	Tenzometr kolejnice	11	Polomost
S11	TK15	Tenzometr kolejnice	1	Čtvrtmost
S12	TK16	Tenzometr kolejnice	1	Čtvrtmost
S13	TK17	Tenzometr kolejnice	1	Čtvrtmost
S14	TK18	Tenzometr kolejnice	1	Čtvrtmost
S15	TK20	Tenzometr kolejnice	1	Čtvrtmost
S16	TK21	Tenzometr kolejnice	1	Čtvrtmost
S17	-	neobsazen	1	-
S18	A2	Akcelerometr NK	1	Zrychlení
S19	A3	Akcelerometr NK	1	Zrychlení
S20	A6	Akcelerometr NK	1	Zrychlení
S21	PSD2	Snímač dráhy	1	Potenciometrický snímač
S22	PSD4	Snímač dráhy	1	Potenciometrický snímač
S23	PSD6	Snímač dráhy	2	Potenciometrický snímač
S24	PSD8	Snímač dráhy	2	Potenciometrický snímač
S25	ST5	Teplota	1	Teploměr
S26	ST6	Teplota	1	Teploměr
S27	ST8	Teplota	1	Teploměr
S28	ST9	Teplota	1	Teploměr
S29	STV	Teplota	2	Teploměr
S30	STK2	Teplota komp. kolej.	1	Teploměr
S31	ISD2	Snímač dráhy	1	Induktivní snímač
S32	synchronizace		1	

Tabulka 4: Zapojení snímačů do ústředny Slave (MJ-2). [6]

5.2 Zatěžovací zkoušky

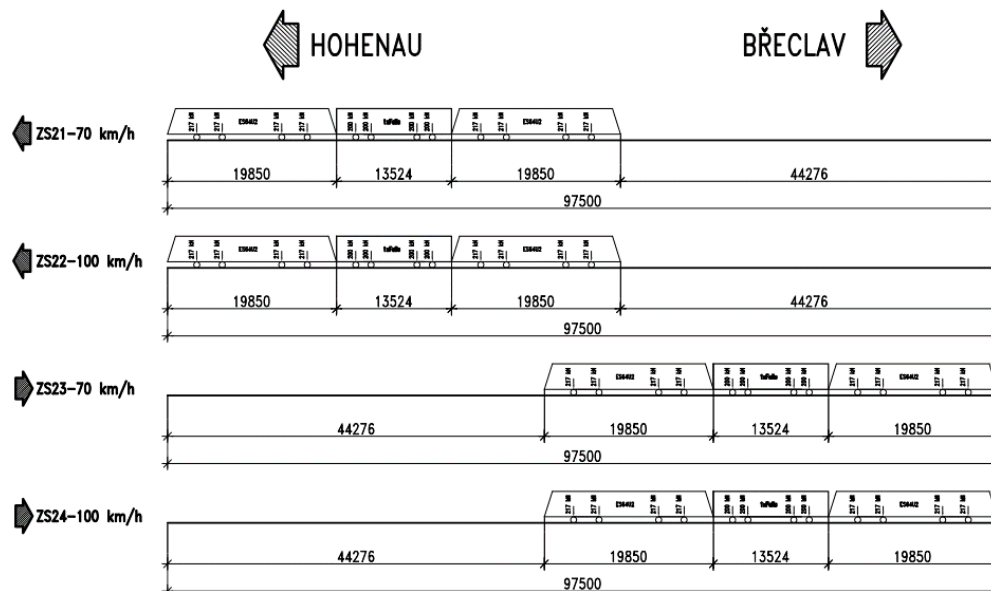
Ve dnech 24.8. a 25.8.2016 byly obě nosné konstrukce podrobeny zatěžovacím zkouškám.

Dne 24.8 byla na NOK1 provedena dynamická a brzdná zatěžovací zkouška. Cílem dynamické zatěžovací zkoušky bylo vyvolání maximálních dynamických účinků táhel. Účelem brzdných zkoušek bylo vyvolání maximálních silových účinků v SRDM.

Dne 25.8 byla NOK2 osazena snímači, které snímaly chování konstrukce od zatížení běžnou železniční dopravou. Jeden vlak byl vybrán, aby na mostě zastavil. To mělo ověřit účinek SRDM na brzdné síly.

5.2.1 Brzdná zatěžovací zkouška NOK1

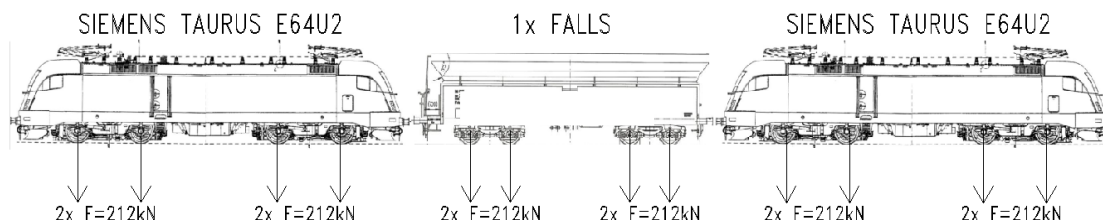
Brzdná zatěžovací zkouška NOK1 proběhla odpoledne v čase mezi 13:10 a 13:45. Účelem této zkoušky bylo vyvolání maximálních sil v SRDM. Při zatěžovací zkoušce bylo vyžadováno, aby vlaková souprava zastavila na předem definovaném místě a brzdila pokud možno s největším účinkem, následně se souprava měla rozjet s co největším zrychlením proti směru původní jízdy. Předem byly definovány celkem čtyři zatěžovací stavy, kdy dva zatěžovací stavy měly být ve směru Břeclav – Hohenau. První zatěžovací stav byl koncipován tak, že souprava pojede 70km/h rychlostí a začne naplno brzdit, při druhém zatěžovacím stavu jela souprava rychlostí 100km/h. Stejně se postupovalo i ze směru Hohenau – Břeclav.



Obrázek 45: Schéma původně plánovaných zatěžovacích stavů. [7]

Zatěžovacím břemenem byla souprava Siemens Taurus ES64U2 + 1x plně naložený nákladní Falls + Siemens Taurus ES64U2. Ke konci brzdě zatěžovací zkoušky bylo rozhodnuto odpojit od soupravy Falls a pokračovat jen s dvojicí lokomotiv Taurus. Předpokládalo se, že dvojice samotných Taurusů může vyvinout větší brzdě účinky.

Zatěžovacích stavů bylo provedeno víc, než bylo původně plánováno, neboť se několikrát stalo, že se strojvůdcům nepodařilo zastavit na předem definovaném místě.



Obrázek 46: Zatěžovací souprava brzdě zatěžovací zkoušky

Číslo pokusu	Kód přejezdu	Počáteční rychlost brzdění [km·h ⁻¹]	Směr jízdy	Poznámka
23	ZS211	70	1	
24	ZS211A	70	1	Opakovaný pokus
25	ZS211B	70	1	Opakovaný pokus
26	ZS221	100	1	x)
27	ZS221A	100	1	x)
28	ZS232	70	2	
29	ZS232A	70	2	
30	ZS242	100	2	
31	ZS221B	100	1	
32	ZS251	60	2	o)
33	ZS251A	70	1	o)

Tabulka 5: Stručný přehled zatěžovacích stavů brzdě zkoušky. x - přejeté místo zstavení, o – jen dvojice lokomotiv Taurus, ZS končí 1 – směr Břeclav - Hohenau, ZS končí 2 – směr Hohenau – Břeclav. [6]

5.2.1.1 Parametry zkušebního zatížení

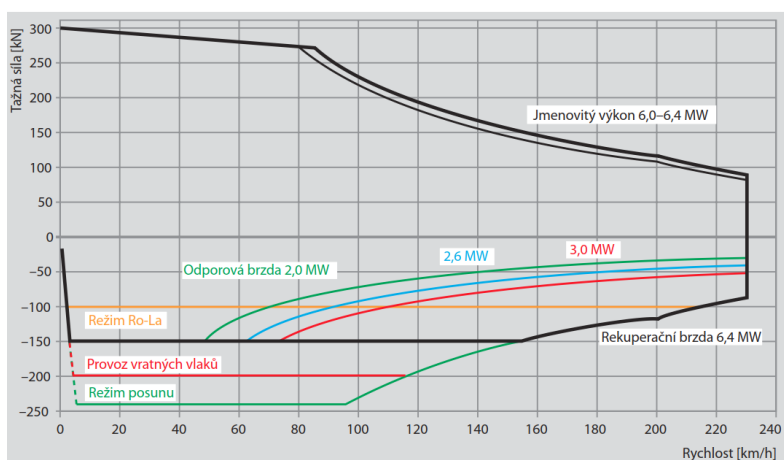
Lokomotiva Siemens Taurus ES64U2

Základní údaje:

- hmotnost 87t
- tažná síla 300kN
- maximální rychlost 230km/h
- délka přes nárazníky 19 850 mm
- rozvor podvozku 3000 mm
- vzdálenost čepů podvozků 9900 mm



Obrázek 47: Lokomotiva Siemens Taurus ES64U2



Obrázek 48: Obálka brzdě a rozjezdové síly v závislosti na rychlosti a provozním režimu. [7]

Nákladní vůz Falls

- maximální hmotnost 80 t
- maximální rychlost 100 km/h
- délka přes nárazníky 13 524 mm
- rozvor podvozku 1800 mm
- vzdálenost čepů podvozků 7200 mm



Obrázek 49: Nákladní vůz Falls

6 Vyhodnocení brzdných zatěžovacích zkoušek NOK1

Pro vyhodnocení brzdných zatěžovacích zkoušek byly z dlouhodobého monitoringu využity tyto snímače:

Tenzometry TK1 – TK18 na kolejnicích

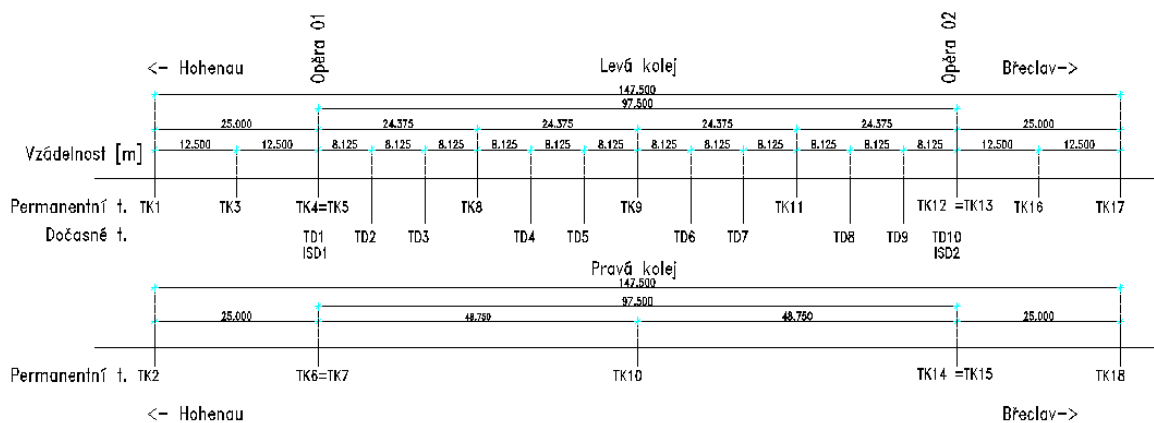
Potenciometrické snímače dráhy PSD1, PSD2 snímající posun NOK1

Potenciometrické snímače dráhy PSD3, PSD4 umístěné na řídicí tyči NOK1

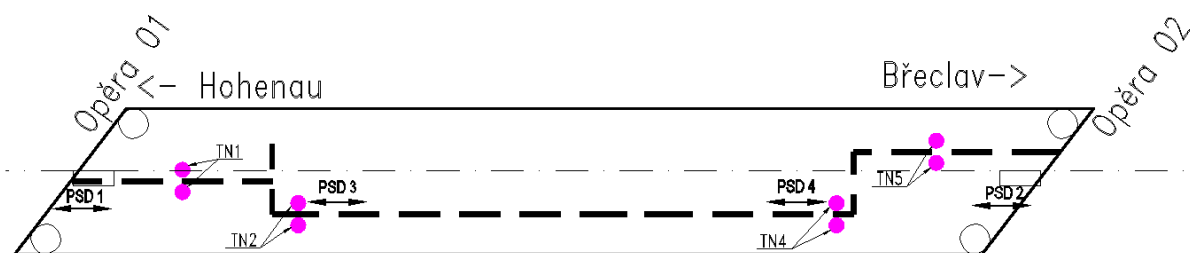
Induktivní snímače dráhy ISD1 a ISD2 snímající posun koleje NOK1

Dále bylo na levou kolejnici umístěno deset „špičkových“ tenzometrů TKD1 - TDK10, snímající pouze čas přejezdu náprav zatěžovacího vlaku. Dva tenzometry byly umístěny nad obě opěry. Tyto tenzometry sloužily k určení rychlosti vlaku během dynamických zatěžovacích zkoušek, dále je bylo možno využít k synchronizaci dat z ústředěn Master a Slave. Ostatní „špičkové“ tenzometry byly umístěny na kolej na mostě za účelem sledování polohy zatěžovacího vlaku.

Záznam z těchto tenzometrů byl veden kabely do ústředny Dewetron. Vzorkování probíhalo s krokem 0,01s.



Obrázek 50: Rozmístění tenzometrů s doplněnými dočasnými tenzometry



Obrázek 51: Schéma rozmístění snímačů PSD a TN



Obrázek 52: Pohled na ústředny použité při zatěžovacích zkouškách

6.1 Způsob stanovení vnitřních sil

Normálové síly

Kolejnice:

$$N = (h_t - h_{poč}) \cdot 0,21 \cdot 1000 \cdot 0,00767 \text{ [kN]}$$

Řídící tyč a kotevní tyč:

$$N = (h_t - h_{poč}) \cdot 0,21 \cdot 1000 \cdot A_{S\check{R}DM} / 2,6 \text{ [kN]}$$

h_t - hodnota poměrné deformace v čase t [-]

$h_{poč}$ - hodnota poměrné deformace cca 10-15 sekund před vjezdem vlaku na most [-]

0,21 - konstanta zohledňující modul pružnosti oceli a přesnost čtení tenzometru

1000 - konstanta převádějící vztah na kN [-]

0,00767 - plocha jedné kolejnice UIC60 [m²]

$A_{S\check{R}DM}$ - plocha řídící nebo kotevní tyče v [m²]

2,6 - konstanta zohledňující zapojení tenzometrů do tenzometrického plného mostu [-]

V grafech normálových sil kolejnic byly vyhlazeny špičky, způsobené přejezdem kola přes tenzometr.

Posuny:

$$u = (u_t - u_{\text{poč}}) \text{ [mm]}$$

u_t - hodnota posunu v čase t [mm]

$u_{\text{poč}}$ - hodnota posunu cca 10-15 sekund před vjezdem vlaku na most [mm]

6.2 ZS 211

Čas: 14:16

Brzdění z rychlosti: 70km/h

Směr brzdění: Z Břeclavi na Hohenau (ÖBB), následně rozjezd na Břeclav

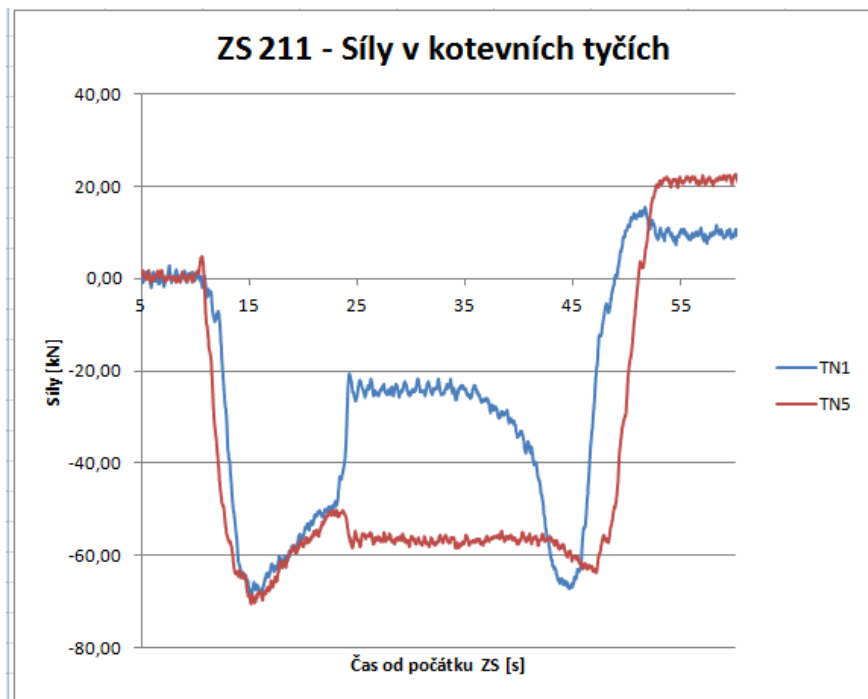
Vlak: Taurus + 1x Falls + Taurus

◀ BŘECLAV

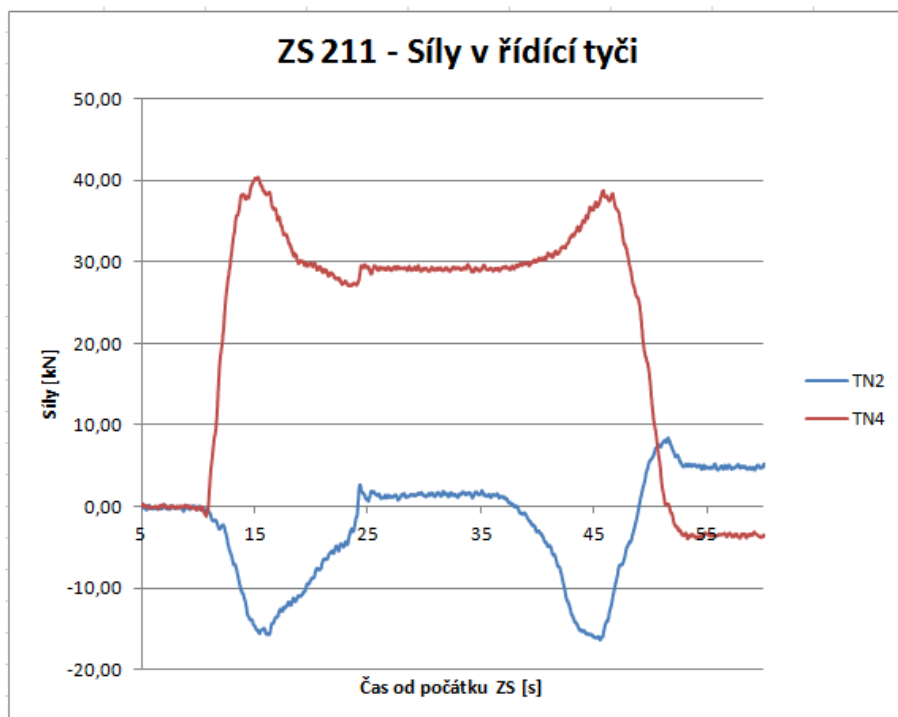
HOHENAU (ÖBB) ▶



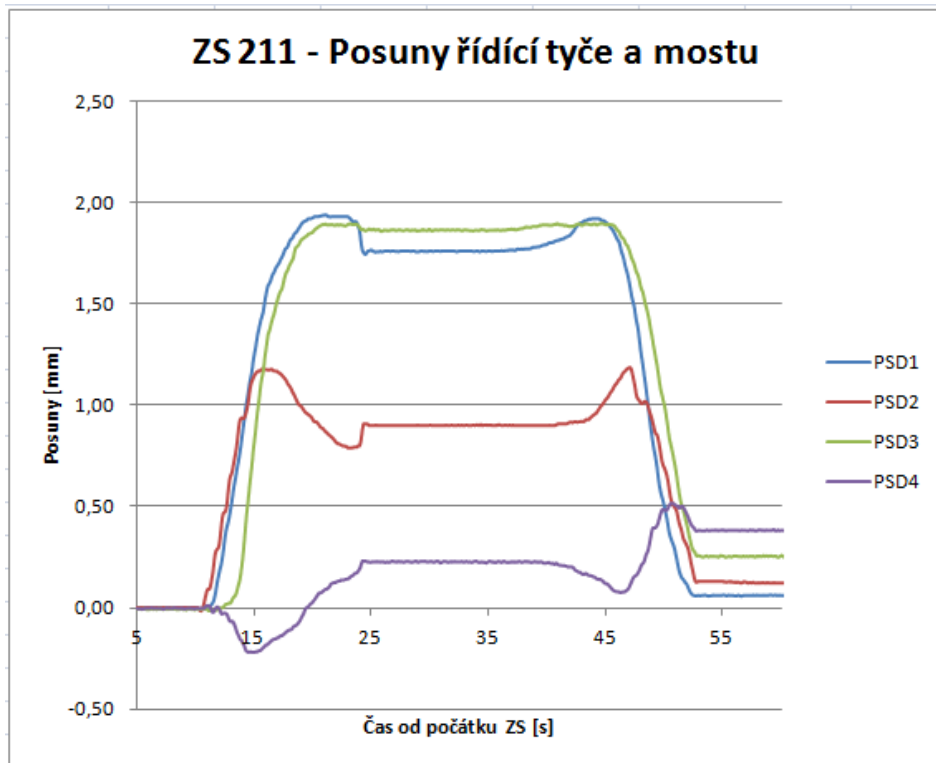
Obrázek 53: ZS211: Poloha vlaku po zastavení



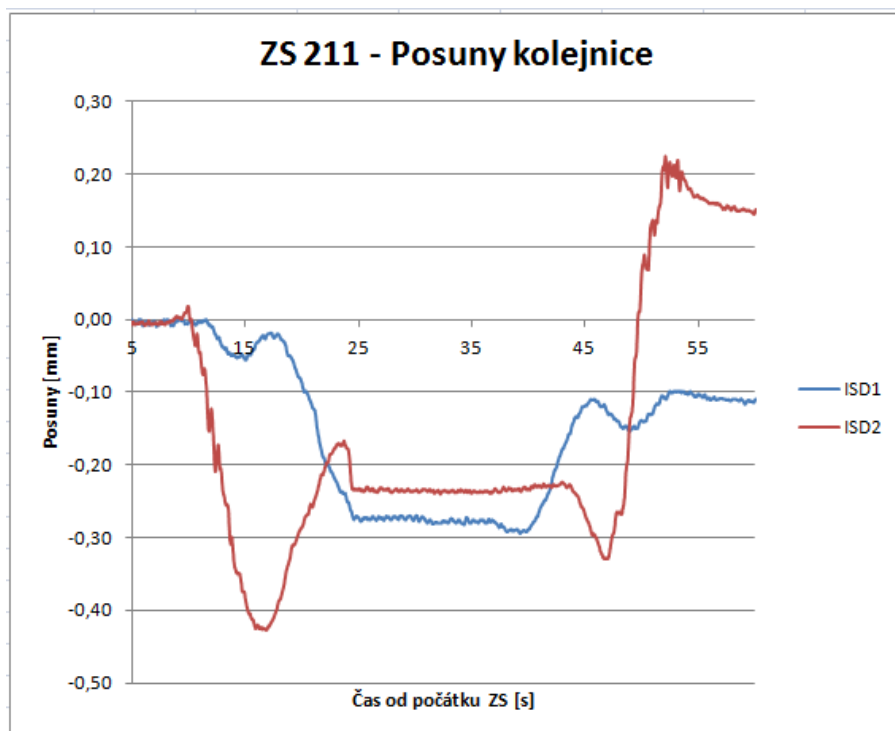
Obrázek 54: ZS211: Normálové síly v kotevních tyčích



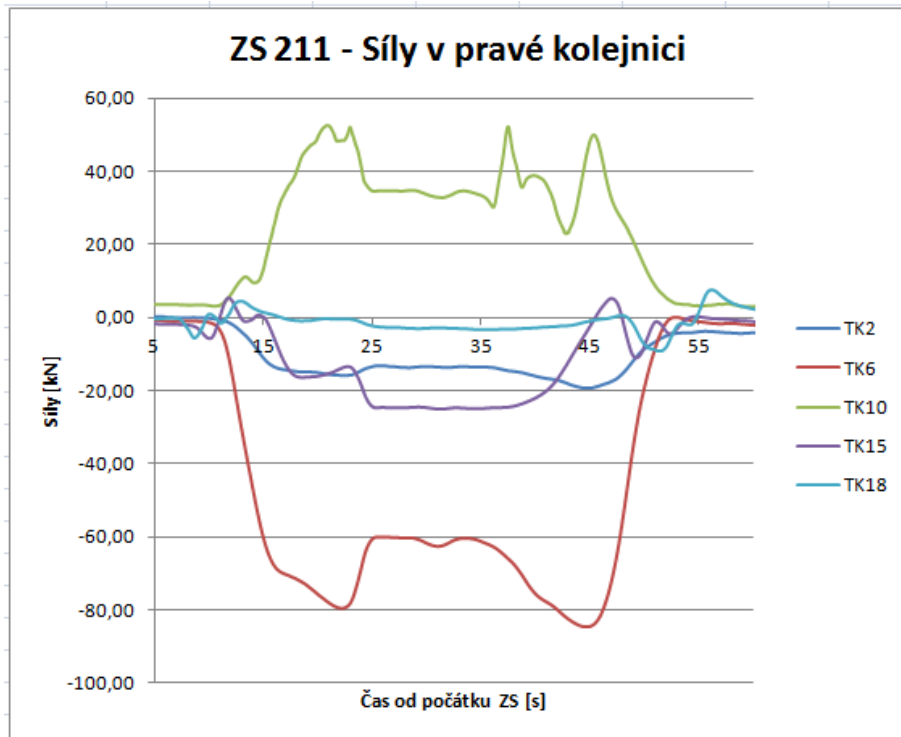
Obrázek 55: ZS211: Normálové síly v řídicí tyči



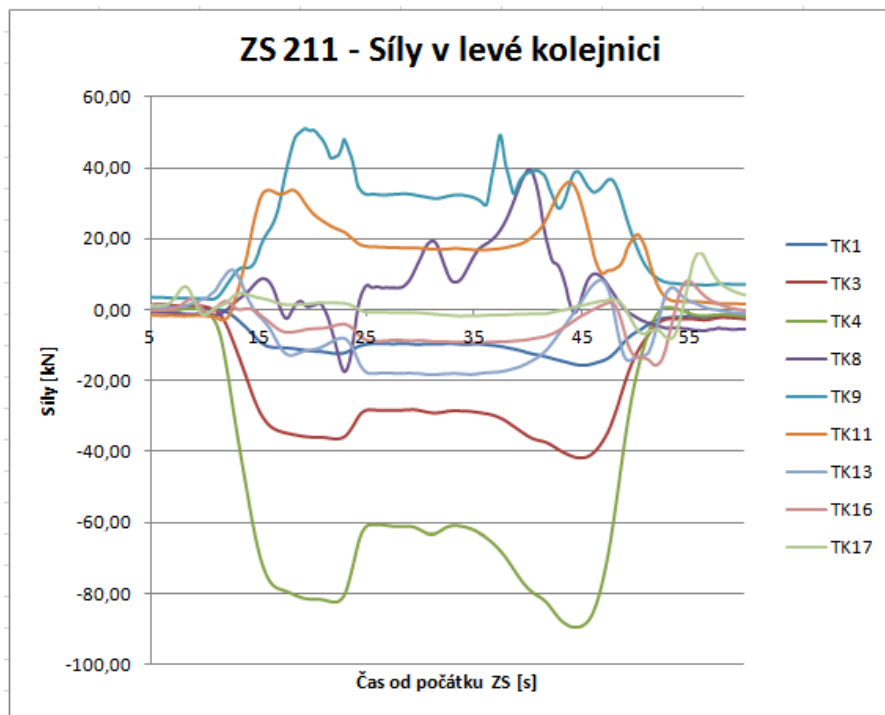
Obrázek 56: ZS211: Posun řídicí tyče vůči příčnicku a posun vodících ložisek NK



Obrázek 57: ZS211: Posuny levé kolejnice



Obrázek 58: ZS211: Normálové síly v pravé kolejnici



Obrázek 59: ZS211: Normálové síly v levé kolejnici

6.3 ZS 211A

Čas: 14:22

Brzdění z rychlosti: 70km/h

Směr brzdění: Z Břeclavi na Hohenau (ÖBB), následně rozjezd na Břeclav

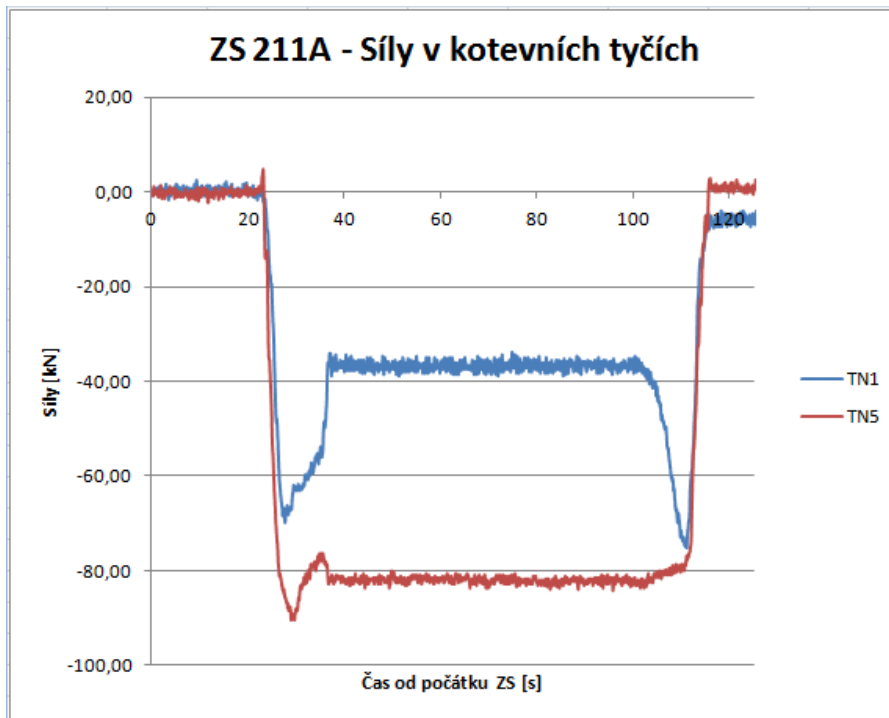
Vlak: Taurus + 1x Falls + Taurus

◀ BŘECLAV

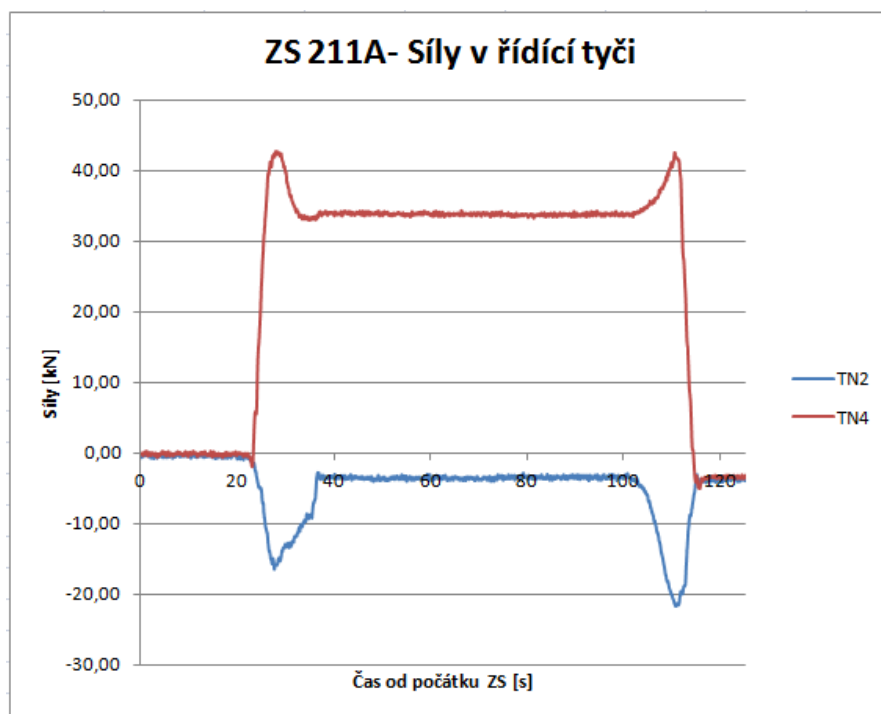
HOHENAU (ÖBB) ▶



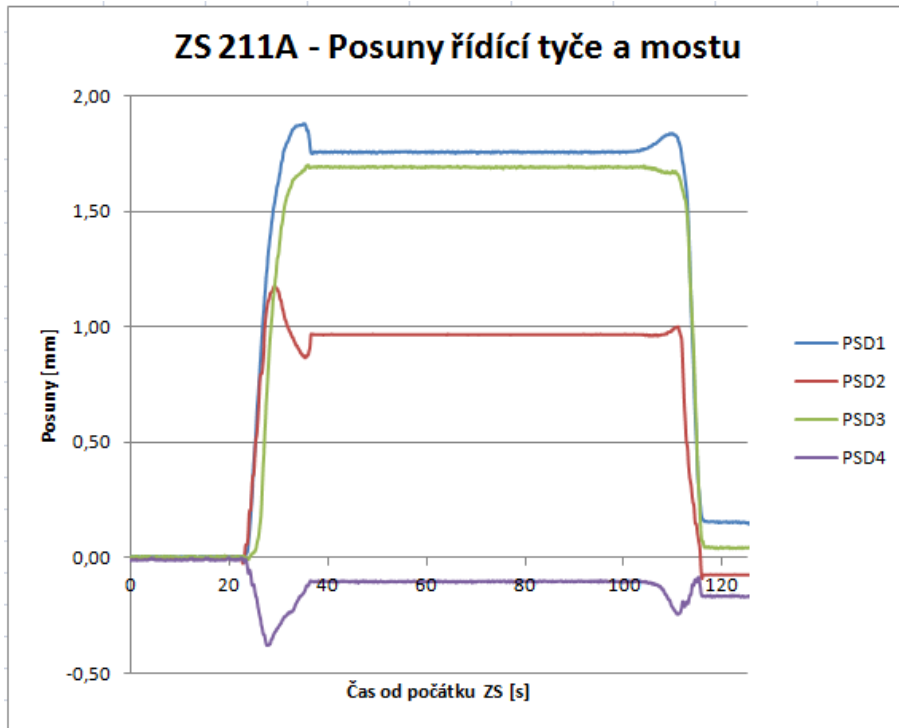
Obrázek 60: ZS211A: Poloha vlaku po zastavení



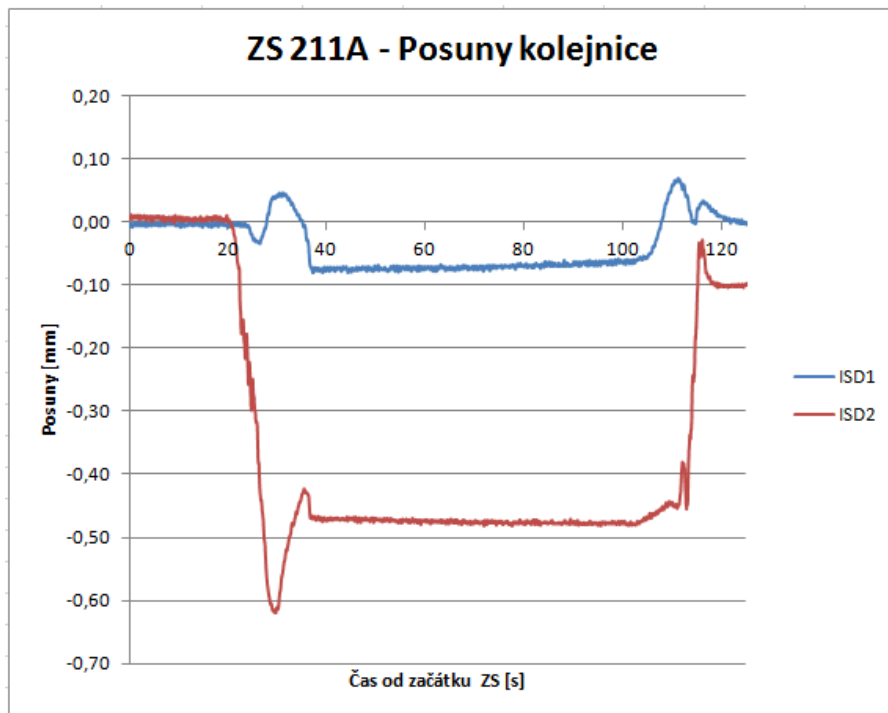
Obrázek 61: ZS211A – Normálové síly v kotevných tyčích



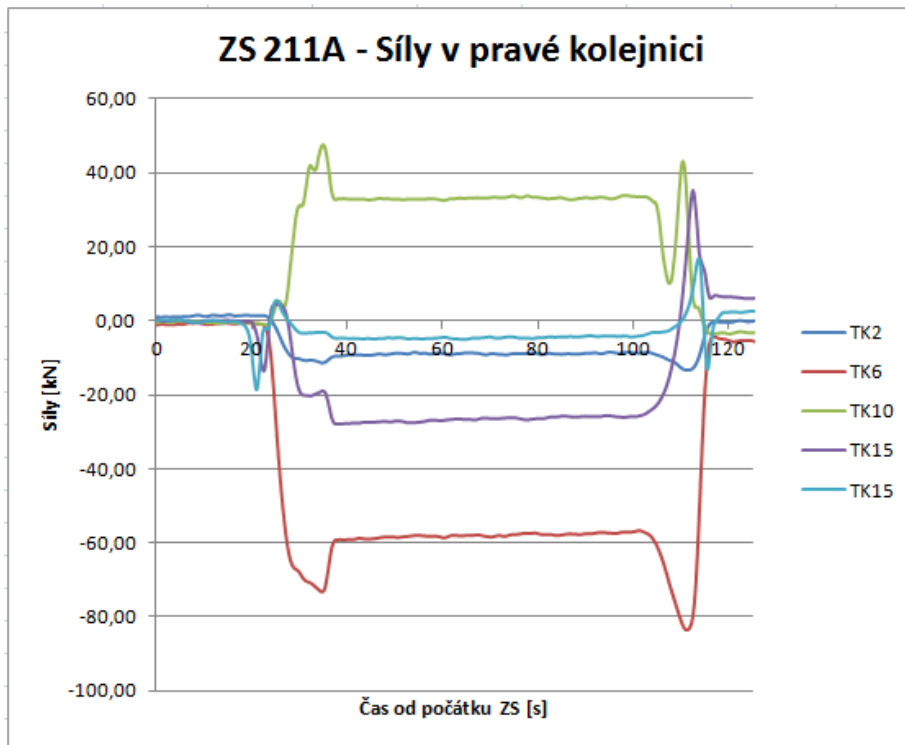
Obrázek 62: ZS211A: Normálové síly v řídicí tyči



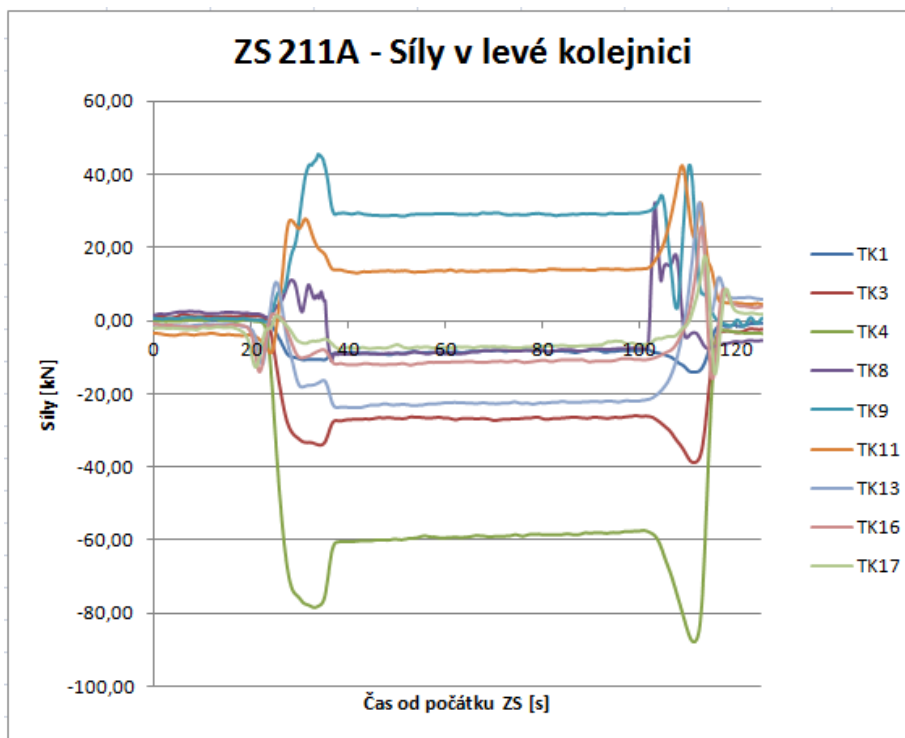
Obrázek 63: ZS211A: Posun řídicí tyče vůči příčnicku a posun vodících ložisek NK



Obrázek 64: ZS211A: Posuny levé kolejnice



Obrázek 65: ZS211A: Normálové síly v pravé kolejnici



Obrázek 66: ZS211A: Normálové síly v levé kolejnici

6.4 ZS 211B

Čas: 14:32

Brzdění z rychlosti: 70km/h

Směr brzdění: Z Břeclavi na Hohenau (ÖBB), následně rozjezd na Břeclav

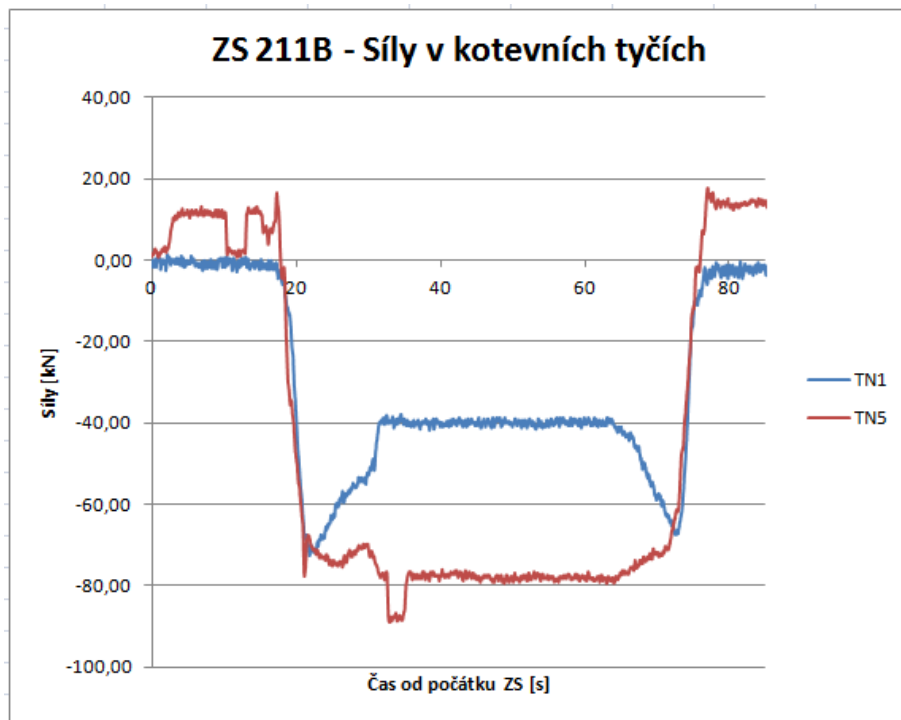
Vlak: Taurus + 1x Falls + Taurus

◀ BŘECLAV

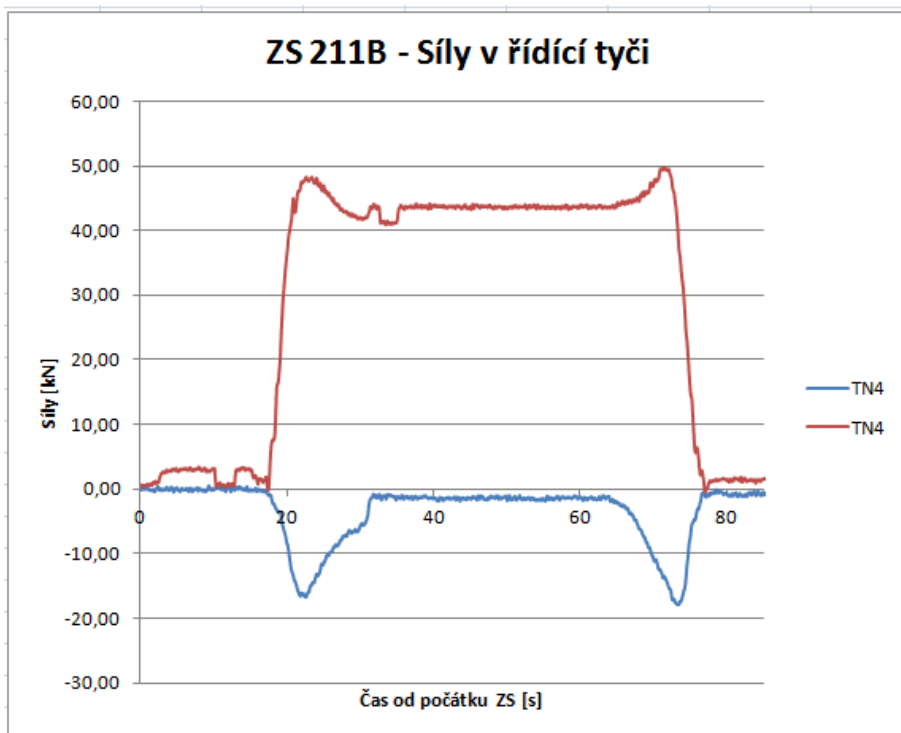
HOHENAU (ÖBB) ▶



Obrázek 67: Z211B: Poloha vlaku po zastavení

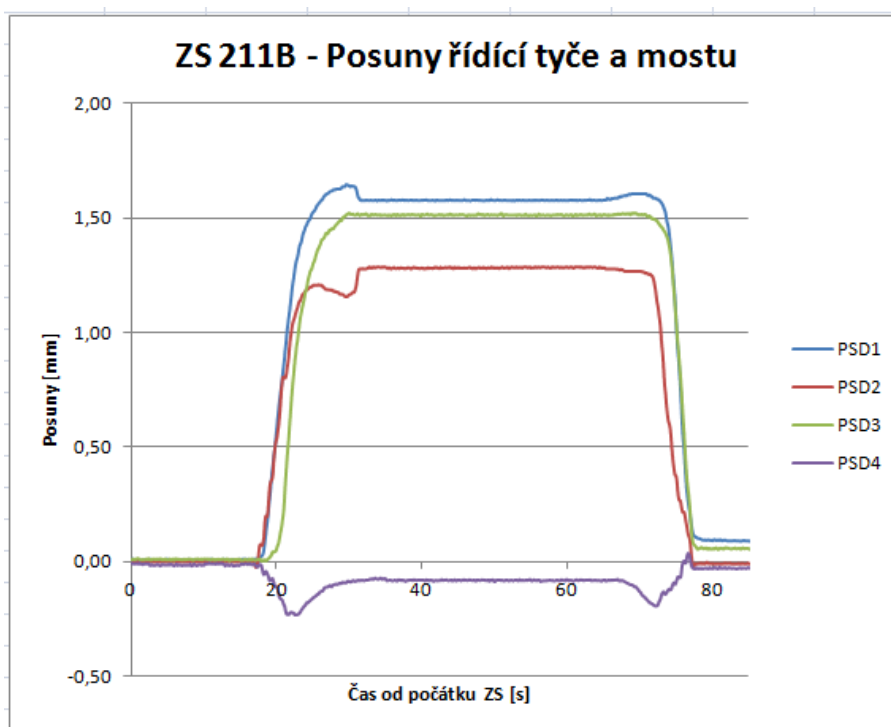


Obrázek 68: ZS211B: Normálové síly v kotevních tyčích

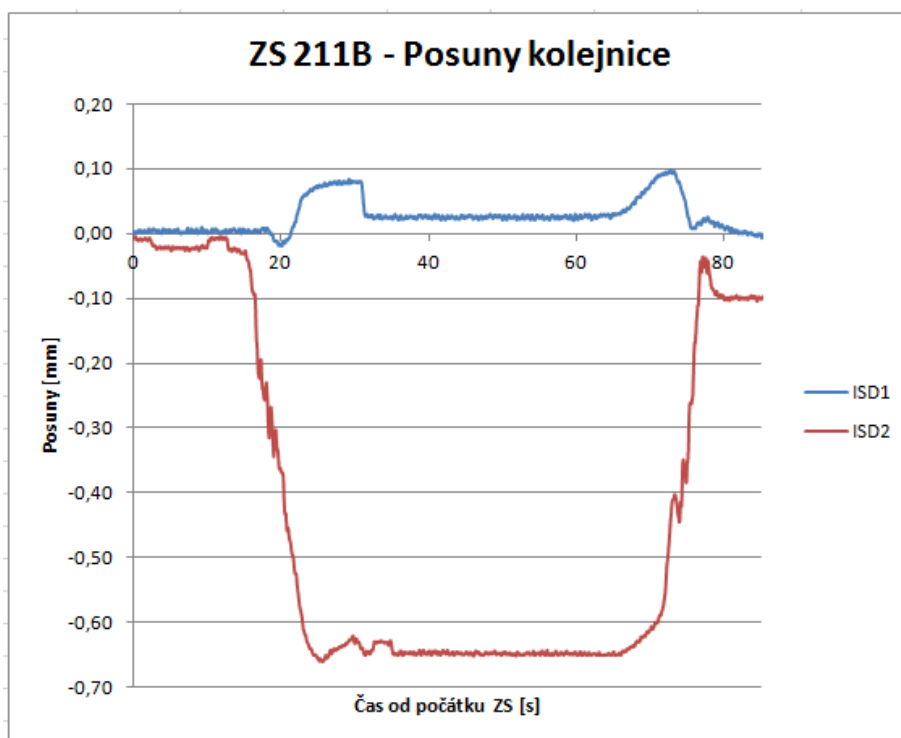


Obrázek 69: ZS211B: Normálové síly v řídící tyči

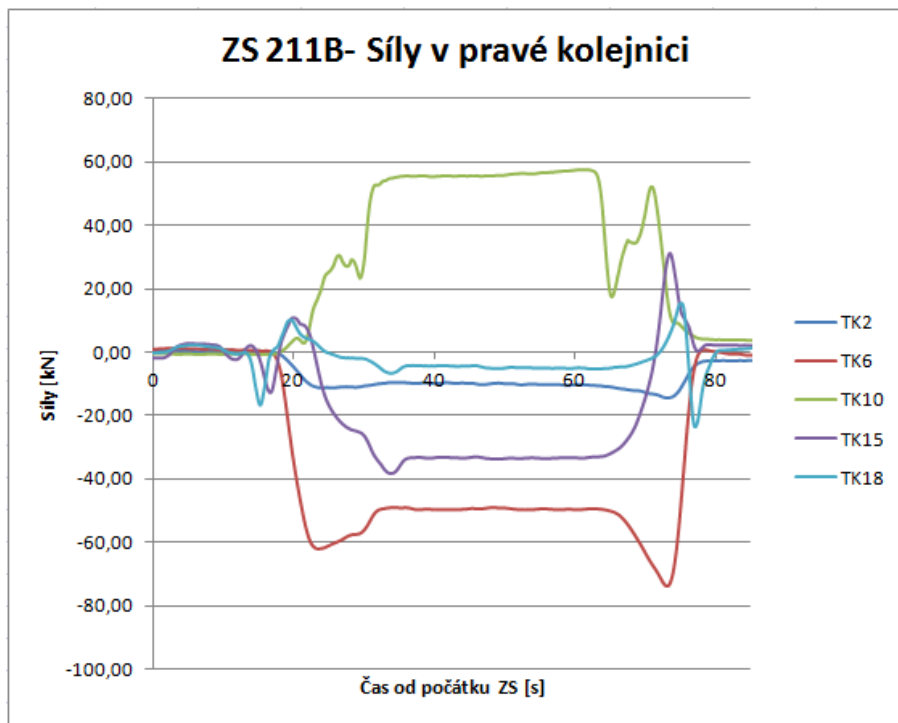
Pozn: Skoky v s normálových silách TN1 a TN4 jsou způsobeny rozkmitáním NOK1 od přejezdu vlaku NOK2.



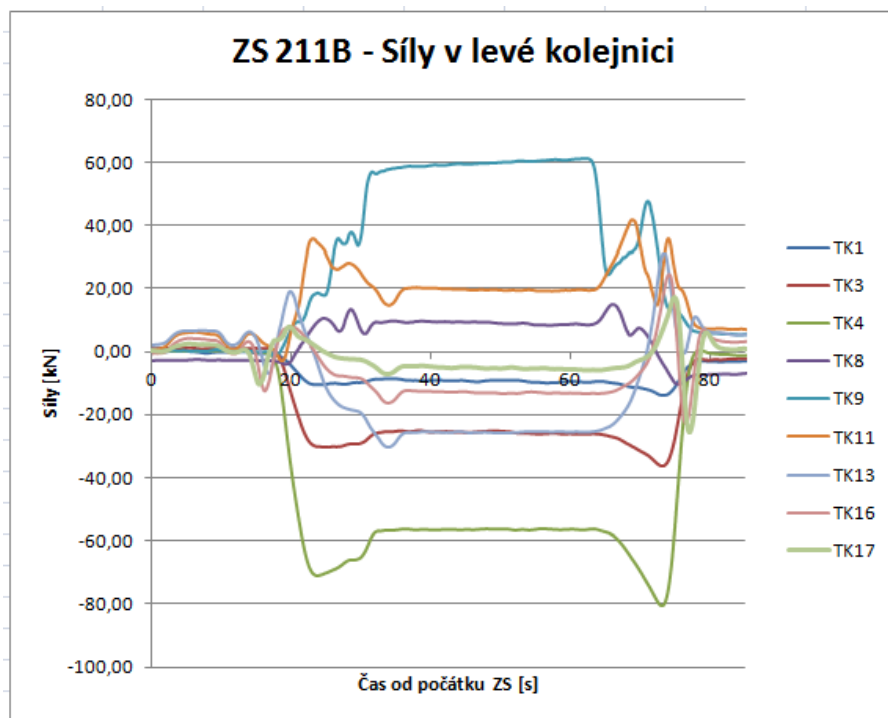
Obrázek 70: ZS211B: Posun řídící tyče vůči příčnicku a posun vodících ložisek NK



Obrázek 71: ZS211B: Posuny levé kolejnice



Obrázek 72: ZS211B: Normálové síly v pravé kolejnici



Obrázek 73: ZS211B: Normálové síly v levé kolejnici

Pozn: Síly v TK9 a TK10 jsou způsobeny od normálového namáhání v důsledku zastavení nápravy v blízkosti snímačů.

6.5 ZS 221

Brzdění z rychlosti: 100km/h

Směr brzdění: Z Břeclavi na Hohenau (ÖBB)

Vlak: Taurus + 1x Falls + Taurus

Komentář: Nepovedený stav, vlak přešel most. Systémy lokomotiv nedovolily zabrzdít naplno.

6.6 ZS 221A

Čas: 14:46

Brzdění z rychlosti: 100km/h

Směr brzdění: Z Břeclavi na Hohenau (ÖBB)

Vlak: Taurus + 1x Falls + Taurus

Komentář: Nepovedený stav, vlak přešel most. Selhání EDB systému v lokomotivách zapříčinilo nedostatečnou brzdící kapacitu a následné přejetí.

6.7 ZS 232

Čas: 15:05

Brzdění z rychlosti: 70km/h

Směr brzdění: Z Hohenau (ÖBB) na Břeclav, následně rozjezd na Hohenau (ÖBB)

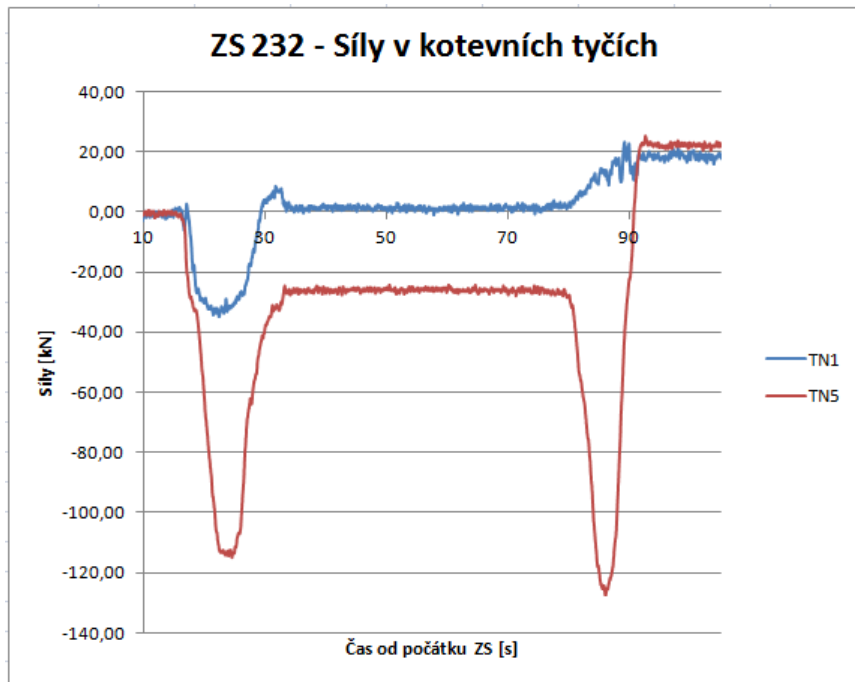
Vlak: Taurus + 1x Falls + Taurus

◀ BŘECLAV

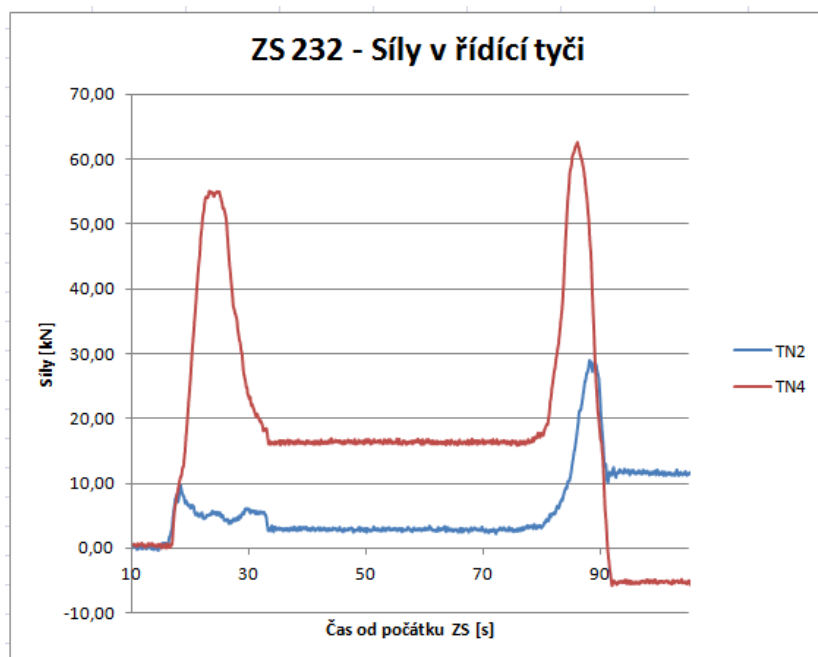
HOHENAU (ÖBB) ▶



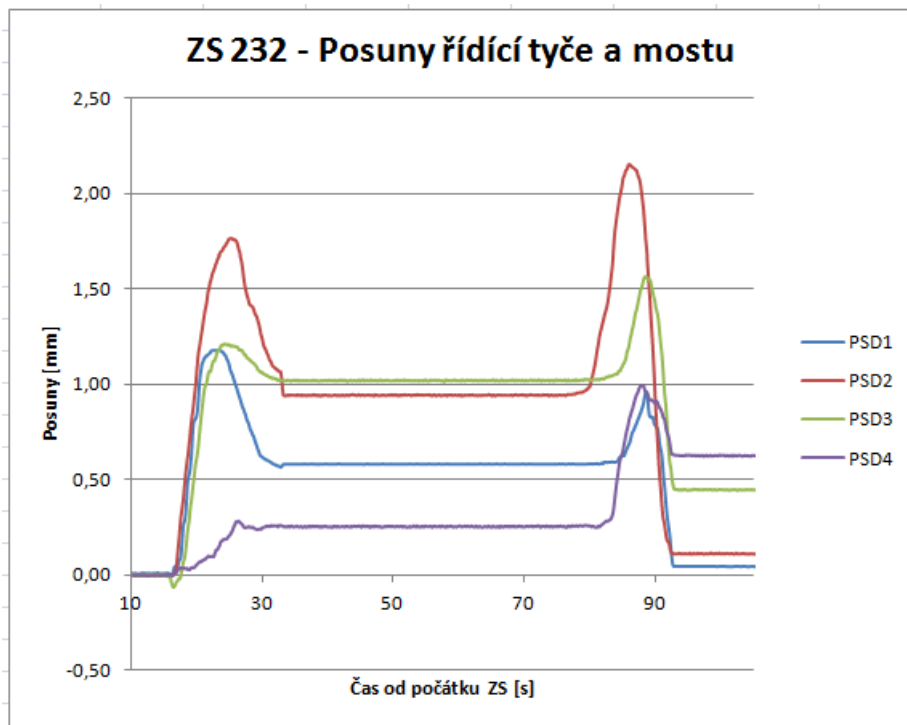
Obrázek 74: Z232: Poloha vlaku po zastavení



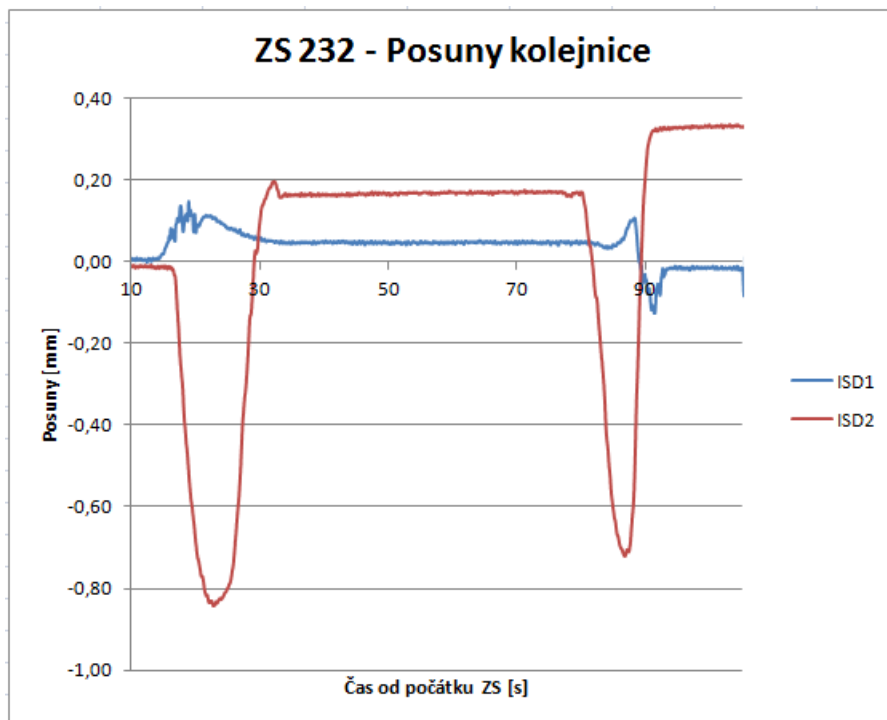
Obrázek 75: ZS232: Normálové síly v kotevních tyčích



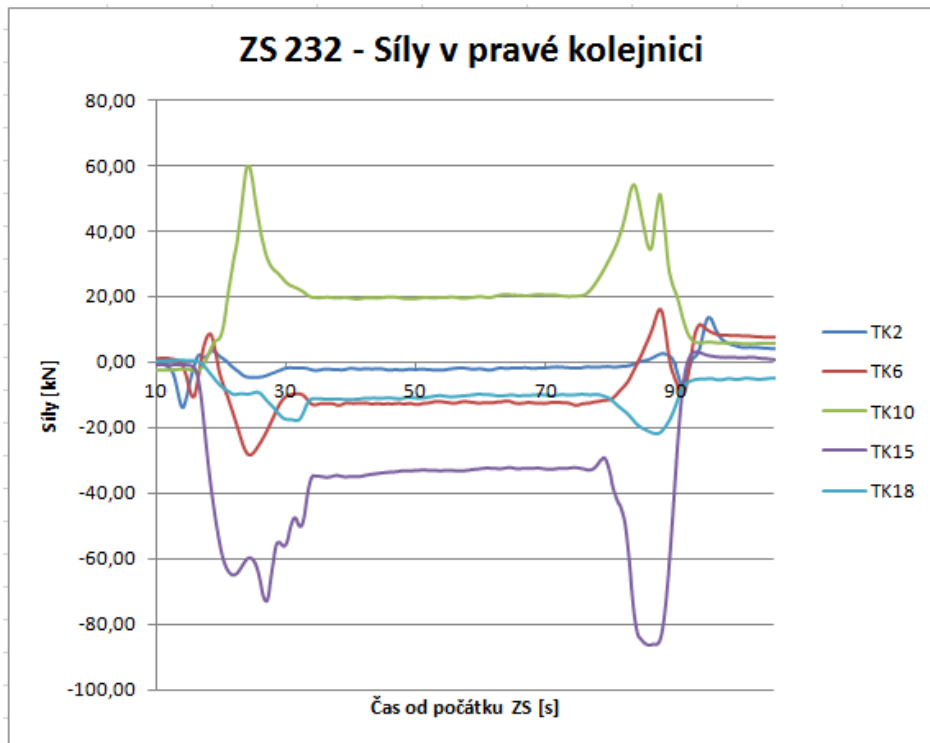
Obrázek 76: ZS232: Normálové síly v řídicí tyči



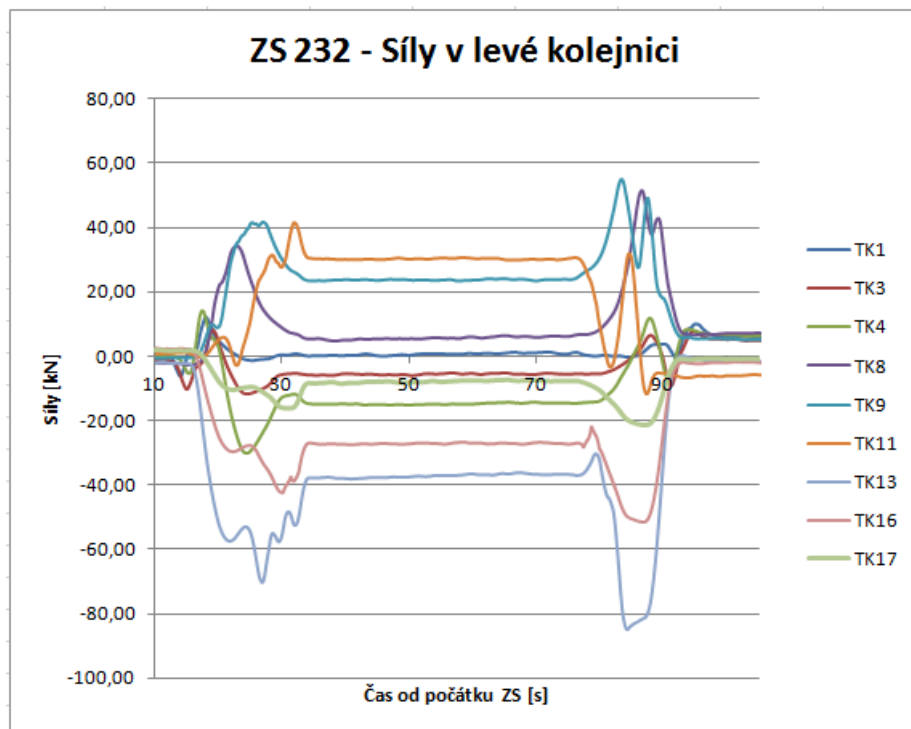
Obrázek 77: ZS232: Posun řídicí tyče vůči příčniku a posun vodících ložisek NK



Obrázek 78: ZS232: Posuny levé kolejnice



Obrázek 79: ZS232: Normálové síly v pravé kolejnici



Obrázek 80: ZS232: Normálové síly v levé kolejnici

6.8 ZS 232A

Čas: 15:13

Brzdění z rychlosti: 70km/h

Směr brzdění: Z Hohenau (ÖBB) na Břeclav, následně rozjezd na Hohenau (ÖBB)

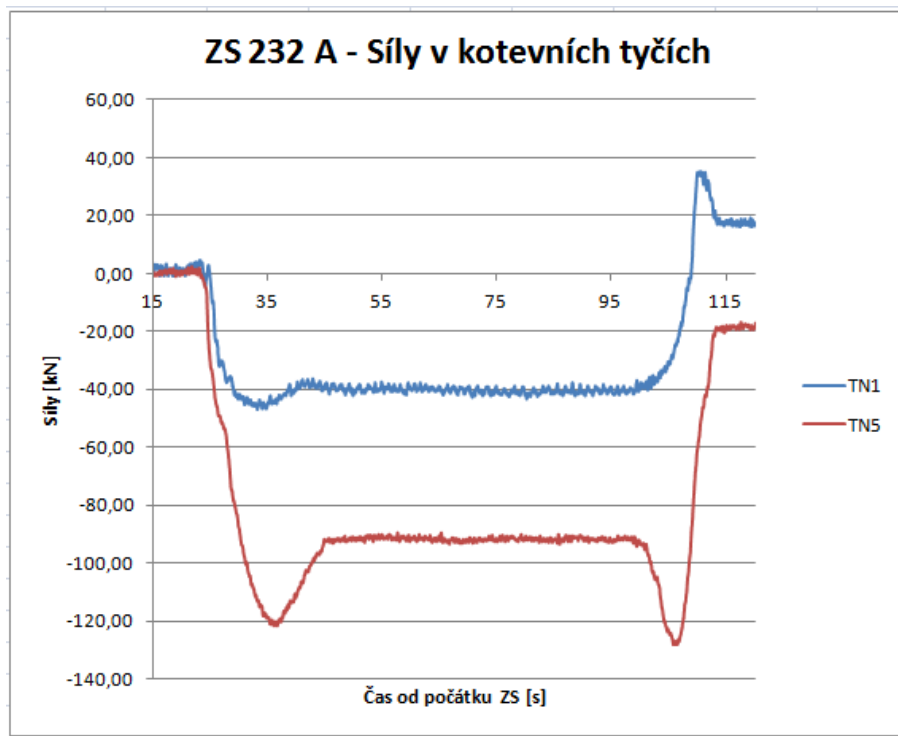
Vlak: Taurus + 1x Falls + Taurus

◀ BŘECLAV

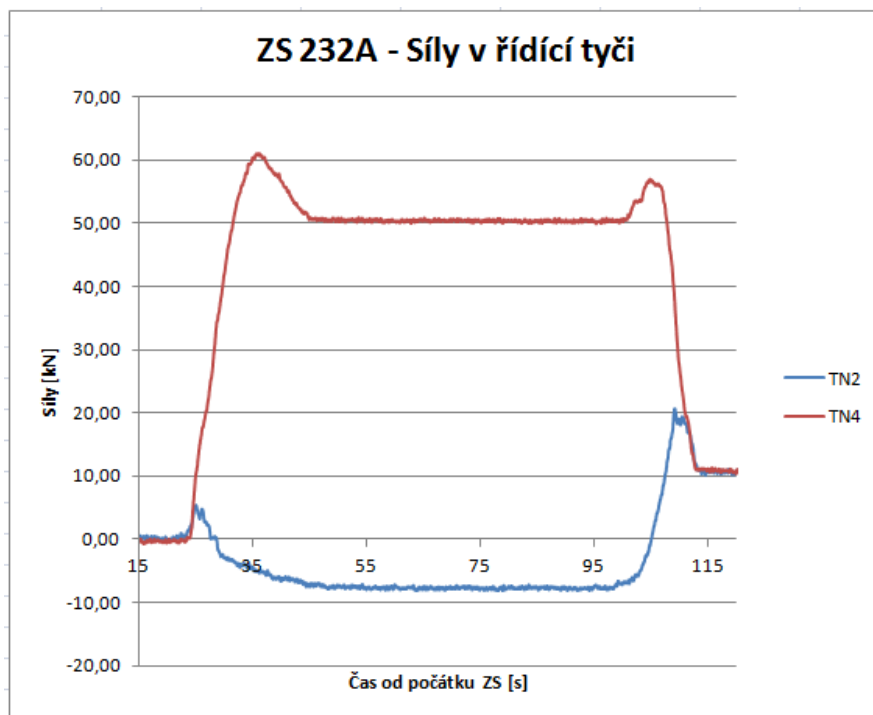
HOHENAU (ÖBB) ▶



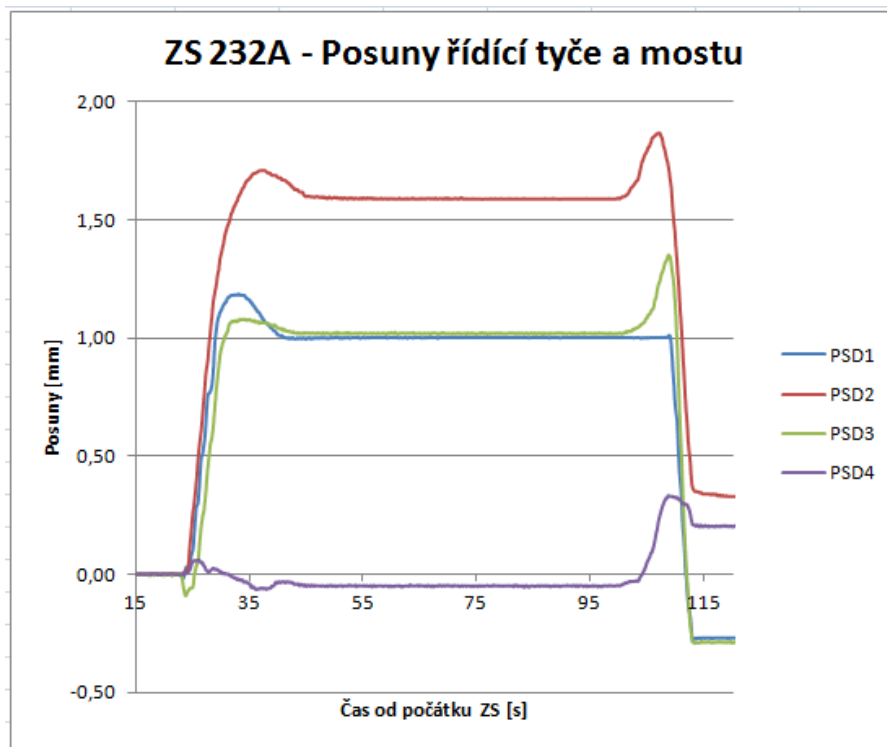
Obrázek 81: ZS 232A: Poloha vlaku po zastavení



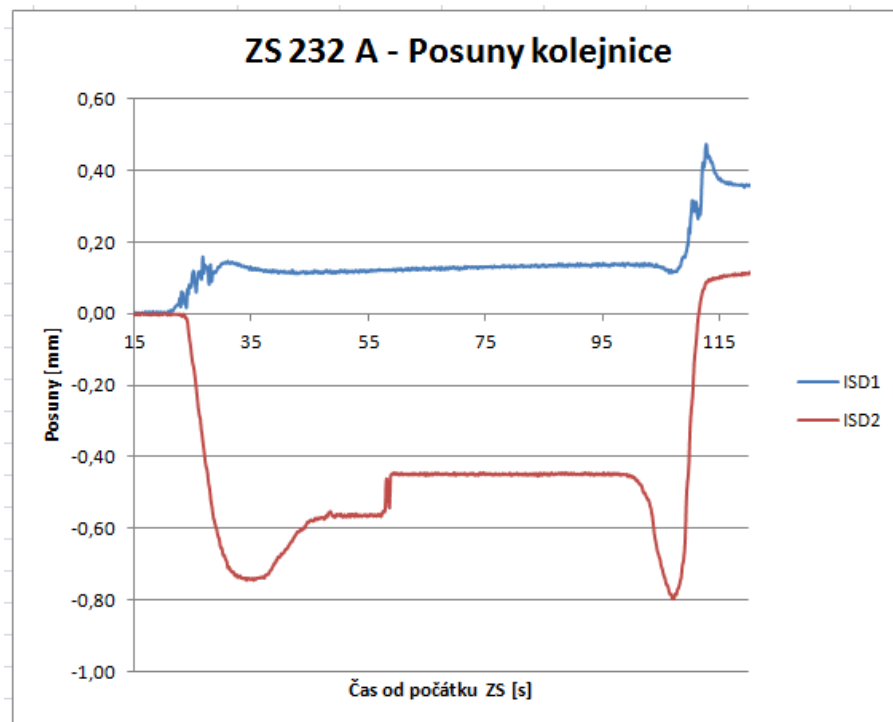
Obrázek 82: ZS232A: Normálové síly v kotevních tyčích



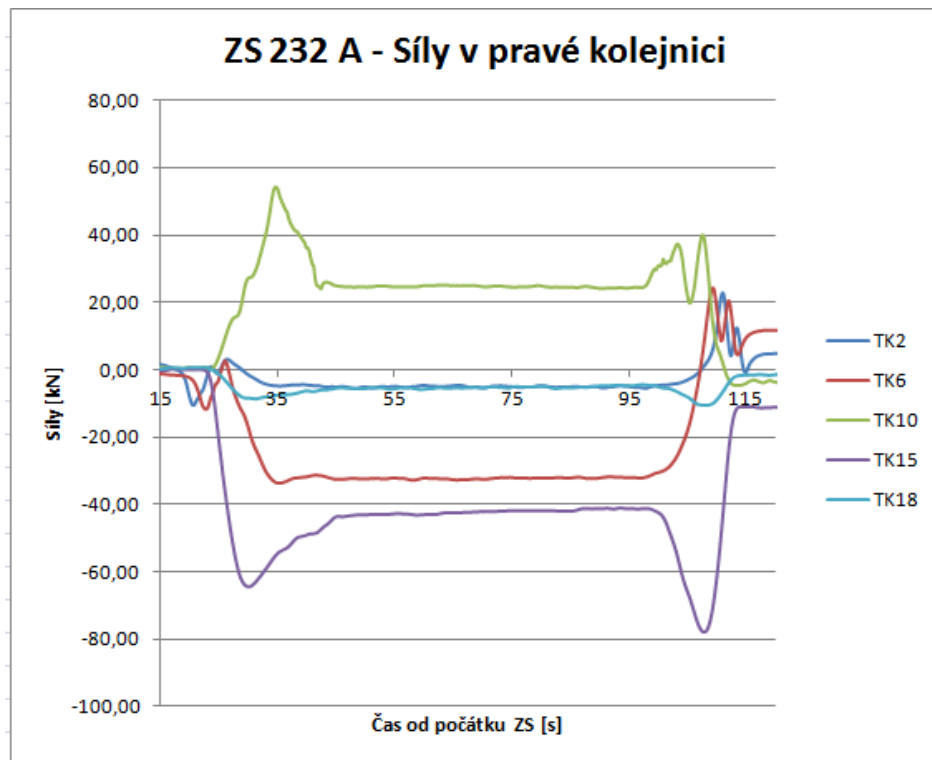
Obrázek 83: ZS232A: Normálové síly v řídicí tyči



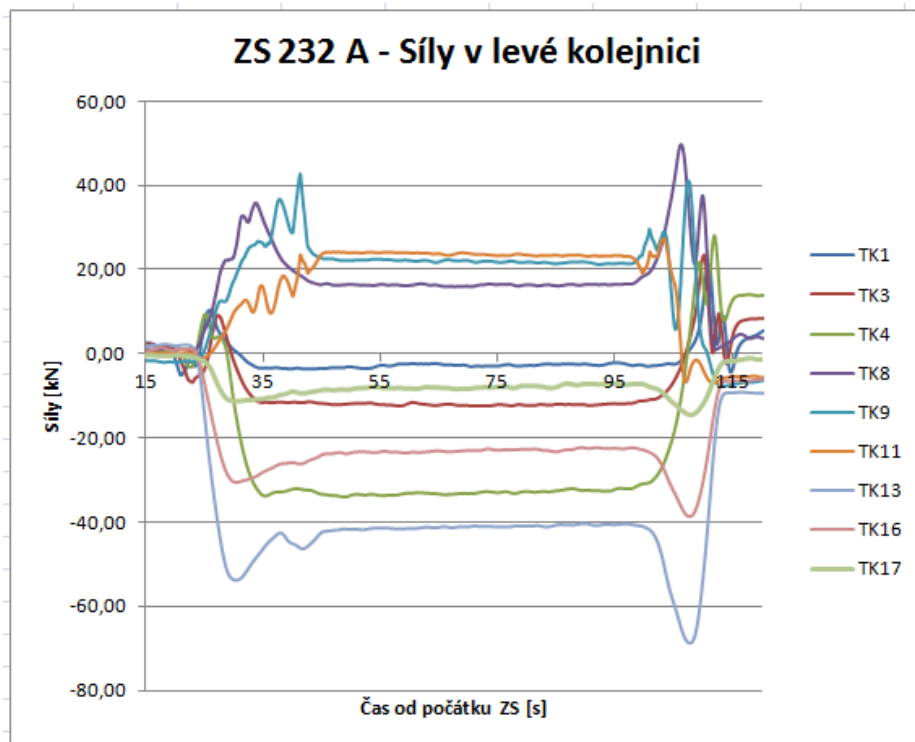
Obrázek 84: ZS232A: Posun řídicí tyče vůči příčnicku a posun vodících ložisek NK



Obrázek 85: ZS232A: Posuny levé kolejnice



Obrázek 86: ZS232A: Normálové síly v pravé kolejnici



Obrázek 87: ZS232A: Normálové síly v levé kolejnici

6.9 ZS 242

Čas: 15:27

Brzdění z rychlosti: 100km/h

Směr brzdění: Z Hohenau (ÖBB) na Břeclav, následně rozjezd na Hohenau (ÖBB)

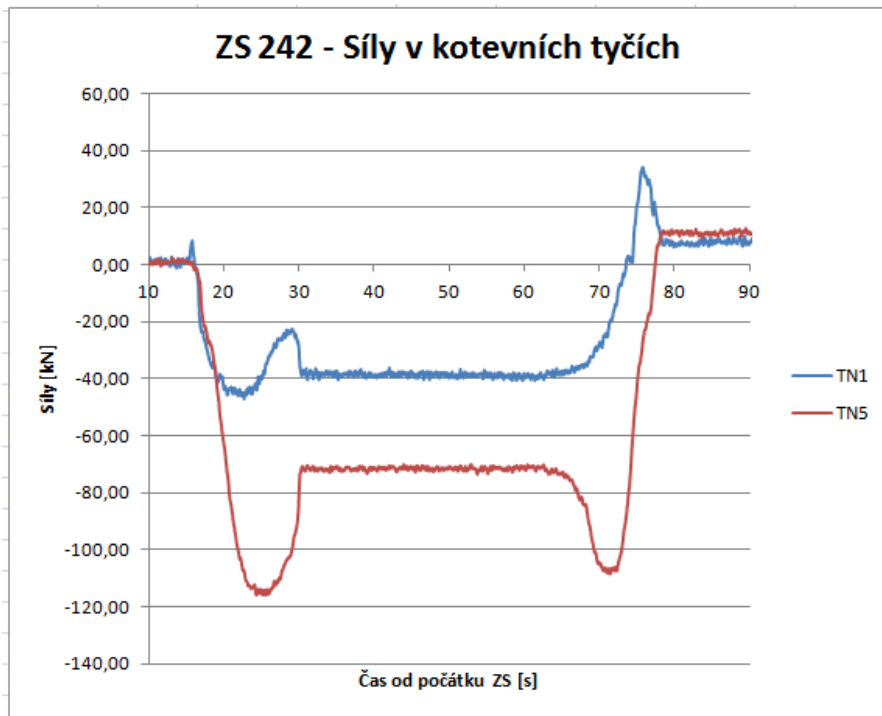
Vlak: Taurus + 1x Falls + Taurus

◀ BŘECLAV

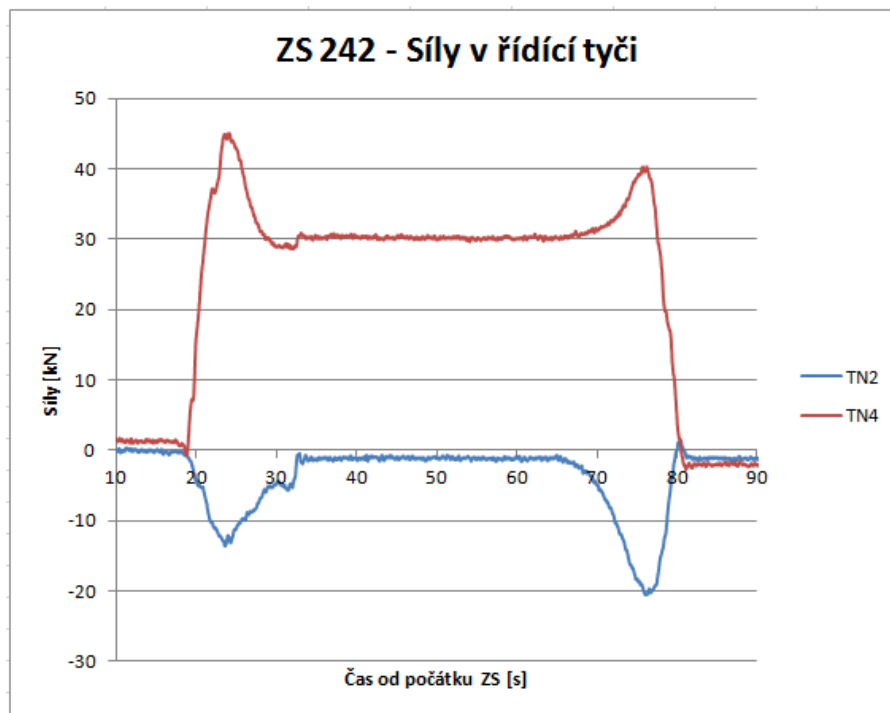
HOHENAU (ÖBB) ▶



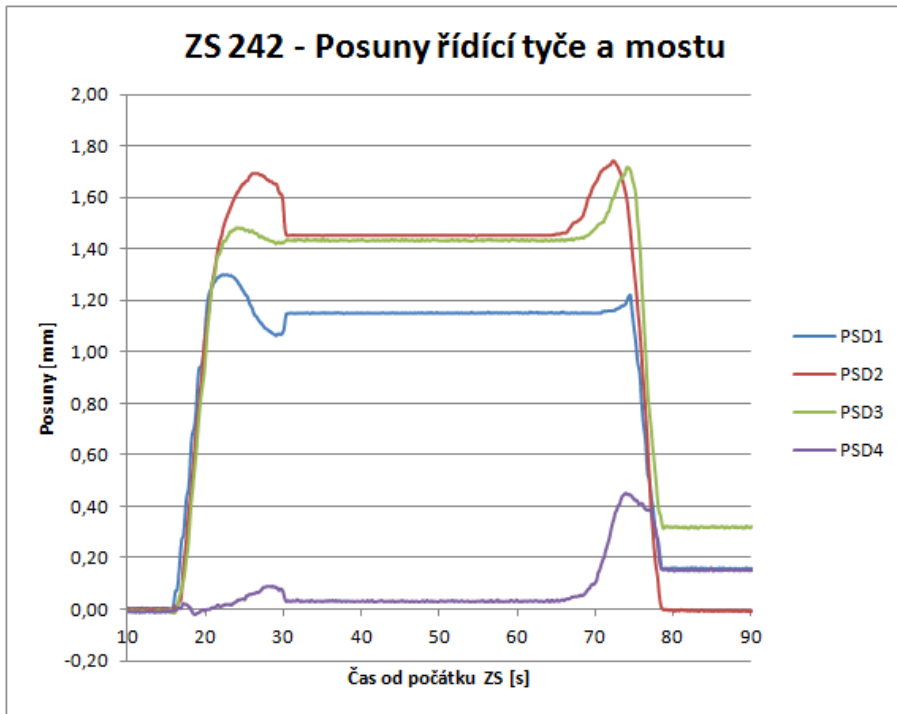
Obrázek 88: Z242: Poloha vlaku po zastavení



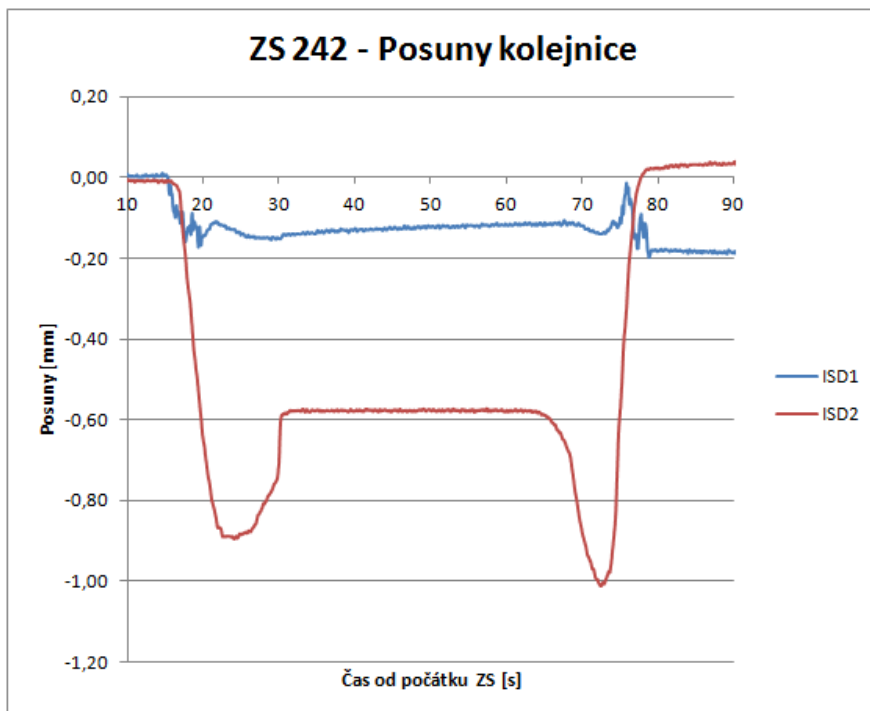
Obrázek 89: ZS242: Normálové síly v kotevných tyčích



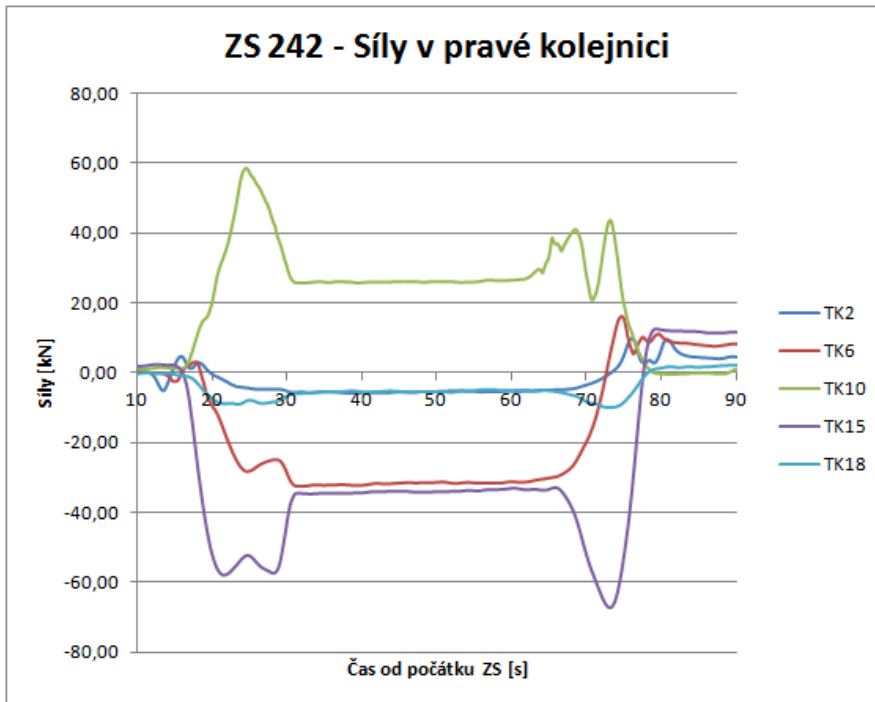
Obrázek 90: ZS242: Normálové síly v řídicí tyči



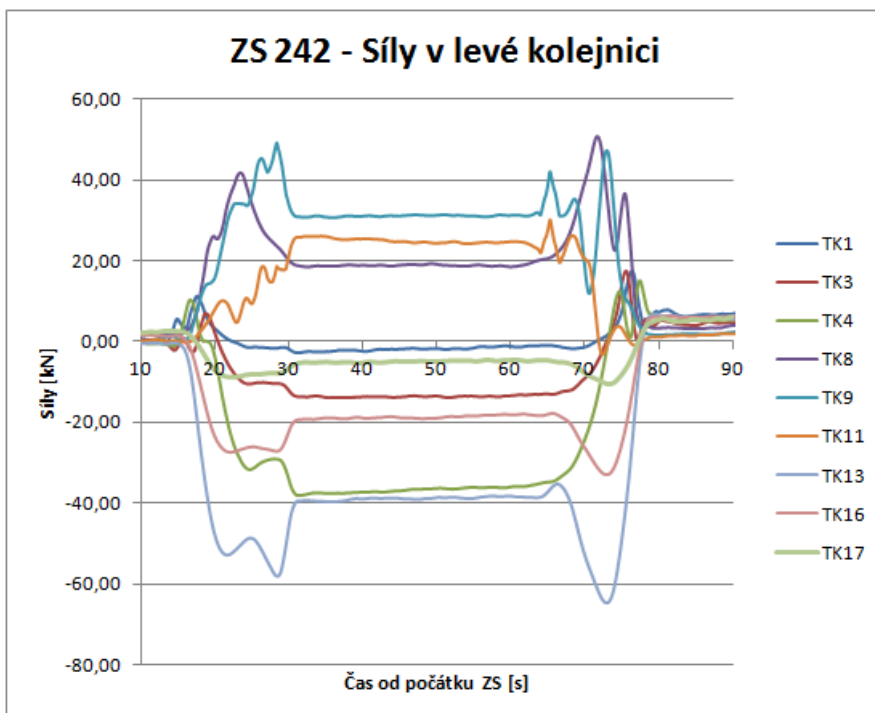
Obrázek 91: ZS242: Posun řídicí tyče vůči příčnicku a posun vodících ložisek NK



Obrázek 92: ZS242: Posuny levé kolejnice



Obrázek 93: ZS242: Normálové síly v pravé kolejnici



Obrázek 94: ZS242: Normálové síly v levé kolejnici

6.10 ZS 221B

Čas: 15:44

Brzdění z rychlosti: 100km/h

Směr brzdění: Z Břeclavi na Hohenau (ÖBB), následně rozjezd na Břeclav

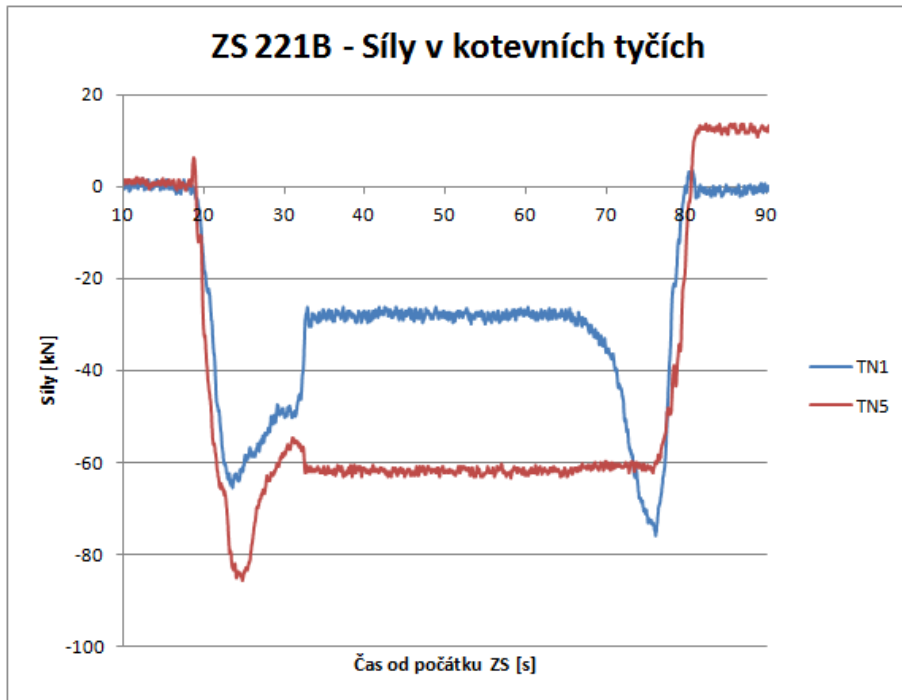
Vlak: Taurus + 1x Falls + Taurus

◀ BŘECLAV

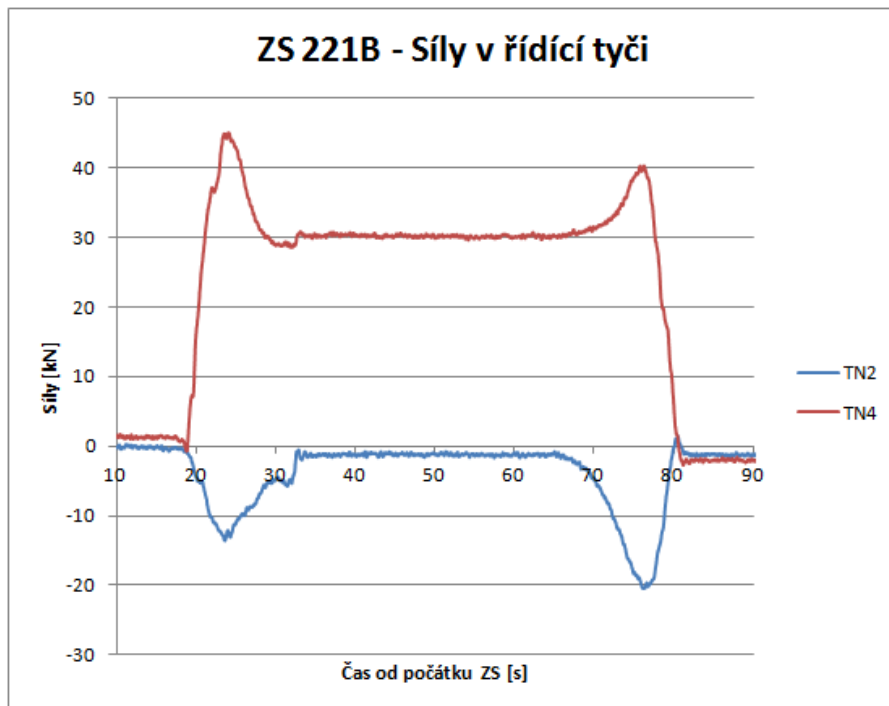
HOHENU (ÖBB) ▶



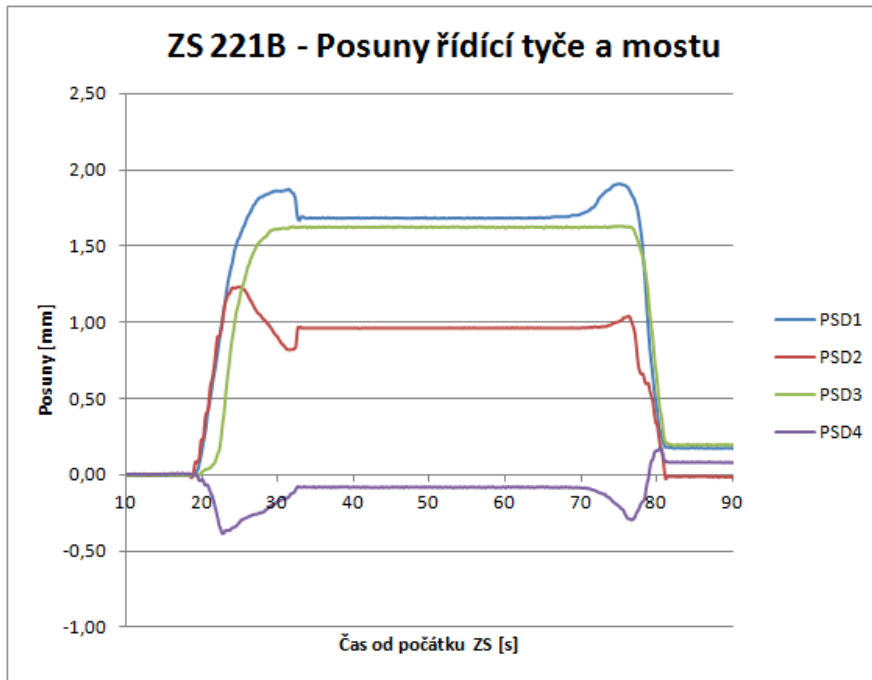
Obrázek 95: Z221B: Poloha po zastavení



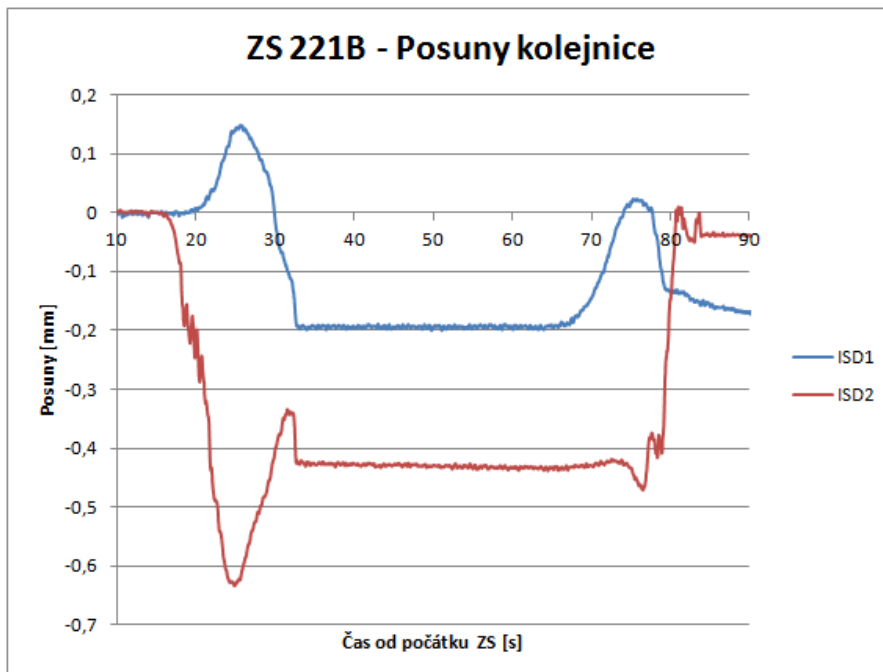
Obrázek 96: ZS221B: Normálové síly v kotevních tyčích



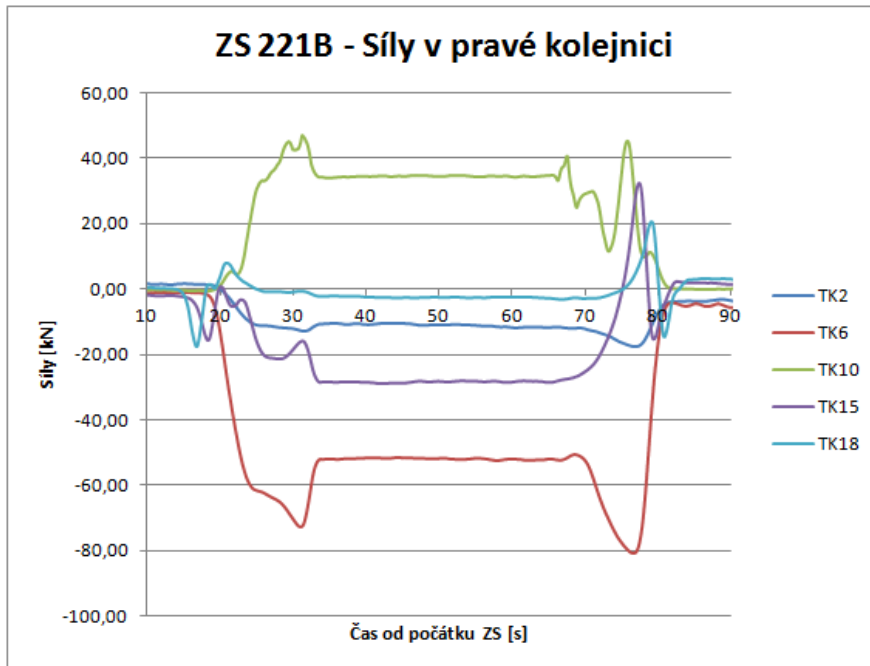
Obrázek 97: ZS221B: Normálové síly v řídicí tyči



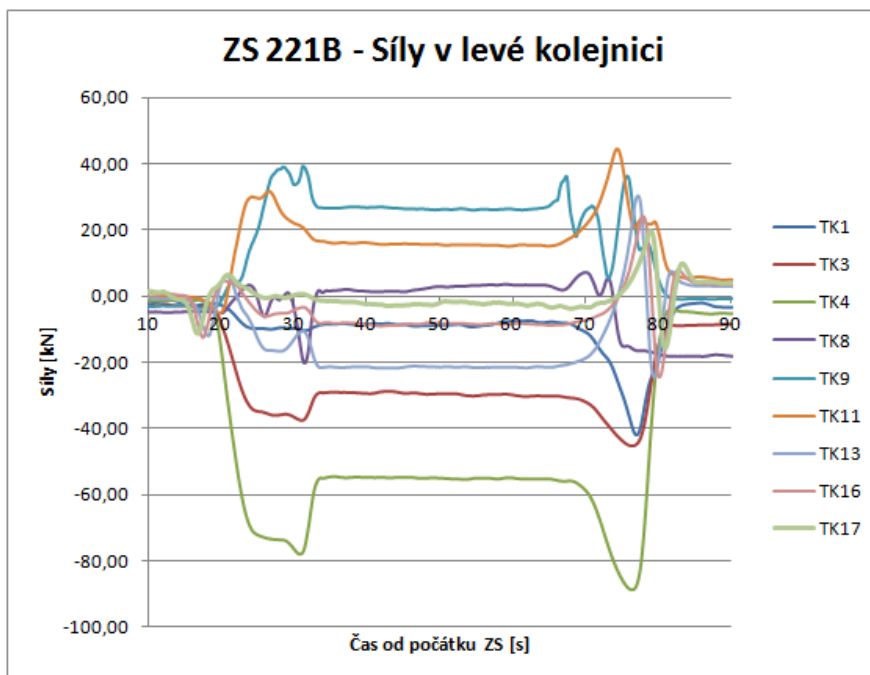
Obrázek 98: Posun řídicí tyče vůči příčnicku a posun vodících ložisek NK



Obrázek 99: ZS221B: Posuny levé kolejnice



Obrázek 100: ZS221B: Normálové síly v pravé kolejnici



Obrázek 101: ZS221B: Normálové síly v levé kolejnici

6.11 ZS251

Čas: 16:19

Brzdění z rychlosti: 100km/h

Směr brzdění: Z Břeclavi na Hohenau (ÖBB), následně rozjezd na Břeclav

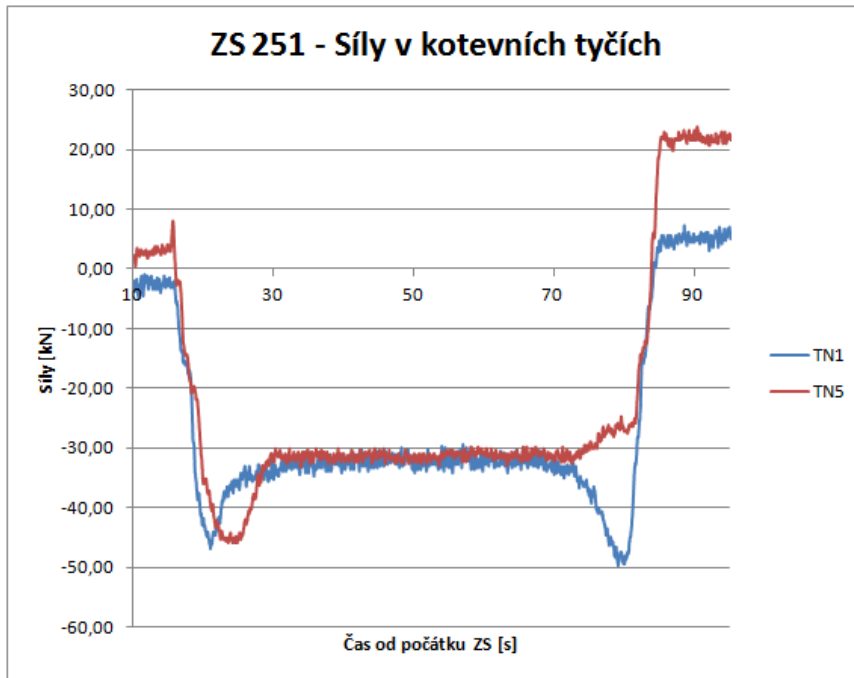
Vlak: 2x Taurus

◀ BŘECLAV

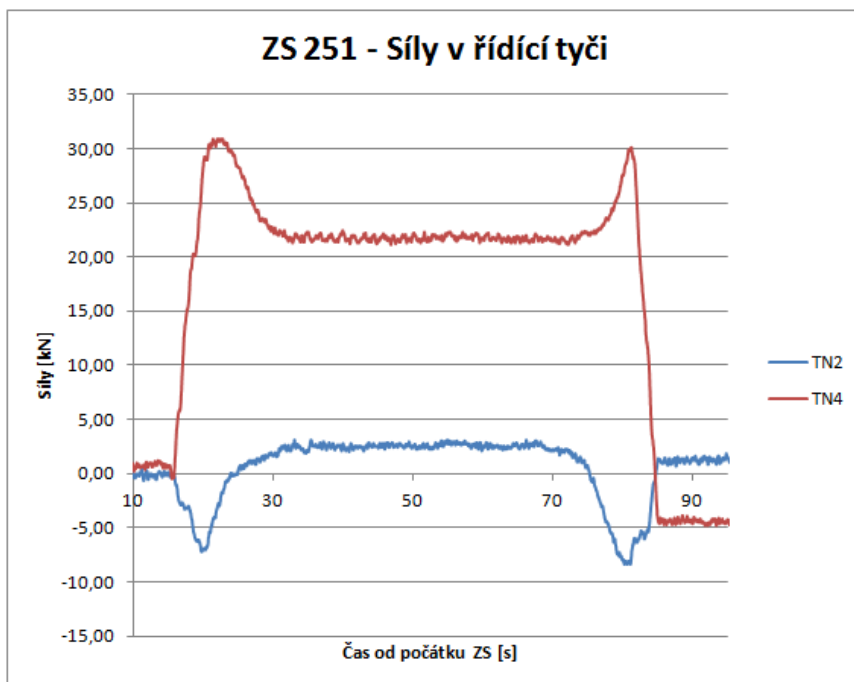
HOHENAU (ÖBB) ▶



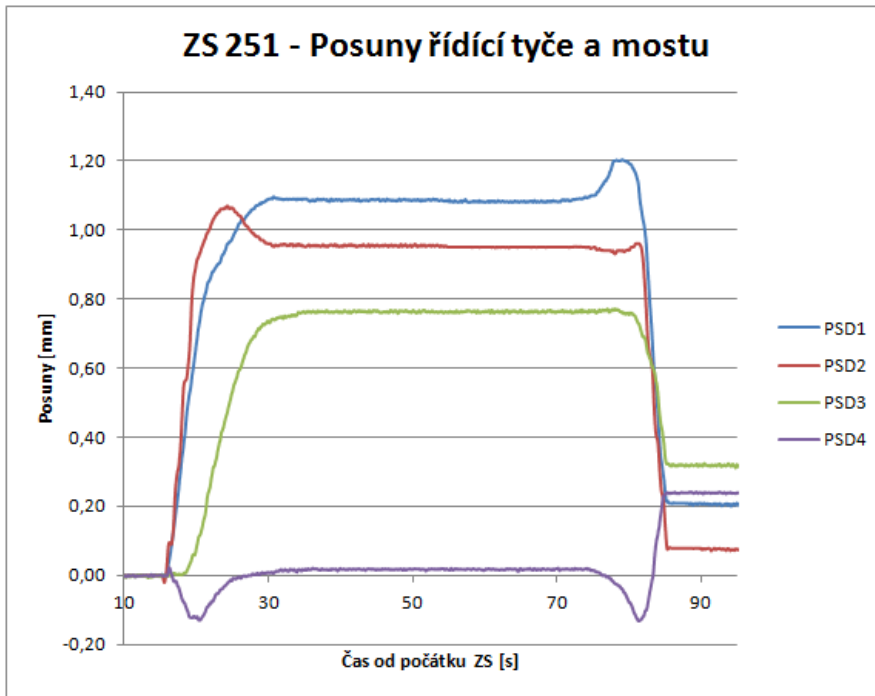
Obrázek 102: ZS251: Poloha po zastavení



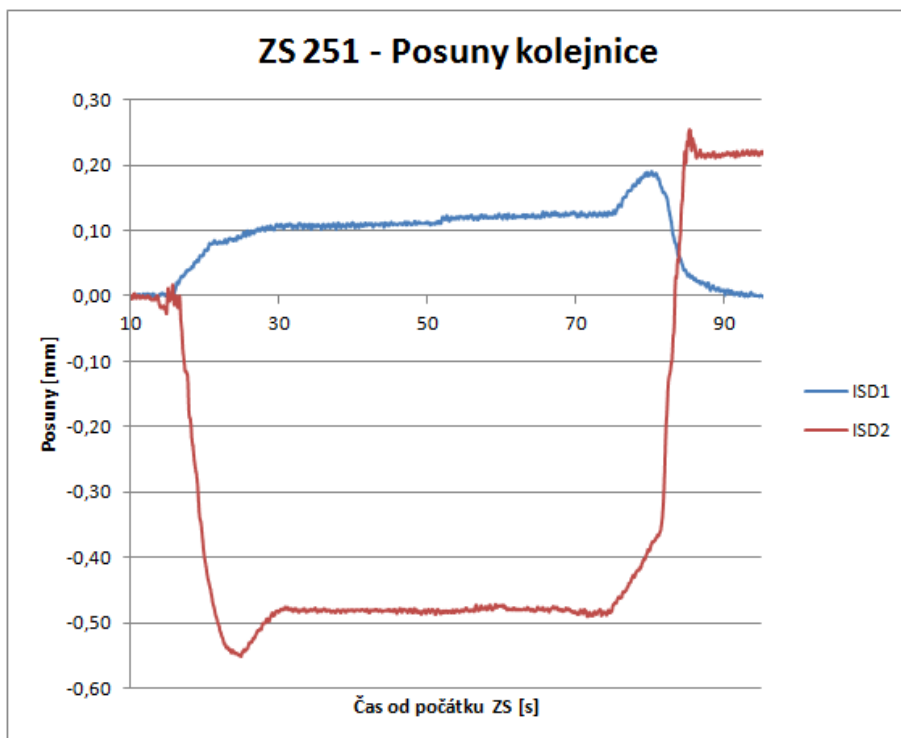
Obrázek 103: ZS251: Normálové síly v kotevních tyčích



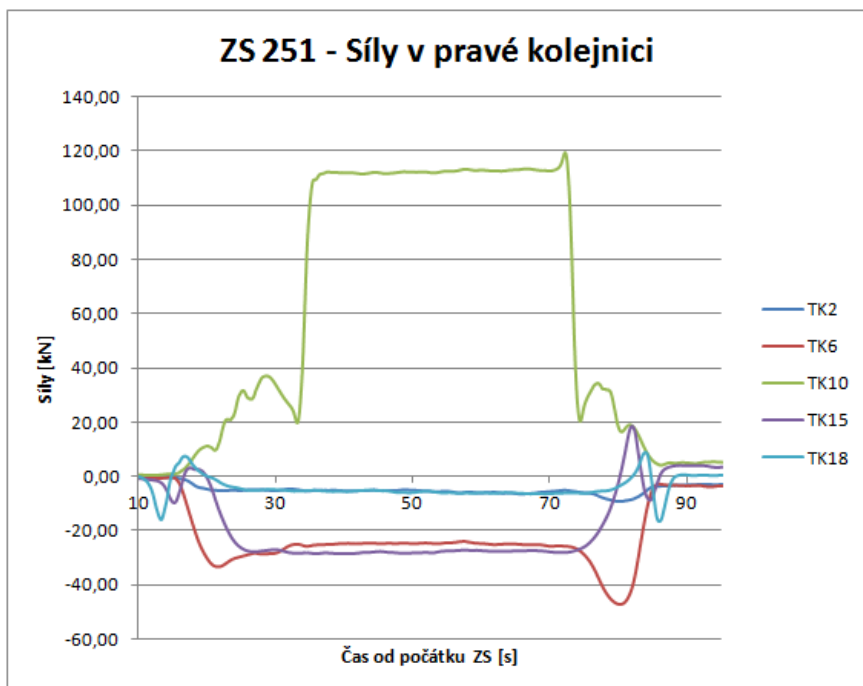
Obrázek 104: ZS251: Normálové síly v řídicí tyči



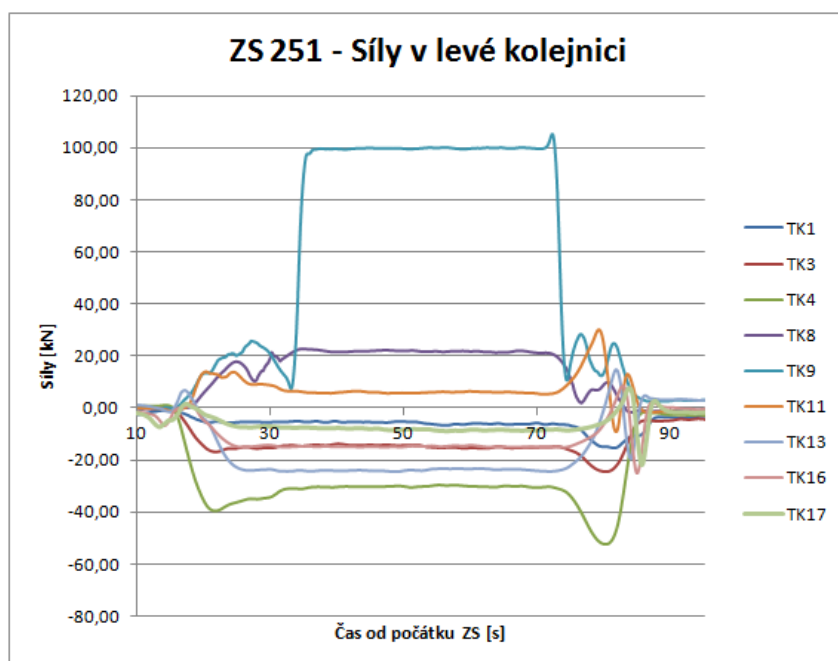
Obrázek 105: ZS251 Posun řídící tyče vůči příčniku a posun vodících ložisek NK



Obrázek 106: ZS251: Posuny levé kolejnice



Obrázek 107: ZS251: Normálové síly v pravé kolejnici



Obrázek 108: ZS 251: Normálové síly v levé kolejnici

Pozn: Síly v TK9 a TK10 jsou způsobeny od normálového namáhání v důsledku zastavení nápravy v blízkosti snímačů.

6.12 ZS 251A

Čas: 16:26

Brzdění z rychlosti: 100km/h

Směr brzdění: Z Břeclavi na Hohenau (ÖBB), následně rozjezd na Břeclav

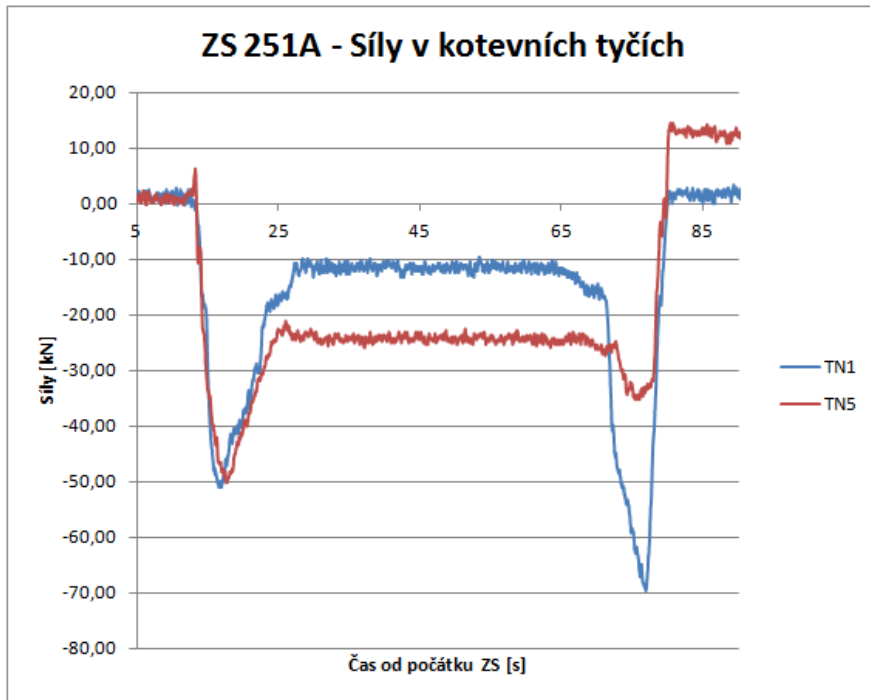
Vlak: 2x Taurus

◀ BŘECLAV

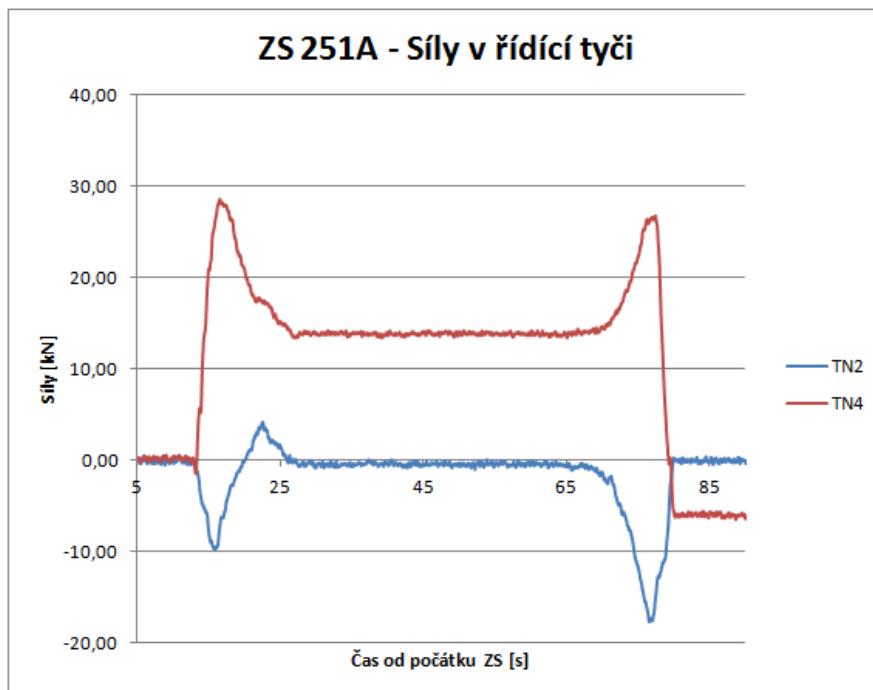
HOHENAU (ÖBB) ▶



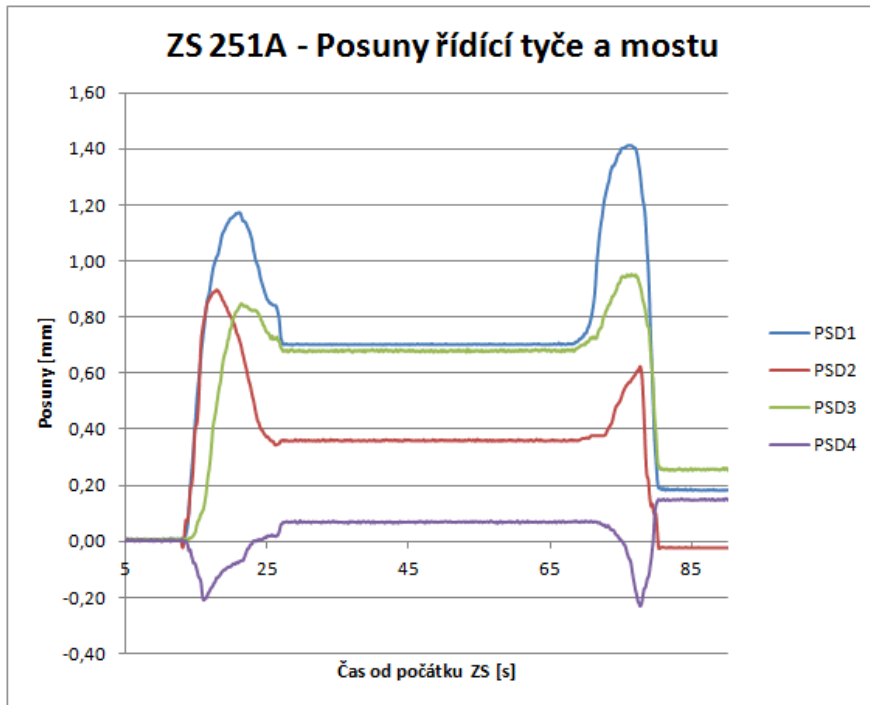
Obrázek 109: ZS251A: Poloha po zastavení



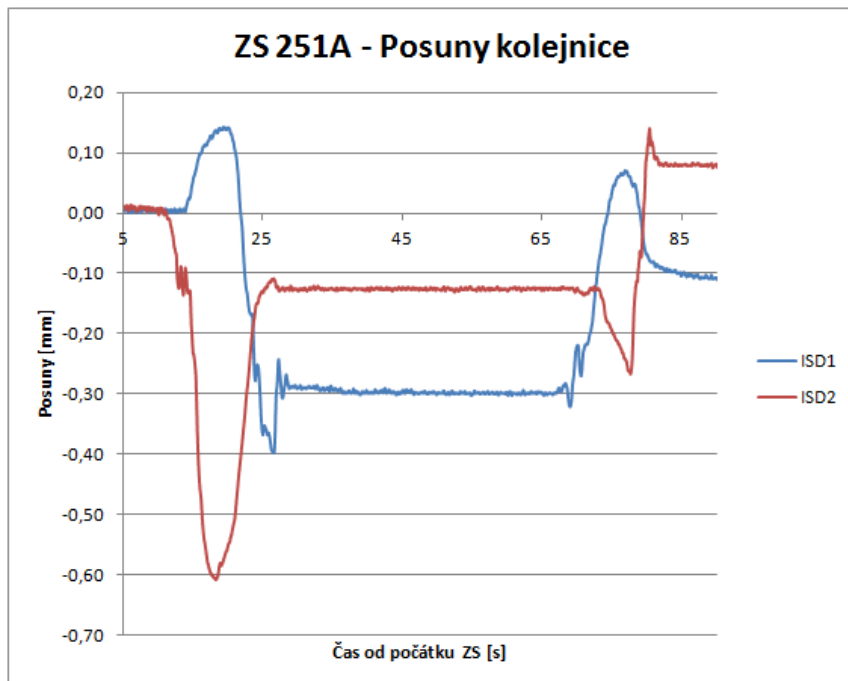
Obrázek 110: ZS251A: Normálové síly v kotevných tyčích



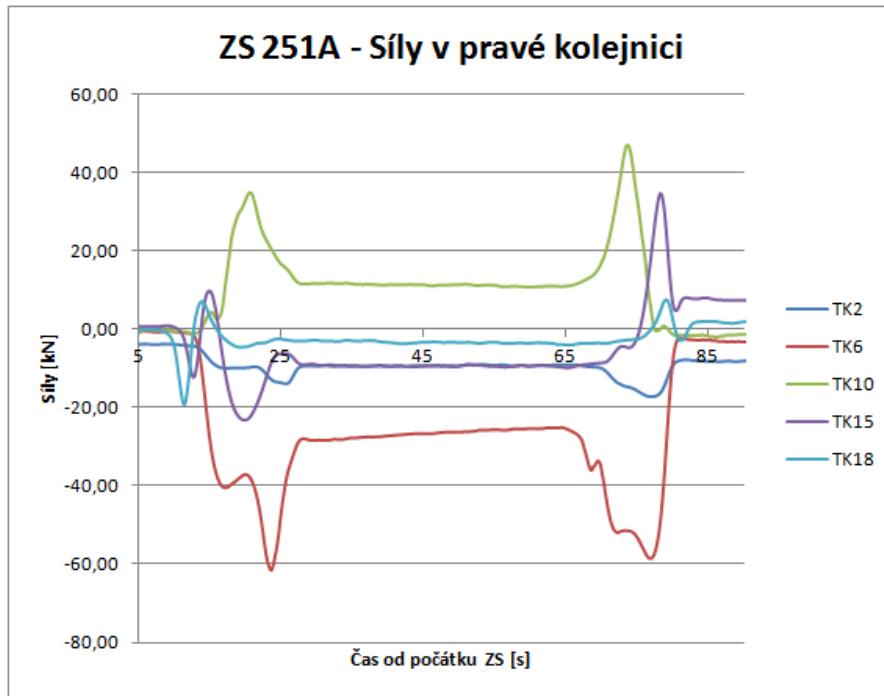
Obrázek 111: ZS251A: Normálové síly v řídicí tyči



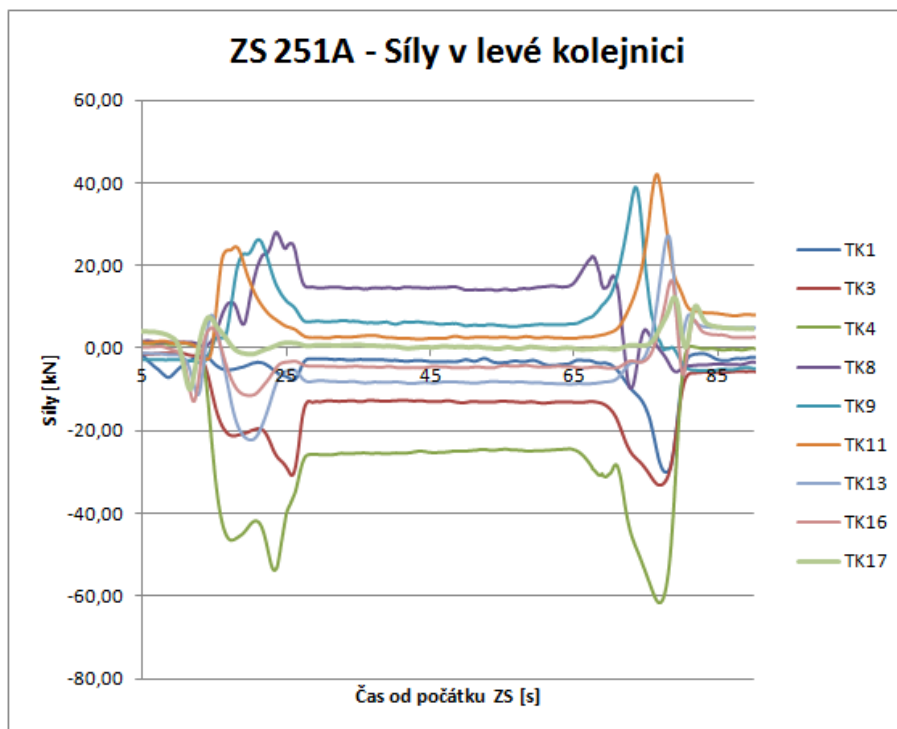
Obrázek 112: ZS251A: Posun řídící tyče vůči příčniku a posun vodících ložisek NK



Obrázek 113: ZS251A: Posuny levé kolejnice



Obrázek 114: ZS251A: Normálové síly v pravé kolejnici



Obrázek 115: ZS251A: Normálové síly v levé kolejnici

6.13 Závěr

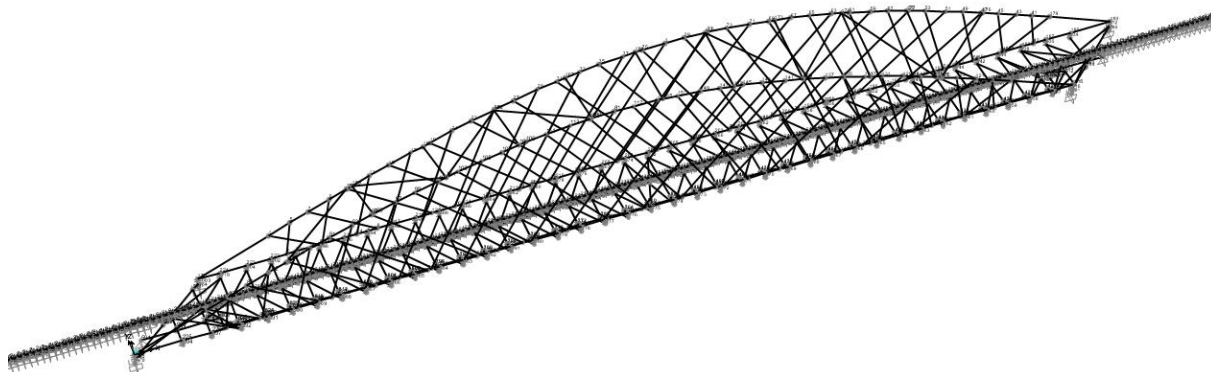
Na základě vyhodnocených experimentálních dat z brzdných zatěžovacích zkoušek, které byly provedeny dne 24.8.2016 na NOK 1 lze vyvodit následující:

Zatěžovací stav ZS232 byl neúčinnější zatěžovací stav. Zatěžovací stavy ZS221B a ZS242 byly zhruba stejně účinné, vlaky při nich začali brzdit ze stejné rychlosti (100km) a lze tvrdit i to, že zastavily stejně daleko od opěr. Z toho důvodu budou tyto stavy zadány jako zatěžovací stavy do numerického modelu. Oproti předpokladu zatěžovací stavy ZS251 a ZS251A, kdy byla zatěžovací souprava tvořena jen dvěma lokomotivami Taurus, nebyly účinnější. Z průběhu sil v kolejnicích a SŘDM lze říci, že rozjezdové síly vyvolaly větší odezvu než síly brzdné.

Po zastavení vlaků je zřejmé přerozdělení sil v kolejnicích a kotevních tyčích. Hodnotu normálových sil v klidovém stavu lze považovat za statický účinek zatěžovacího vlaku. Z průběhu normálových sil lze určit, jakou míru brzdných zatížení přenáší. K výrazně větší změně normálové síly dochází po zastavení v kotevní tyči TN1 při brzdění v obou směrech. Hodnota změny normálové síly do klidového stavu je kolem 30-35kN při brzdění ve směru Břeclav – Hohenau. Při brzdění z druhého směru je to kolem 20kN. U kotevní tyče TN5 na straně Břeclav dojde k přerozdělení jen do 5kN normálové síly při brzdění ve směru Břeclav – Hohenau. Při brzdění z druhého směru přebírá kotevní tyč TN5 do 20kN z brzdné síly vlaku. Z celkových 300kN brzdné síly, která je vyvolána zatěžovacím vlakem, je přeneseno jen kolem do 45kN (15%) systémem SŘDM. Zbytek sil je přenášen kolejnicemi a ložisky. Lze konstatovat, že kotevní tyč TN1 lépe přenáší brzdné síly. Kotevní tyč TN5 reaguje spíše na účinky statické. Normálové namáhání kotevních tyčí je větší od statického účinku než od brzdných sil. Oproti teoretickému předpokladu nebylo dosaženo stejného namáhání v kotevních tyčích při brzdění. To je nejspíše způsobeno třením, které vzniká v sedlech příčníků. Na tření v sedlech příčníků ukazují i velmi rozdílné normálové síly na obou koncích řídicí tyče.

Po odjetí zatěžovacího vlaku jsou patrné zbytkové normálové síly v kolejnicích a SŘDM. Také byly patrné reziduální posuny SŘDM, kolejnice a mostu.

7 Numerický model



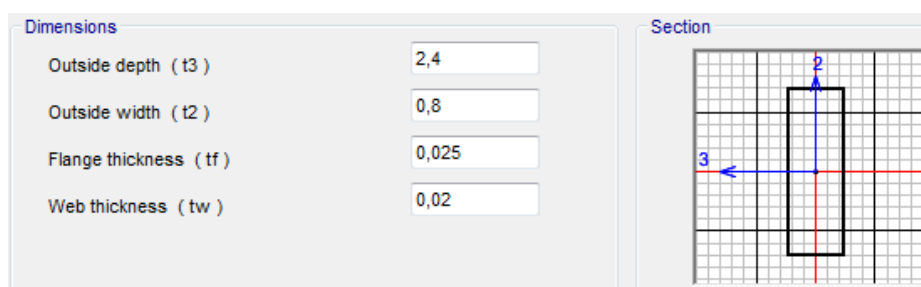
Obrázek 116: Prutové zobrazení mostu Oskar

Nelineární model mostu OSKAR byl vytvořen v americkém programu CSI Bridge 2016. Model se především zaměřuje na interakci bezстыkové koleje a mostu a chování SŘDM při zatížení od brzdných a rozjezdových sil od zatěžovacího vlaku, který byl použit při zatěžovací brzdě zkoušce ve dne 24.8. 2016 na NOK1. Všechny prvky modelu, včetně mostovky, byly vymodelovány prutovými prvky. Bezстыková kolej byla k mostní konstrukci připojena pomocí linků s pružnoplastickými průběhy zatěžovací větve. Mostní ložiska byla modelována nelineárními linky tak, abychom přibližně vystihly jejich skutečné chování.

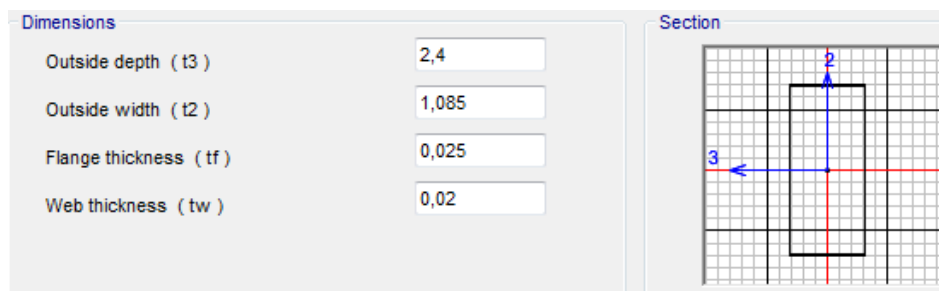
Pozn. Základní geometrie, průřezy hlavního nosníku a průřezy SŘDM byly přejaty z modelu mostu, který vytvořily: Angela Damato a Frederica Paglia. S předáním modelu souhlasil Doc. Ryjáček. Nejedná se o duplikát.

7.1 Nosná konstrukce

Trámy

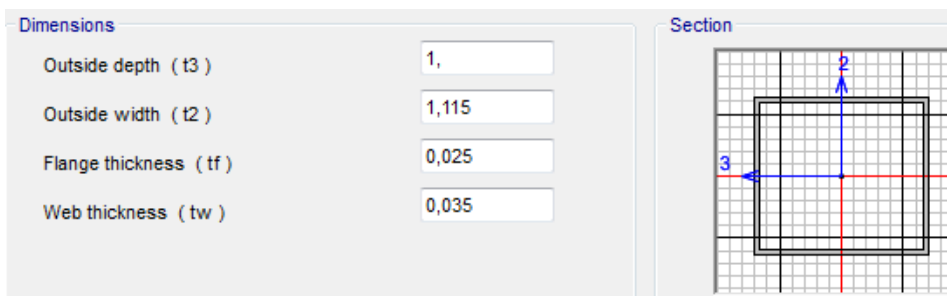


Obrázek 117: Příčný řez vnitřního trámu

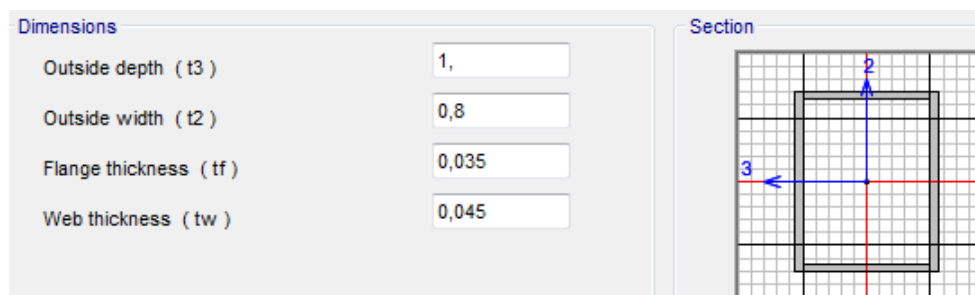


Obrázek 118: Příčný řez vnějšího trámu

Oblouky



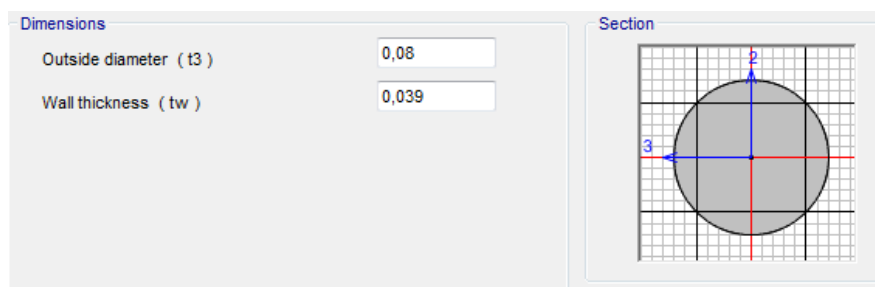
Obrázek 119: Příčný řez vnitřního oblouku



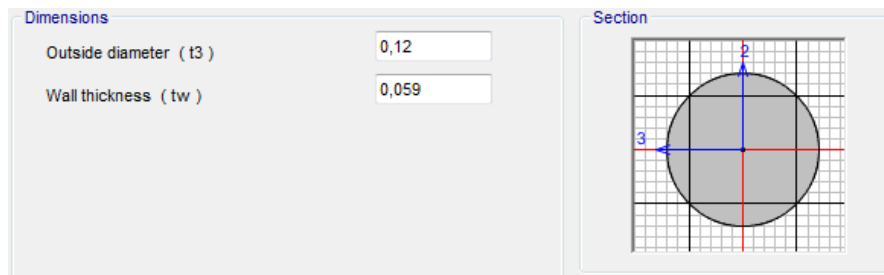
Obrázek 120: Příčný řez vnějšího oblouku

Táhla oblouků

Táhla oblouků jsou vymodelovány pruty o průměru 80mm a 120mm. V krajních částech mostu jsou použita táhla o průměru 120mm. Materiál táhel je ocel S460.



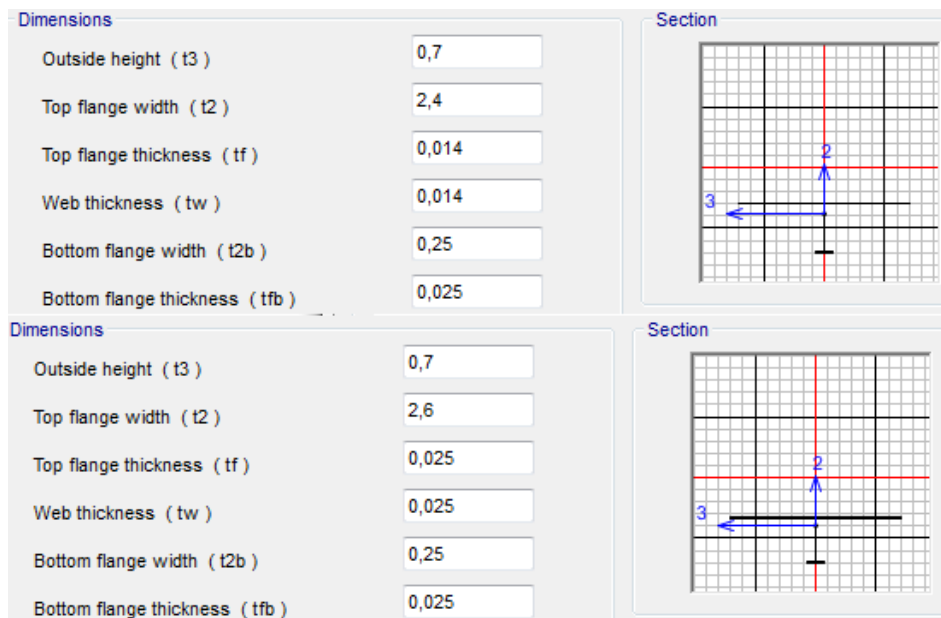
Obrázek 121: Příčný řez táhel v poli



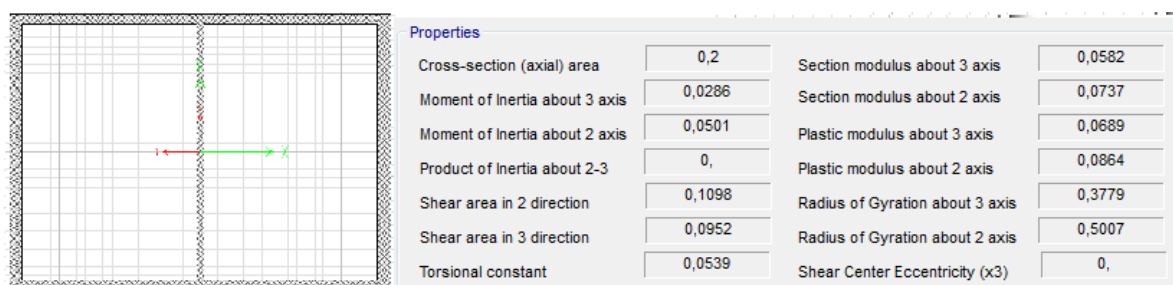
Obrázek 122: Příčný řez táhel v krajních částech mostu

Příčníky

V modelu byly použity celkem 3 druhy příčníků: příčníky v poli, příčníky v krajních částech mostu a koncové příčníky. Příčníky v poli a příčníky v krajních částech mostu byly modelovány pomocí T průřezu. Horní pásnice T průřezu reprezentuje plech mostovky. Koncové příčníky byly modelovány jako obdélník se třemi stěnami.



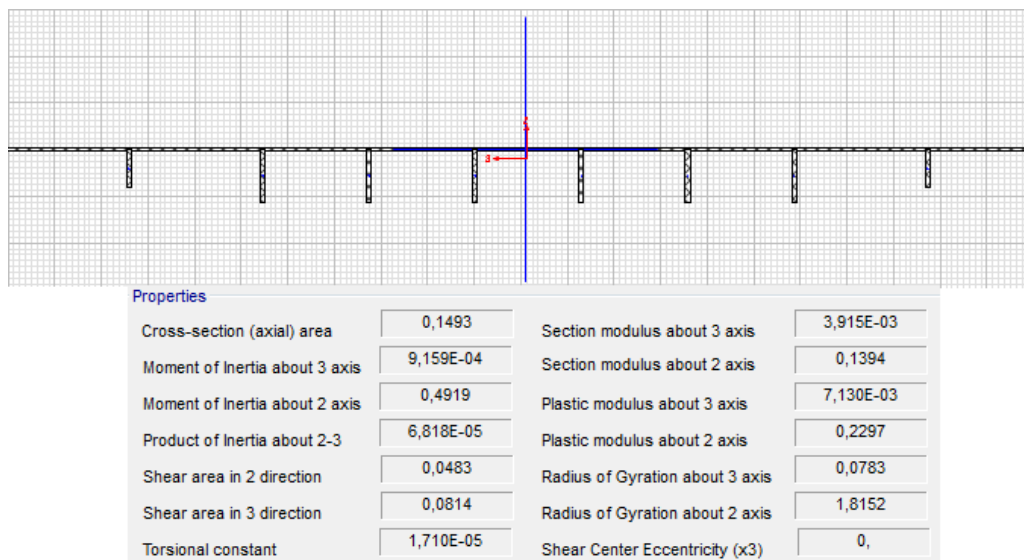
Obrázek 123: Nahoře: rozměry příčníku v poli, dole: rozměry příčníku v krajních částech mostu



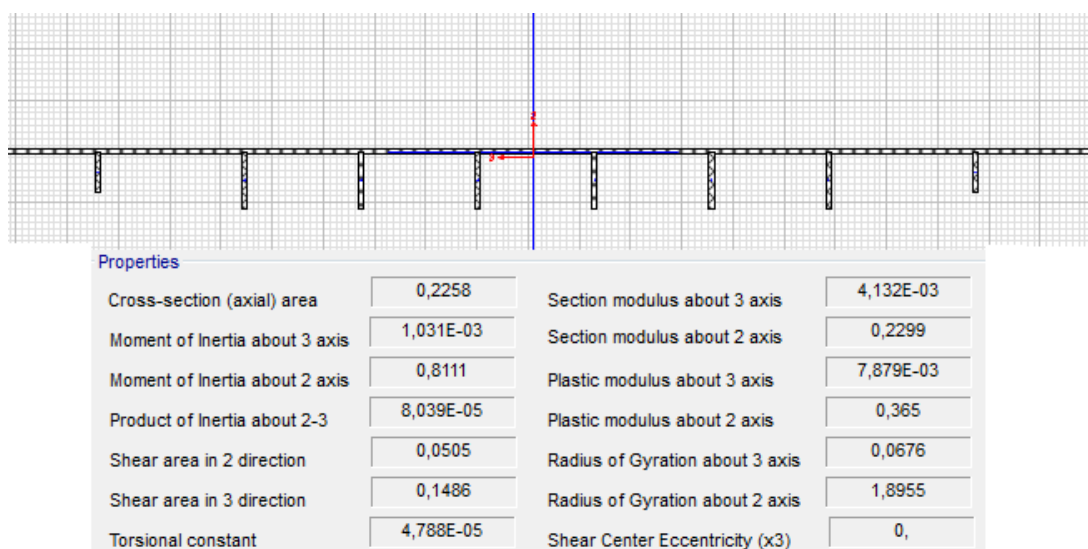
Obrázek 124: Tvar koncového příčníku a jeho průřezové charakteristiky

Mostovka

Mostovka byla reprezentována prutem, který má přibližně stejné průřezové charakteristiky, jako má plech mostovky s podélnými výztuhami. Plech mostovky byl modelován přímý, bez lomů. V modelu byly rozlišeny průřezové charakteristiky mostovky v poli a v krajních částech.



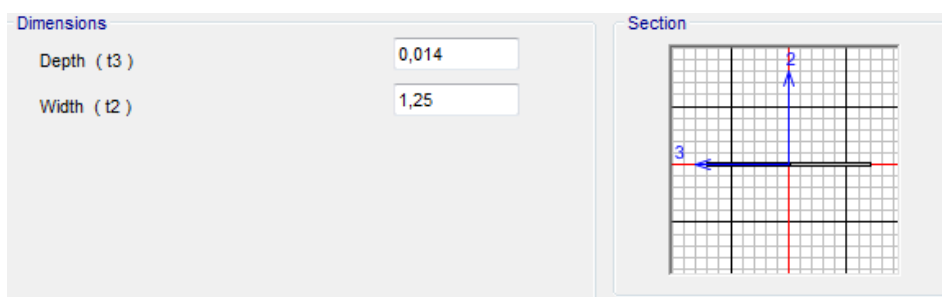
Obrázek 125: Prut, reprezentující mostovku v poli



Obrázek 126: Prut, reprezentující mostovku v koncových oblastech

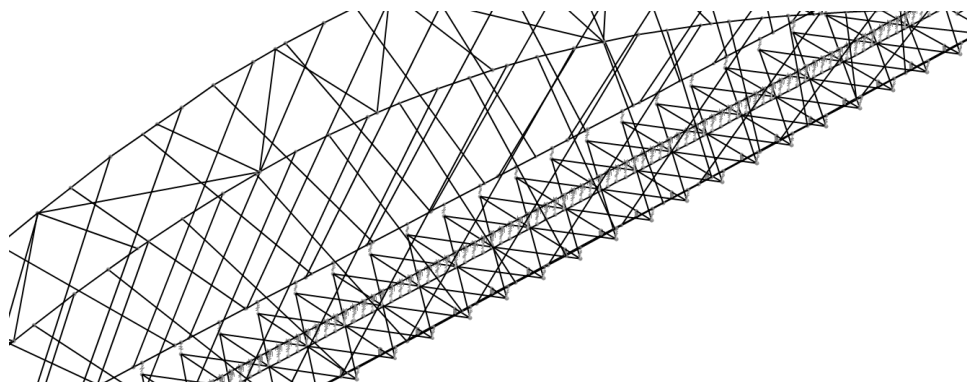
Ztužení

Ztužení bylo reprezentováno prutem s obdélníkovým průřezem o šířce 1m a tloušťky 14mm.

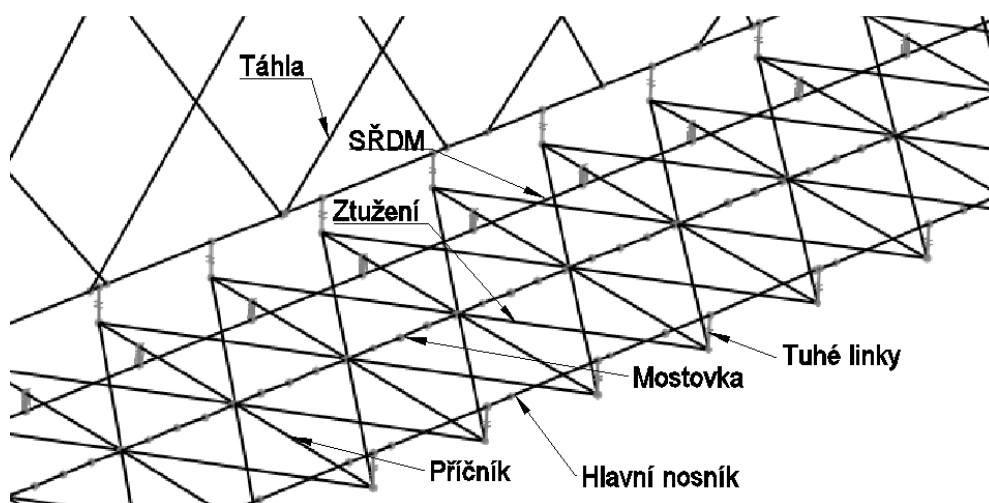


Obrázek 127: Ztužení mostovky

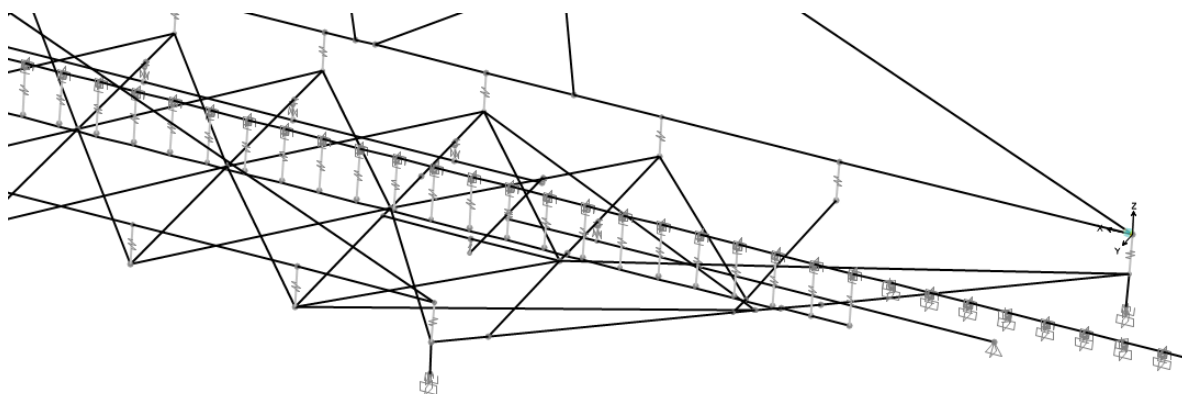
Jednotlivé pruty byly propojeny tuhými vazbami tak, aby byly respektovány excentricity jejich umístění a aby bylo dosaženo pokud možno skutečného chování konstrukce.



Obrázek 128: Nosná konstrukce



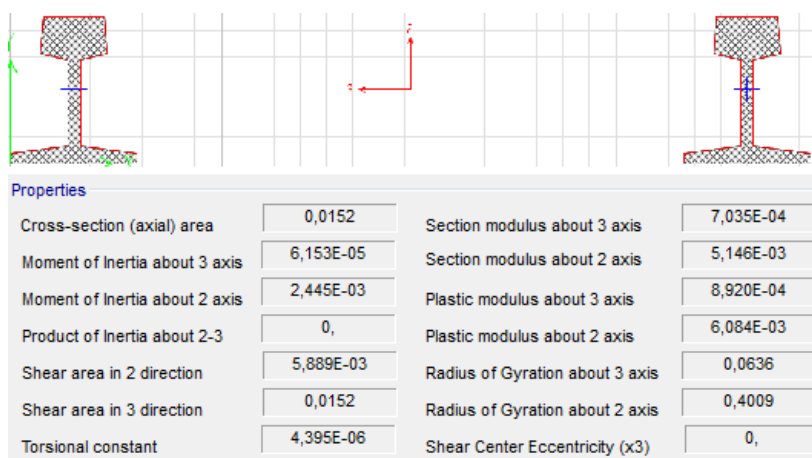
Obrázek 129: Pohled na model mostovky



Obrázek 130: Koncová oblast mostu

7.2 Kolej a kolejové lože

Kolej byla modelována 100 metrů před a 100 metrů za mostem. Byla reprezentována prutem, který je tvořen dvěma kolejnicemi UIC60 s rozchodem 800mm. Tento atypický rozchod má vystihnout skutečné chování koleje v příčném směru. Kolej byla modelována pouze jedním prutem, neboť po předchozích zkušenostech, kdy byla modelována každá kolejnice zvlášť, trval výpočet velmi dlouhou dobu.



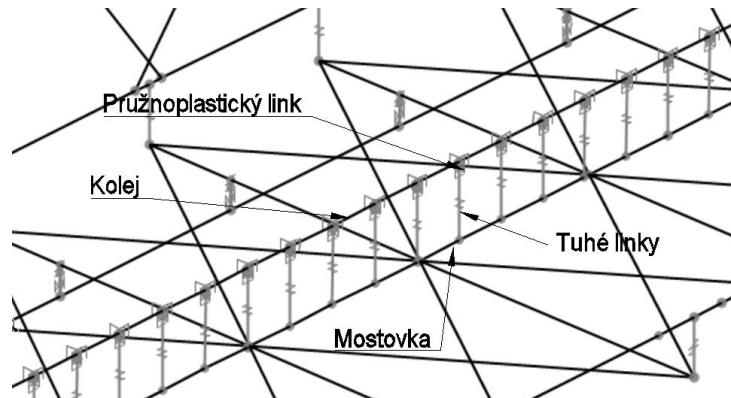
Obrázek 131: Prut reprezentující kolej a jeho průřezové charakteristiky

Kolejové lože bylo modelováno pomocí pružno-plastických linků, které mají vystihnout jeho skutečné chování v zatíženém i nezatíženém stavu. Tyto linky reprezentují tuhost kolejového lože v trati, v oblastech kolem opěr a na mostě. Vzdálenost linků je 0,6m, což je skutečná vzdálenost pražců.

Zatížený stav byl modelován tak, že k tuhosti nezatíženého linku $k_{\text{nezatížený}}$ se při přejezdu nápravy přidala tuhost zatíženého linku $k_{\text{přidaný}}$, jehož tuhost je rozdíl tuhosti kolejového lože v zatíženém a nezatíženém stavu.

$$k_{\text{přidaný}} = k_{\text{zatížený}} - k_{\text{nezatížený}}$$

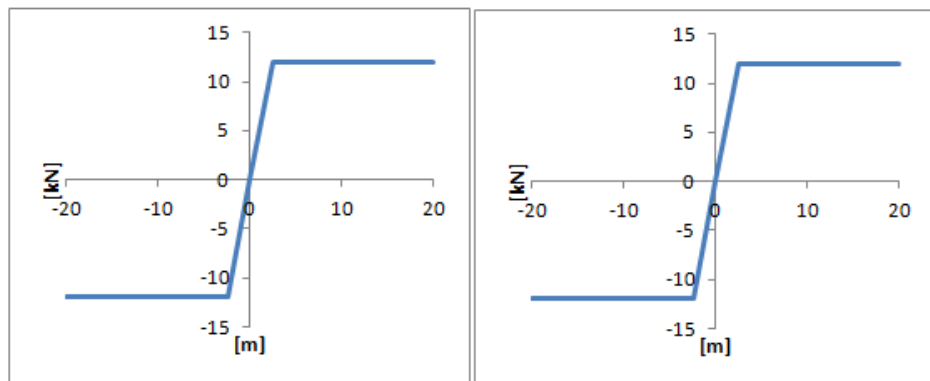
Pružno-plastické linky jsou k mostovce připojeny pomocí tuhých linků.



Obrázek 132: Způsob upevnění koleje k mostovce

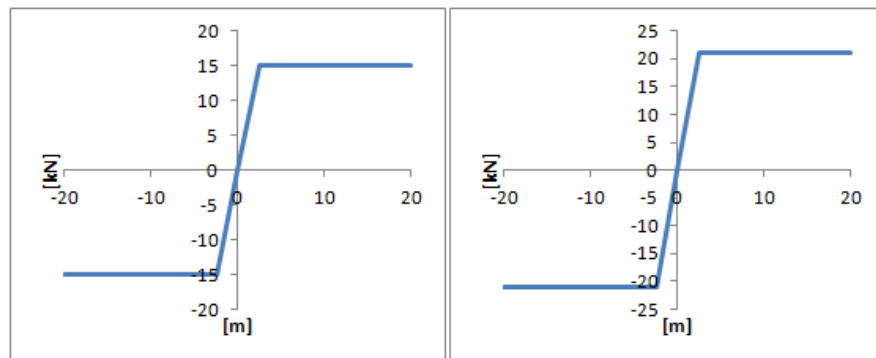
Vodorovná a příčná tuhost kolejového lože:

Trat': nezatížená: $u_{lim} = 2,5 \text{ mm}$, $r_o = 12 \text{ kN/m}$ na pražec
 zatížená: $u_{lim} = 2,5 \text{ mm}$, $r_o = 24 \text{ kN/m}$ na pražec



Obrázek 133: Tuhost linků zadaných linků do modelu – TRAT': Vlevo: nezatížený, vpravo: zatížený

Most: nezatížená: $u_{lim} = 2,5 \text{ mm}$, $r_o = 15 \text{ kN/m}$ na pražec
 zatížená: $u_{lim} = 2,5 \text{ mm}$, $r_o = 36 \text{ kN/m}$ na pražec



Obrázek 134: Tuhost linků zadaných linků do modelu – MOST: Vlevo: nezatížený, vpravo: zatížený

	Kvalita podloží			
	Velmi špatná	špatná	standardní	tuhé podloží
Spojité svislá tuhost kolejové jízdní dráhy k_z [10^6 N.m^{-2}]	5	10	25	40

Tabulka 6: Svislá tuhost kolejového lože v závislosti na kvalitě podloží [9]

Svislá tuhost (pro standardně udržovanou trať)

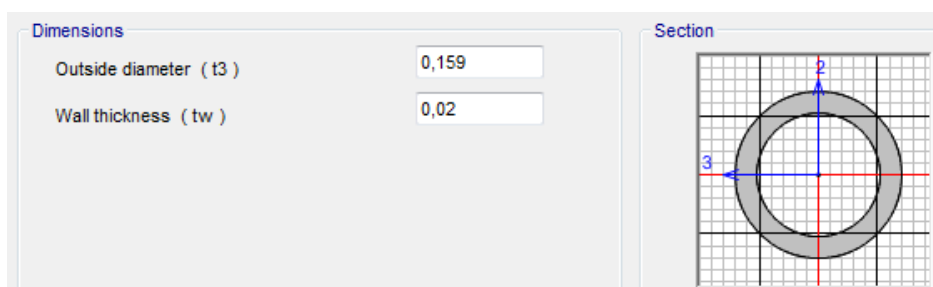
V trati: $k^- = 15 \text{ MN/m}$ na pražec
 $k^+ = 5,76 \text{ kN/m}$ na pražec

Na mostě: $k^- = 15 \text{ MN/m}$ na pražec
 $k^+ = 5,76 \text{ kN/m}$ na pražec

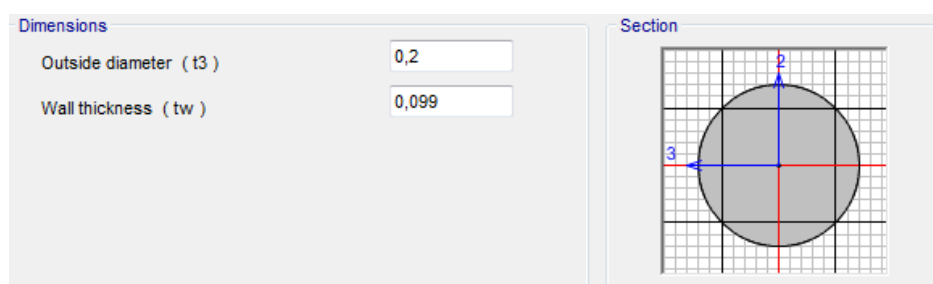
7.3 SŘDM

Systém řízení dilatace mostu byl vymodelován pomocí prutových prvků a linků reprezentujícími kloubové spoje. Tření bylo zohledněno plastickými linky.

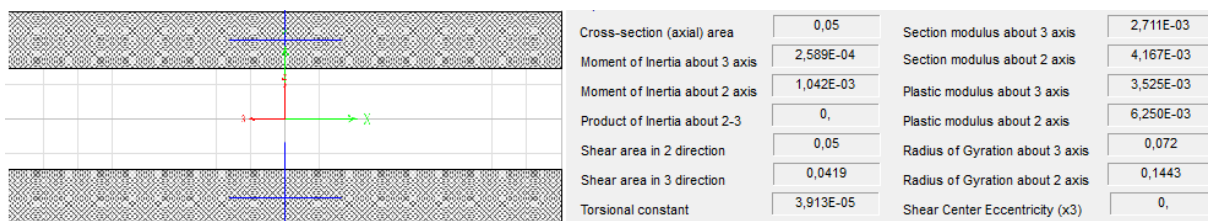
Průřezy:



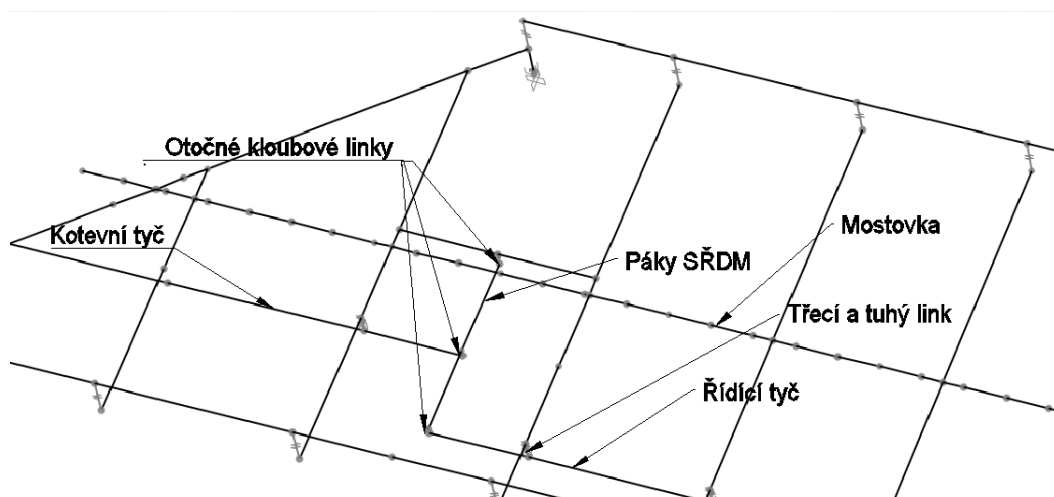
Obrázek 135: Příčný řez řídicí tyče



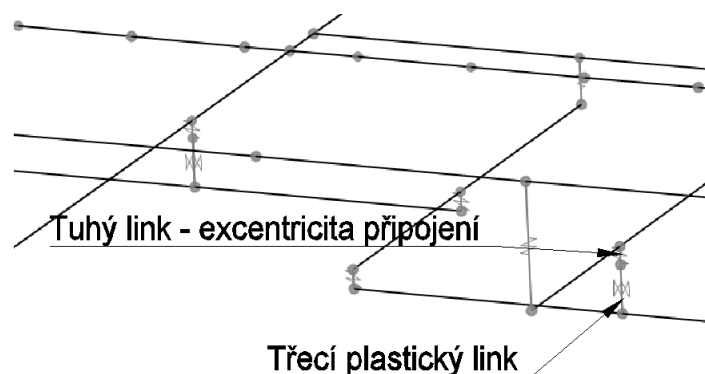
Obrázek 136: Příčný řez kotevní tyče



Obrázek 137: Příčný řez pákami SŘDM a jejich průřezové charakteristiky



Obrázek 138: Model SŘDM



Obrázek 139: Způsob propojení řídicí tyče a příčnicku

7.3.1 Tření SŘDM

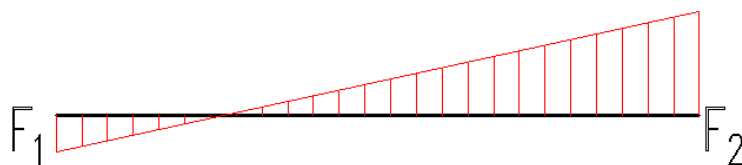
Tření řídicí i kotevní tyče bylo modelováno nelineárními linky, u kterých dojde k tečení po překročení třecí síly v sedlech. Třecí síla v sedlech F_t byla stanovena podle:

$$F_t = (|F_1| + |F_2|)/n, [\text{kN}]$$

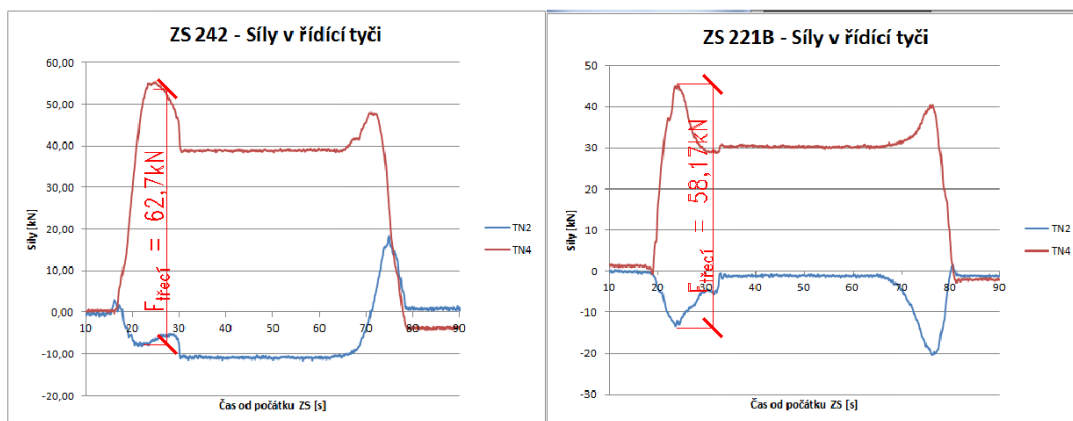
F_1 – normálová síla na levém konci řídicí tyče [kN],

F_2 – normálová síla na pravém konci řídicí tyče [kN],

n – počet sedel řídící tyče [-].



Obrázek 140: Průběh normálové síly v řídící tyči od tření v sedlech



Obrázek 141: Rozdíly normálové síly v řídící tyči od ZS 242 a ZS 221B

$$F_{t,ZS242} = 62,7 / 36 = 1,72 \text{ kN}$$

$$F_{t,ZS221B} = 58,17 / 36 = 1,62 \text{ kN}$$

$$\text{Průměrná třecí síla } F_{t,S\check{R}DM} = (1,72 + 1,62) / 2 = 1,68 \text{ kN}$$

Třecí síla byla pro oba směry pohybu vlaku stanovena: $F_{t,S\check{R}DM} = 1,68 \text{ kN}$. Hodnota třecí síly je vyšší, než by se očekávalo. Po aplikaci této síly do třecích linků se průběh sil v SŘDM a v koleji začal více přibližovat hodnotám, které byly stanoveny experimentem.

7.4 Ložiska

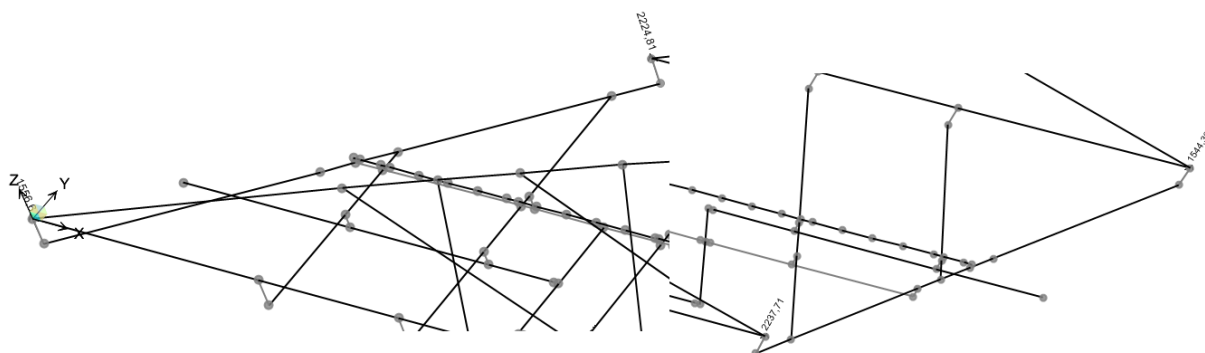
Ložiska byla modelována pomocí pružnoplastických linků, u kterých docházelo při posunu o 0,01mm k dosažení třecí síly a následnému tečení. K hlavnímu nosníku byla připojena pomocí prutů, které mají stejné průřezové charakteristiky jako trámy hlavního nosníku. Délka těchto prutů je polovina výšky trámů.

Třecí síla byla stanovena jako součin tíhy mostu F_{most} a součinitele tření ložiska μ .

$$F_{\text{třecí}} = F_{\text{most}} \cdot \mu$$

V případě mostu Oskar, který se vyznačuje výraznou šikmostí, byla stanovena hodnota třecí síly zvlášť pro ložiska v ostrých rozích a pro ložiska v tupých rozích. Tíha

mostu byla spočtena jako součet tíhy nosné konstrukce, tíhy kolejového lože, tíhy balastu a tíhy zatěžovacího vlaku.



Obrázek 142: Reakce od tíhy nosné konstrukce

Z obrázku 23 jsou patrné rozdílné síly, které se přenášejí do ložisek v tupých a ostrých rozích. 41% svislých sil se přenese do ostrých ložisek, 59% se přenese do tupých ložisek. Stejným poměrem byla rozdělena tíha od balastu a od kolejového roštu. Tíha zatěžovacího vlaku byla do ložisek rozdělena rovnoměrně.

Liniové zatížení na mostní konstrukci od kolejového roštu					
	m.j.	poč. m.j.	hmotnost 1 m.j.	hmotnost celkem (t)	hmotnost na 1 bm (t)
Kolejnice UIC 60	m	97,4	120	11,688	0,120
Pražec výhybkový - podkladnicové upevnění vč. Vystrojení	ks	36	442,16	15,91776	0,796
Pražec B 915 - bezpodkladnicové upevnění vč. Vystrojení	ks	131	311	40,741	0,526
Zatížení na mostě:				gk1=	9,16 kN/mb
				gk2=	6,46 kN/mb
Hmotnost na mostě celkem				68,3468	t

Tabulka 7: Zatížení mostu od kolejového roštu. [7]

	objem všech komor (m ³)	celkem naplněno (m ³)	celkem naplněno (t)
vnitřní trám	40,850	39,130	66,674
vnější trám	47,990	39,839	67,727
celkem	88,840	78,969	134,401
rozdíl mezi trámy (t)	7,140	7,230	1,053
vyplnění (%)	88,89%		

Tabulka 8: Zatížení mostu od tíhy balastu. [7]

Součinitel tření μ se stanoví podle tabulky:

Kontaktní tlakové napětí σ_p (MPa)	≤ 5	10	20	≥ 30
PTFE s mazacími kapsami/austenitická ocel nebo tvrdé pochromování	0,053	0,04	0,027	0,02
PTFE s mazacími kapsami/anodicky okysličená hliníková slitina	0,08	0,06	0,04	0,03

Mezilehlé hodnoty se získají interpolací podle vzorce

$$\mu = 0,8 \cdot k / (10 + \sigma_p)$$

kde:

$k = 1,0$ pro kontaktní plech z austenitické oceli a tvrdé pochromování

$k = 1,5$ pro kontaktní slitinu hliníku

σ_p = je kontaktní tlakové napětí v PTFE v MPa.

Tabulka 9: Součinitel tření ložiska v závislosti na kontaktním tlakovém napětí. [7]

Stanovení třecí síly v ložiscích:

Tíha kolejového lože: 683 kN

Tíha balastu: 1340 kN

Svislá reakce v ložisku v ostrém rohu: 1560 kN

Svislá reakce v ložisku v tupém rohu: 2240 kN

Tíha zatěžovacího vlaku: 2540 kN

0,41 – poměr přenosu tíhy do ložiska v ostrém rohu

0,59 – poměr přenosu tíhy do ložiska v tupém rohu

Třecí síla v ložiska ostrém rohu:

svislá síla: $F_{\text{ostrý}} = 1560 + 683 \cdot 0,5 \cdot 0,41 + 1340 \cdot 0,5 \cdot 0,41 + 2540 / 4 = 2500 \text{ kN}$

napětí v ložisku: $\sigma_{\text{ostrý}} = 2500 / \pi \cdot 0,650/4 = 7,5 \text{ MPa}$

součinitel tření: $\mu_{\text{ostrý}} = 0,8 \cdot 1 / (10 + 7,5) = 0,046$

třecí síla: $F_{\text{třecí}} = 2500 \cdot 0,046 = 115 \text{ kN}$

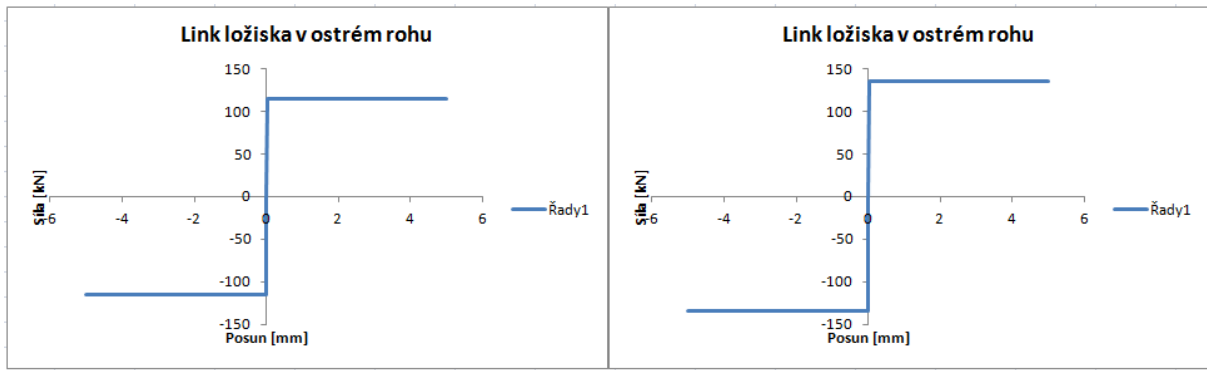
Třecí síla v ložiska tupém rohu:

svislá síla: $F_{\text{ostrý}} = 2240 + 683 \cdot 0,5 \cdot 0,59 + 1340 \cdot 0,5 \cdot 0,59 + 2540 / 4 = 3350 \text{ kN}$

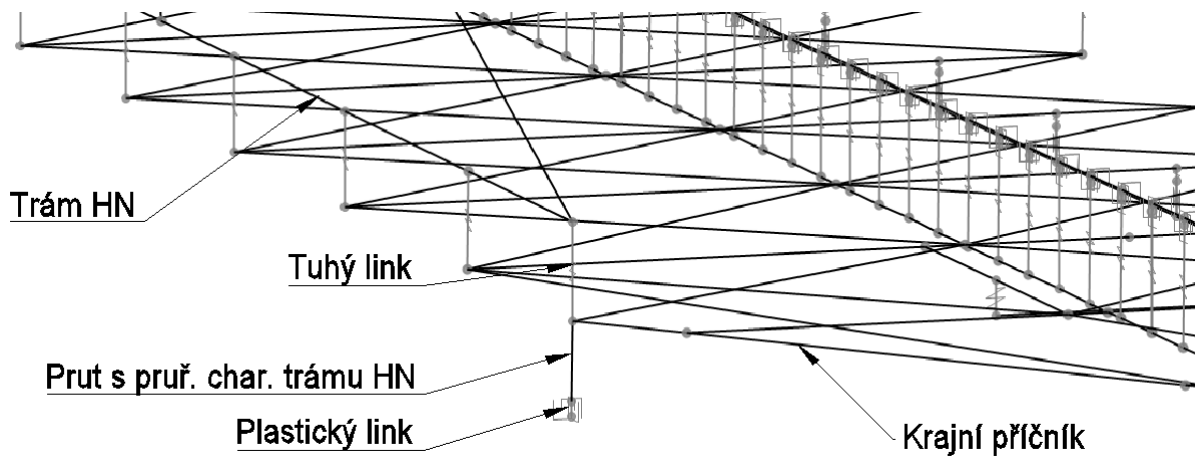
napětí v ložisku: $\sigma_{\text{ostrý}} = 3350 / \pi \cdot 0,650/4 = 10,0 \text{ MPa}$

součinitel tření: $\mu_{\text{ostrý}} = 0,8 \cdot 1 / (10 + 10,0) = 0,040$

třecí síla: $F_{\text{třecí}} = 3350 \cdot 0,040 = 135 \text{ kN}$

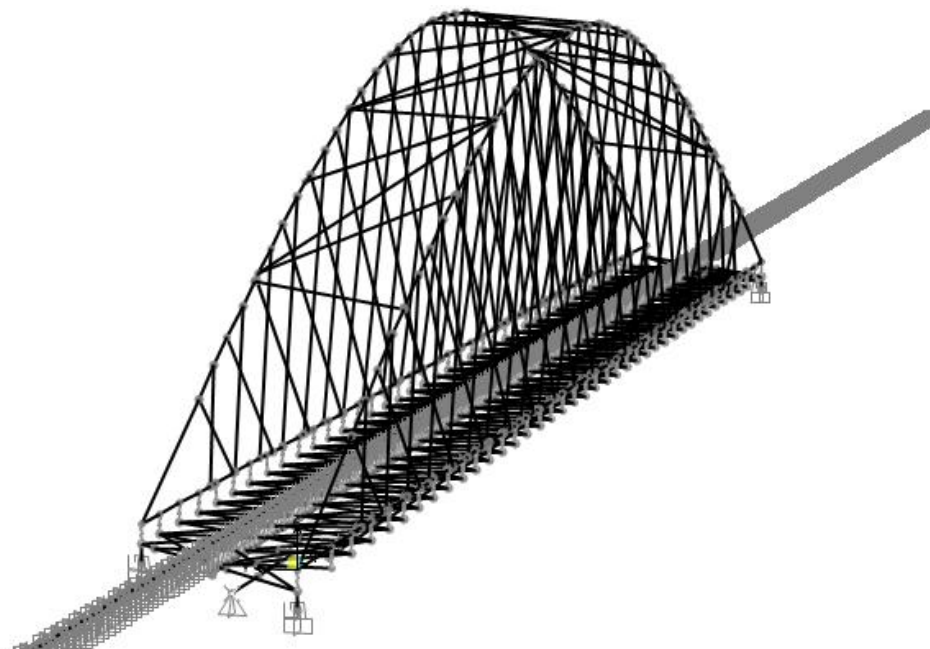


Obrázek 143: Linky obou ložisek

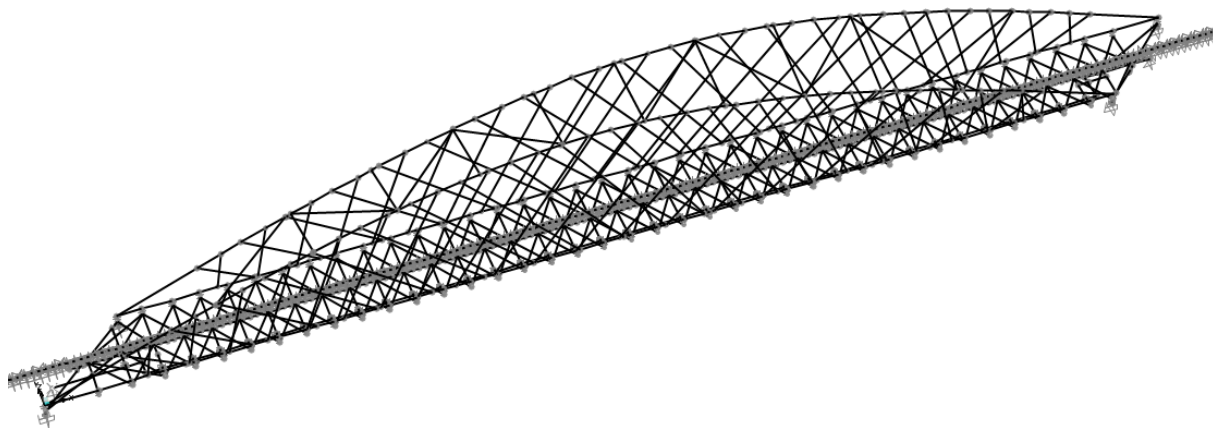


Obrázek 144: Model ložiska

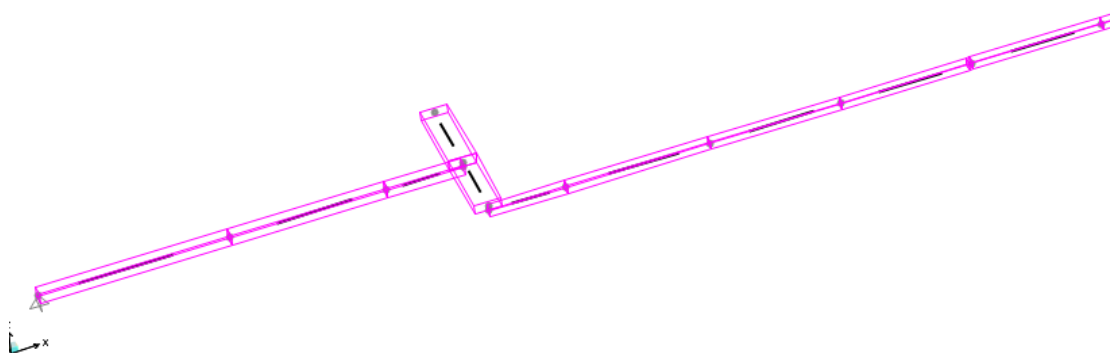
7.5 Zobrazení modelu



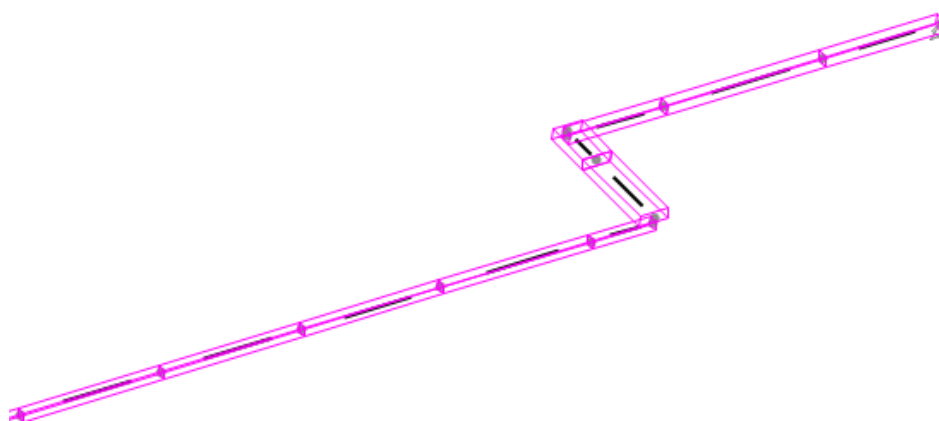
Obrázek 145: Pohled na model ve směru od Hohenau



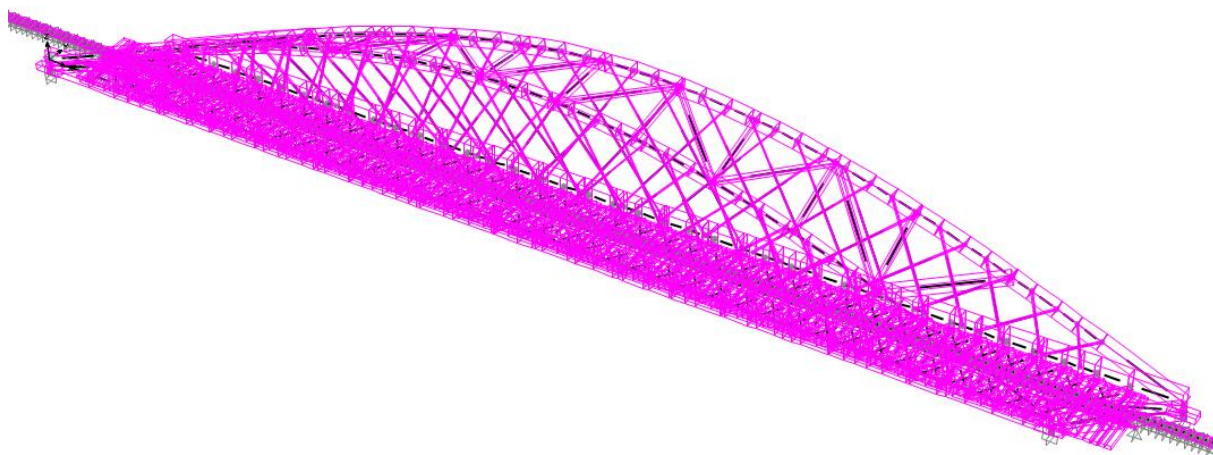
Obrázek 146: Pohled na model ze shora



Obrázek 147: SŘDM na straně Hohenau



Obrázek 148: SŘDM na straně Břeclav

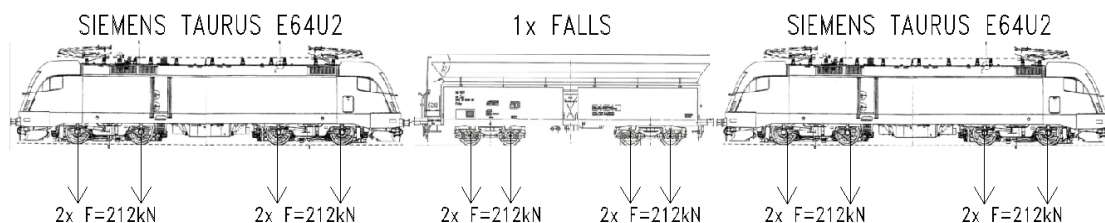


Obrázek 149: Pohled od Břeclavi

7.6 Stanovení zatížení

7.6.1 Svislé zatížení

Svislé zatížení bylo stanoveno tak, že byla spočtena celková tíha vlaku a následně podělena počtem náprav. Vzhledem k tomu, že tíha Taurusu (87t) a tíha Falsu (80t) se příliš neliší, má toto zjednodušení zanedbatelný vliv.



Obrázek 150: Svislé zatížení zadané do modelu

7.6.2 Stanovení brzdných a rozjezdových sil

Hodnota brzdných a rozjezdových sil byla spočtena podle vztahu:

$$F = m_{\text{vlak}} \cdot a_{\text{zs}}$$

m_{vlak} - tíha vlaku [kg]

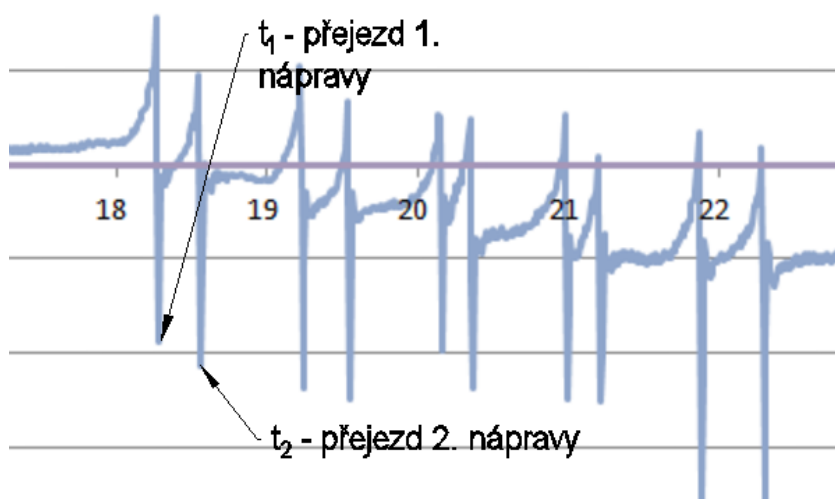
a_{zs} – zpomalení nebo zrychlení zatěžovacího vlaku [m/s^2]

7.6.2.1 Brzdné síly

Rychlost vlaku při přejezdu přes jednotlivé tenzometry byla odečtena z jejich záznamů, tak že byly zaznamenány časy přejezdů prvních dvou náprav přední lokomotivy.

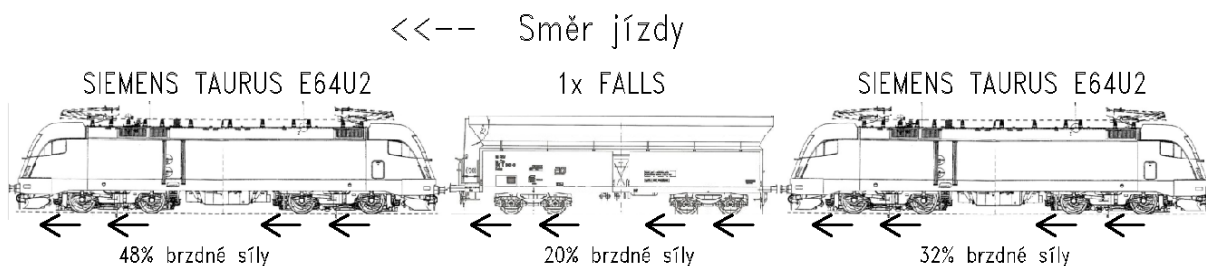
Rychlost se stanovila podělením rozdílu časů přejezdů vzdáleností náprav. Následně byla vytvořena funkce popisující rychlost vlaku v závislosti na čase – funkce $v(t)$. Tato funkce byla popsána parabolou 4° a následně derivována – derivací se získalo zpomalení – funkce $a(t)$. Brzdná síla se následně vyčíslila součinem tíhy vlaku a zpomalením.

Lze namítnout, že zpomalení by se dalo stanovit tak, že bychom spočetli rychlost třetí a čtvrté nápravy, tu pak odečetli od rychlosti první a druhé nápravy a vzniklý rozdíl by se vydělil rozdílem časů přejezdů prvních náprav dvojkolí. Tato metoda je možná, nicméně při příjezdu vlaku k mostu jel vlak rychlostí cca 14m/s. Při této rychlosti přejeđe první dvojkolí tenzometr za necelých 0,3 sekundy. Vzhledem k tomu, že permanentní tenzometry, které se nacházely v předpolí mostu, snímaly záznam s krokem 0,02 sekundy, vznikaly při stanovování zrychlení velké nejistoty. Při pomalejších rychlostech odpovídaly hodnoty zpomalení, které byly stanoveny touto metodou, hodnotám zpomalení získané derivací funkce $v(t)$.



Obrázek 151: Záznam přejezdů náprav přes tenzometr

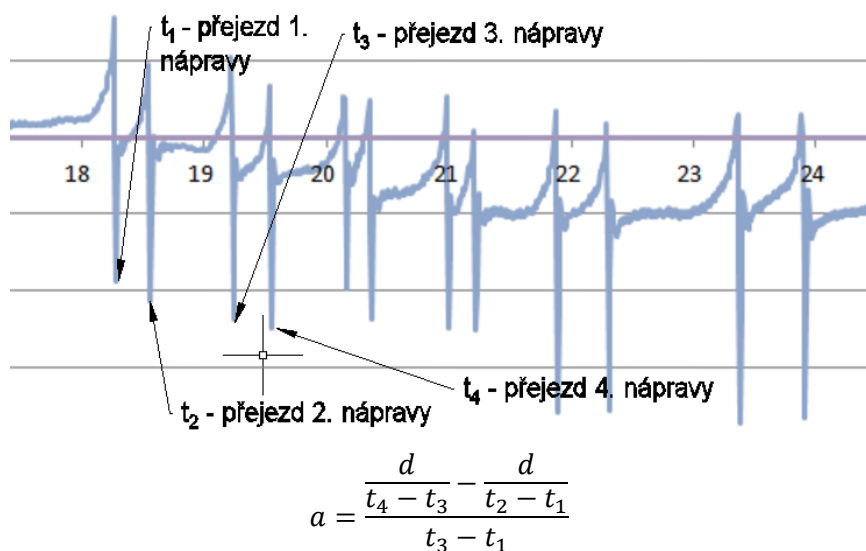
Do modelu byla brzdná síla zadána do jednotlivých náprav tak, že Falls přebíral 20% brzdné síly, čelní lokomotiva 48% brzdné síly a zadní lokomotiva 32% brzdné síly.



Obrázek 152: Rozložení brzdných sil vlakové soupravy zadané do modelu

7.6.2.2 Rozjezdové síly

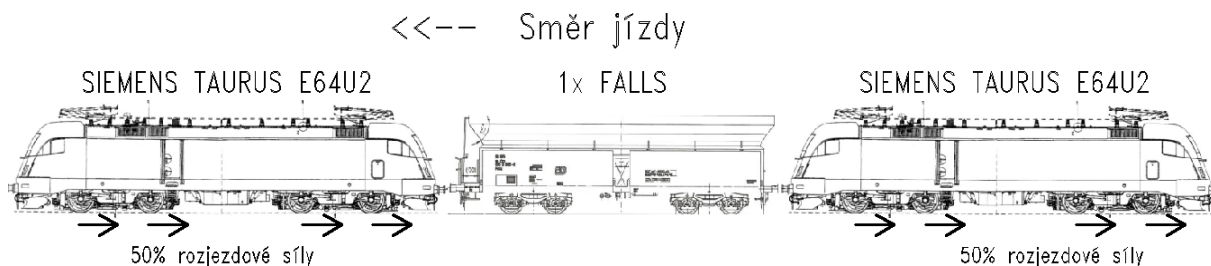
Rozjezdové síly byly stanoveny ze změny rychlostí přejezdů prvního a druhého dvojkolí. Tato metoda byla na rozdíl od stanování brzdných sil výhodnější, neboť vlak se zpočátku rozjížděl přes dočasné tenzometry, které snímaly s krokem 0,01 sekundy. Díky tomu se dalo přesně stanovit zrychlení vlaku a průběh funkce zrychlení $a(t)$. Při přejezdu přes permanentní tenzometry v předpolí mostu vlak již výrazně neměnil rychlost, proto při odečtu zrychlení z těchto tenzometrů nedocházelo k velkým nejistotám.



$t_1 - t_4$ – časy přejezdů náprav přes tenzometr [s]

d - vzdálenost dvojkolí [m]

Do modelu byla rozjezdová síla zadána do jednotlivých náprav tak, že obě lokomotivy měly stejný účinek.



Obrázek 153: Rozložení rozjezdových sil vlakové soupravy zadané do modelu

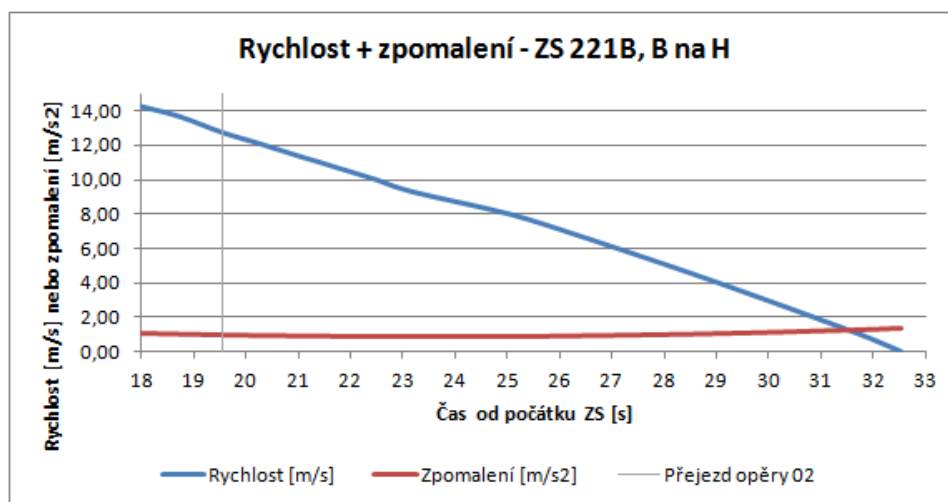
7.7 Zatížení zadané do modelu

Velikost a průběh brzdných a rozjezdových sil, které vyvolaly zatěžovací stavy ZS242 a ZS221B, byly zadány do numerického modelu. Tyto zatěžovací stavy byly vybrány, neboť jejich počáteční rychlost byla 100km/h a vlakovým soupravám se podařilo zastavit téměř ve stejné vzdálenosti od opěr.

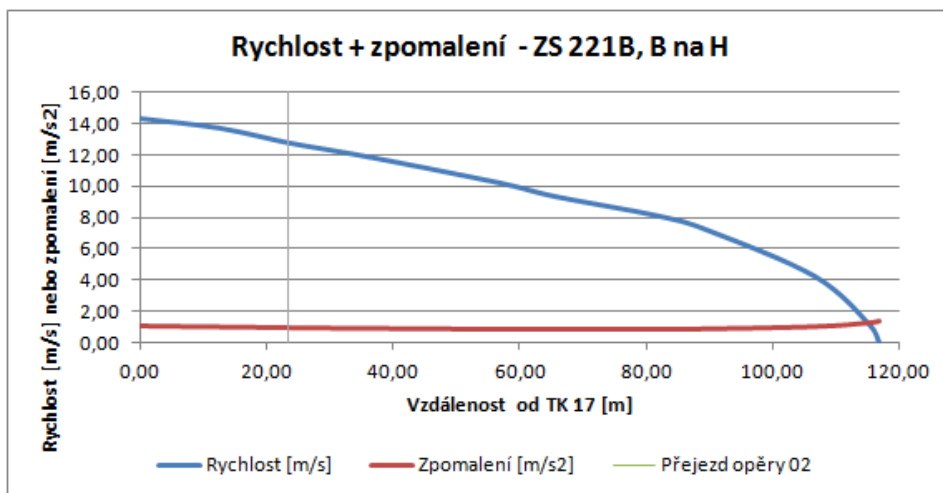
Pro každý zatěžovací stav jsou pro brzdění a rozjezd připraveny tři grafy, na kterých je zobrazená změna rychlosti, zrychlení a brzdné nebo rozjezdové síly při pohybu vlaku. Grafy jsou nepatrně rozvlněné, neboť při stanovování rychlosti a zrychlení docházelo k nepatrným odchýlkám, které byly způsobené délkou snímacího kroku tenzometrů.

7.7.1 ZS 221B

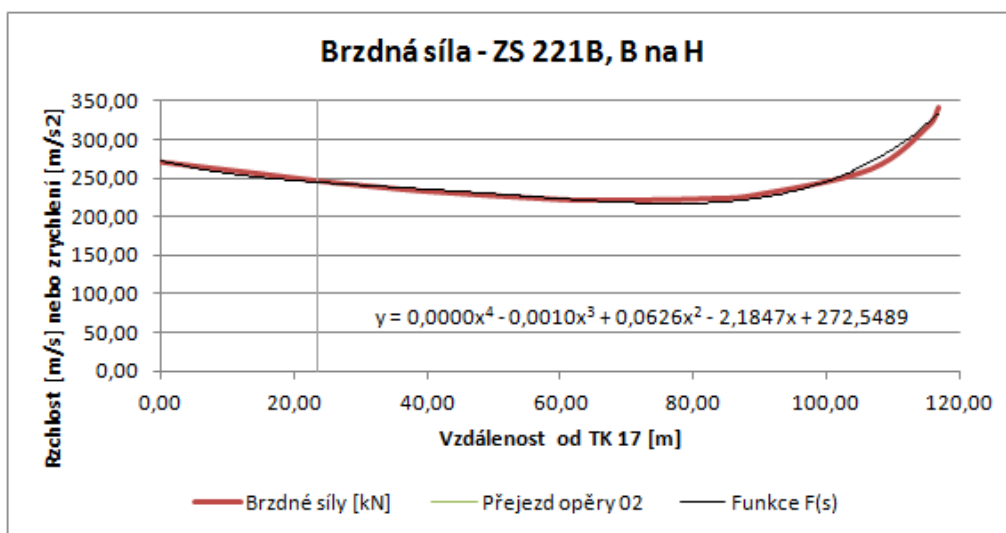
7.7.1.1 ZS 221B - Brzdění



Obrázek 154: ZS221B: rychlost a zpomalení v závislosti na čase

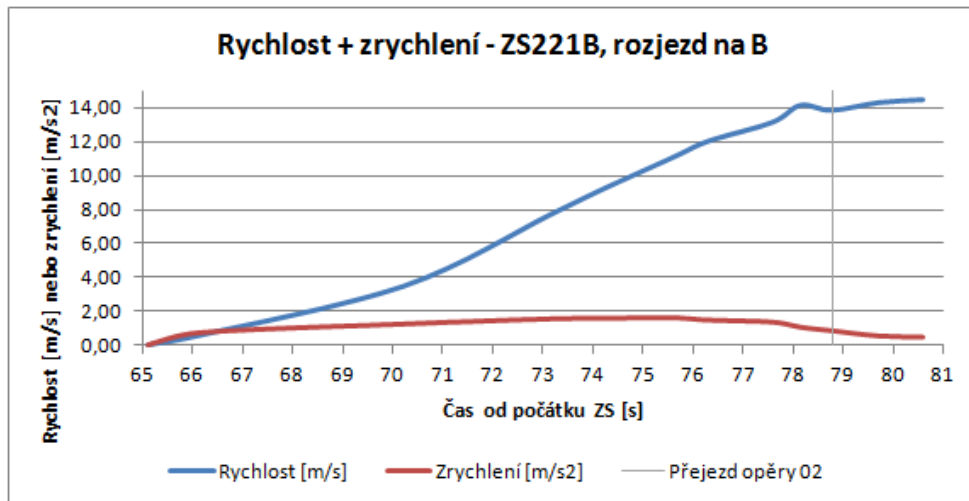


Obrázek 155: ZS 221B: rychlost a zpomalení v závislosti na dráze

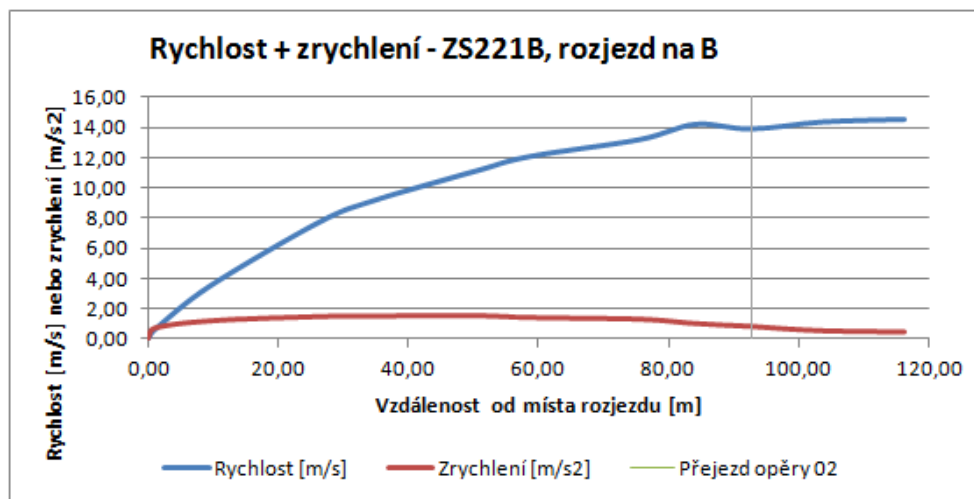


Obrázek 156: : ZS221B: Brzdná síla v závislosti na dráze. Funkce F(s) byla zadána do modelu jako zatěžovací funkce.

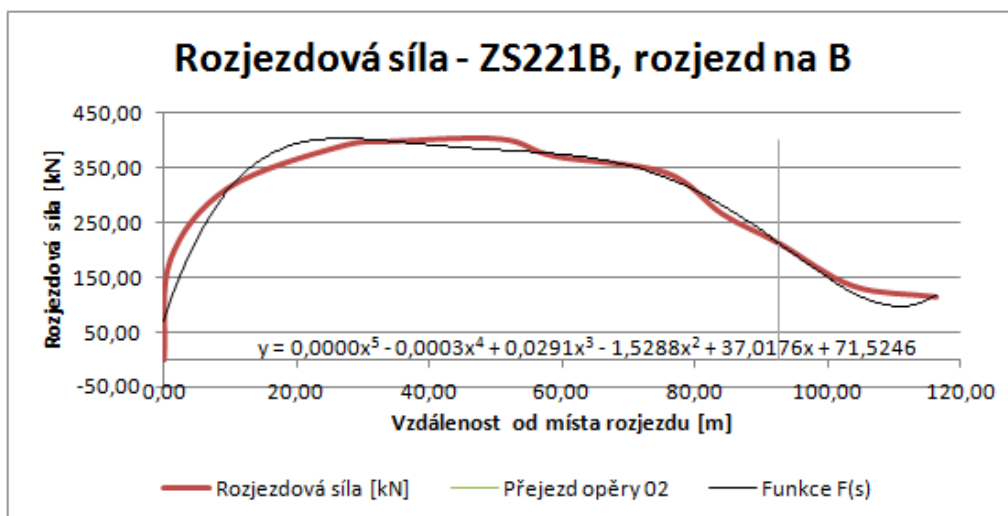
7.7.1.2 ZS 221B - Rozjezd



Obrázek 157: ZS221B: rychlost a zrychlení v závislosti na čase

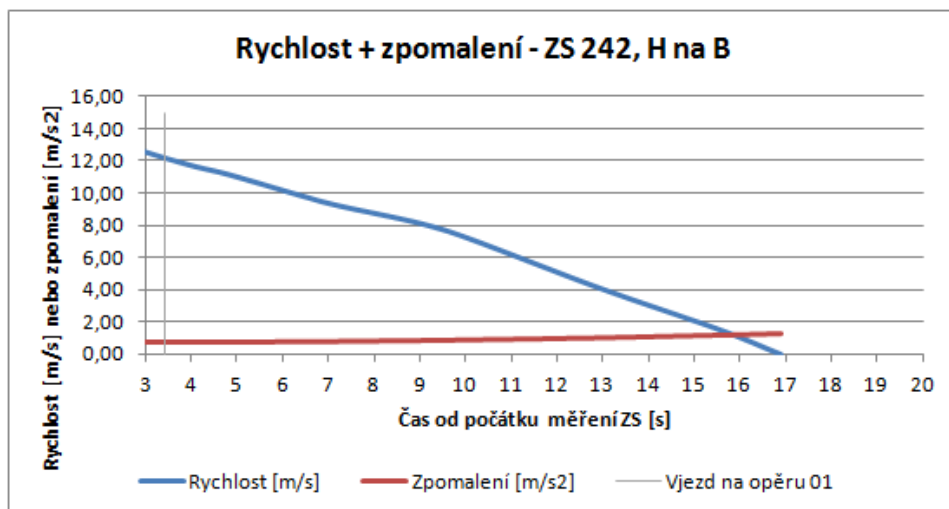


Obrázek 158: ZS221B: rychlost a zrychlení v závislosti na dráze

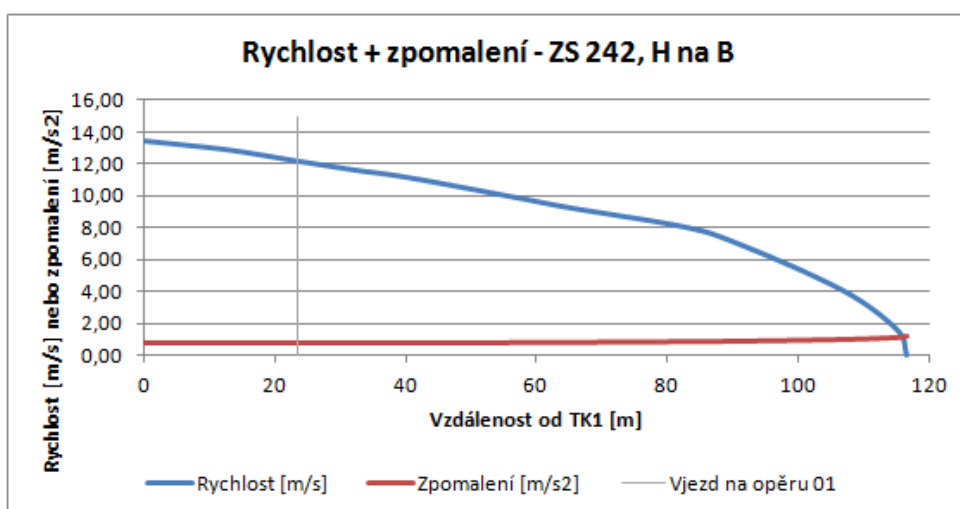


Obrázek 159: Obrázek 87:ZS221B: Brzdná síla v závislosti na dráze. Funkce F(s) byla zadána do modelu jako zatěžovací funkce.

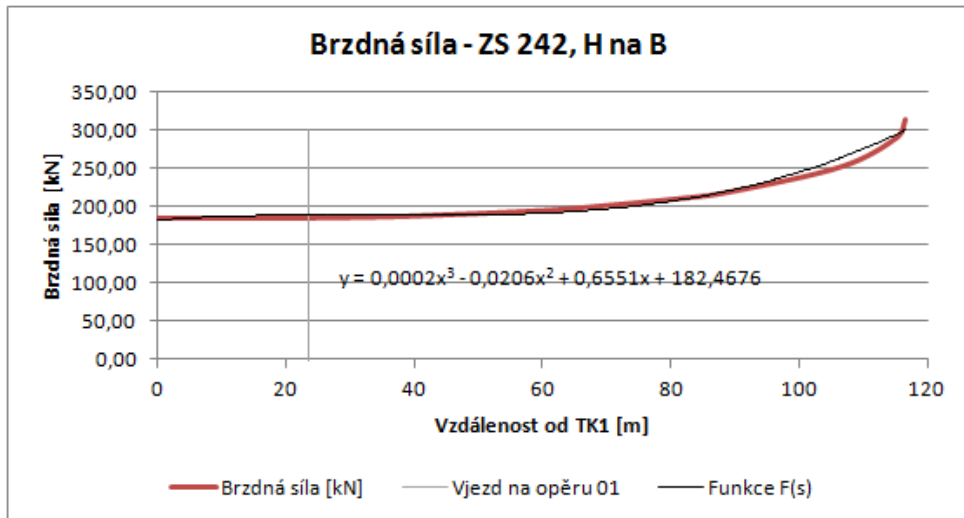
7.7.1.3 ZS 242 - Brzdění



Obrázek 160: ZS 242: Rychlost a zpomalení v závislosti na čase

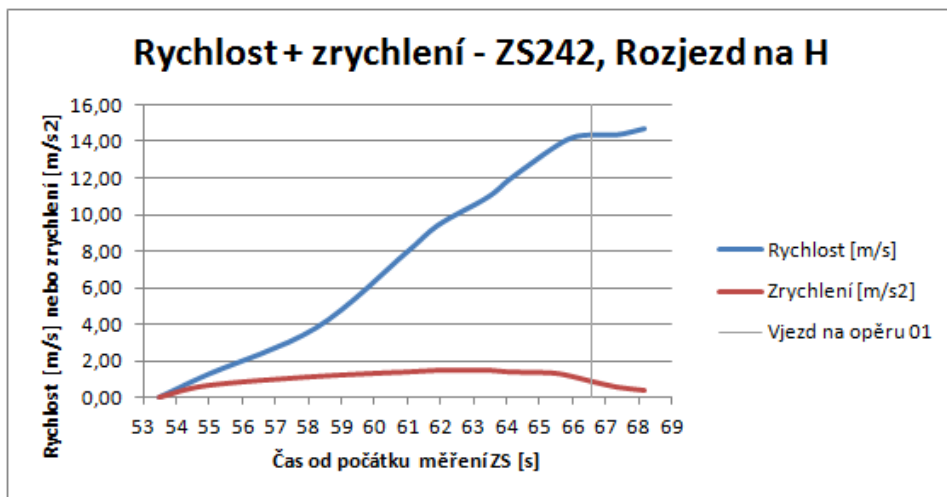


Obrázek 161: ZS242: Rychlost a zpomalení v závislosti na dráze

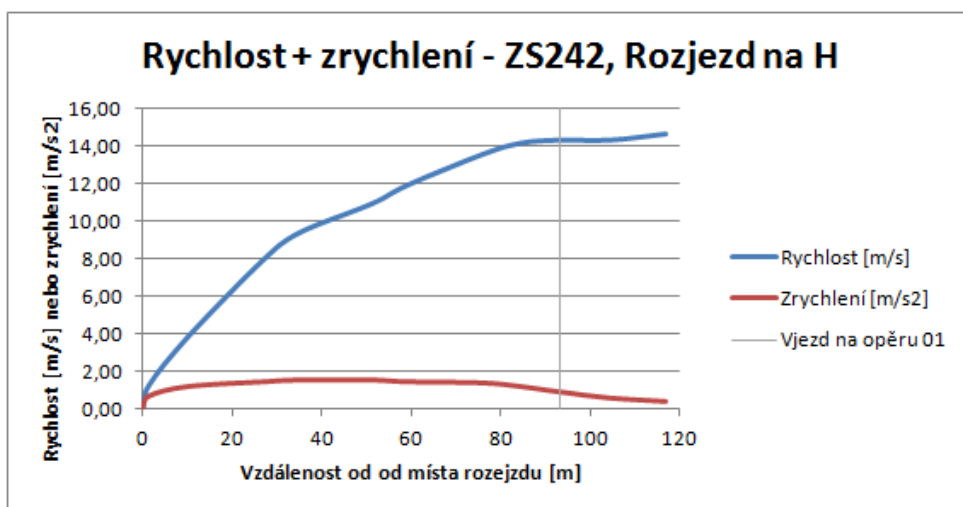


Obrázek 162: ZS242: Brzdná síla v závislosti na dráze. Funkce F(s) byla zadána do modelu jako zatěžovací funkce

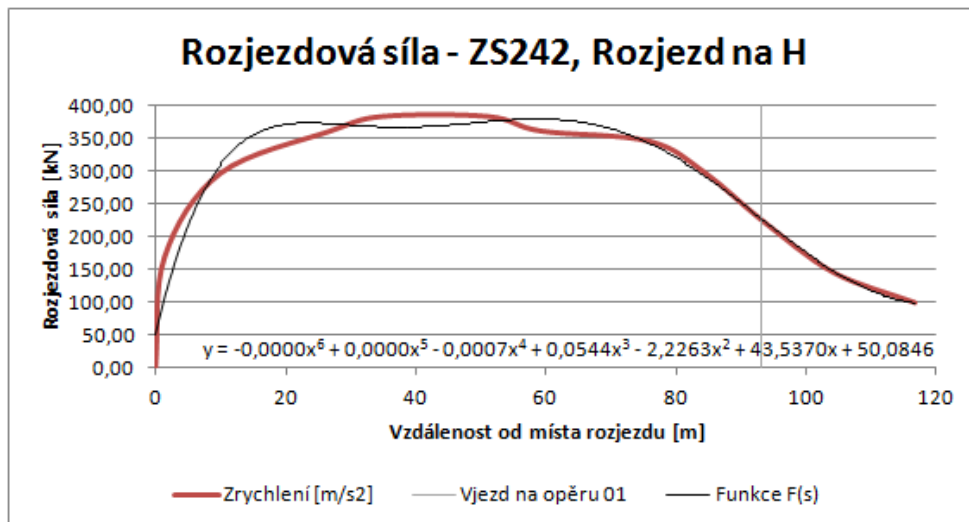
7.7.1.4 ZS 242 - Rozjezd



Obrázek 163: ZS242: Rychlost a zrychlení v závislosti na čase



Obrázek 164: ZS242: Rychlost a zrychlení v závislosti na dráze



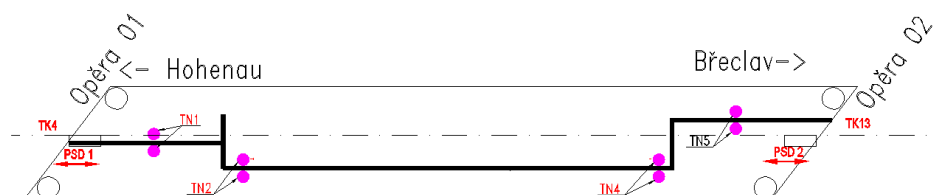
Obrázek 165: ZS242: Rozjezdová síla v závislosti na dráze. Funkce $F(s)$ byla zadána do modelu jako zatěžovací funkce.

8 Validace modelu

8.1 Úvod

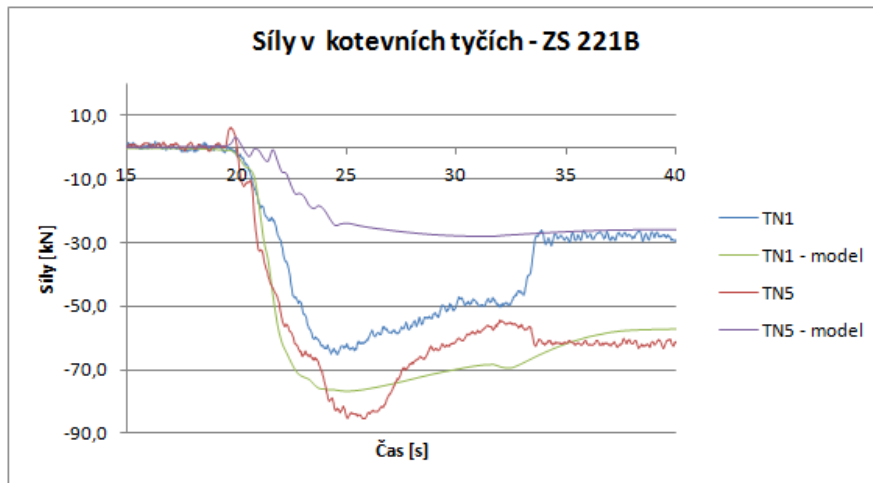
Model byl validován s tuhostí kolejového lože v širé trati $k_{\text{trať}} = 12 \text{ kN/m}$ na pražec a s tuhostí kolejového lože na mostě $k_{\text{most}} = 17 \text{ kN/m}$ na pražec. Hodnoty linků, které reprezentovaly zatížené kolejové lože, byly zvoleny tak, aby součet tuhostí nezatíženého a přidaného linku byl $k_{\text{trať,zat}} = 40 \text{ kN/m}$, na mostě činil součet obou linků $k_{\text{most,zat}} = 60 \text{ kN/m}$. Tuhost přidaných linků měla na konečné výsledky naprosto zanedbatelný vliv. Třecí síla v sedlech SŘDM byla zvolena $F_t = 1,68 \text{ kN}$. Třecí síla v ložiscích v ostrém rohu činila $F_{t,\text{loz,ostrý}} = 115 \text{ kN}$, v tupém rohu měla hodnotu $F_{t,\text{loz,tupý}} = 135 \text{ kN}$.

Sledovány byly hodnoty normálových sil v kotevních tyčích (TN1, TN5), v řídicí tyči (TN2 a TN4) a v koleji (TK4 a TK13). Sledován byl také vodorovný posun mostu (PSD1 a PSD2). Hodnoty normálových sil reálné koleje v následujících grafech byly získány zdvojnásobením experimentálně naměřených hodnot osových sil levé kolejnice.

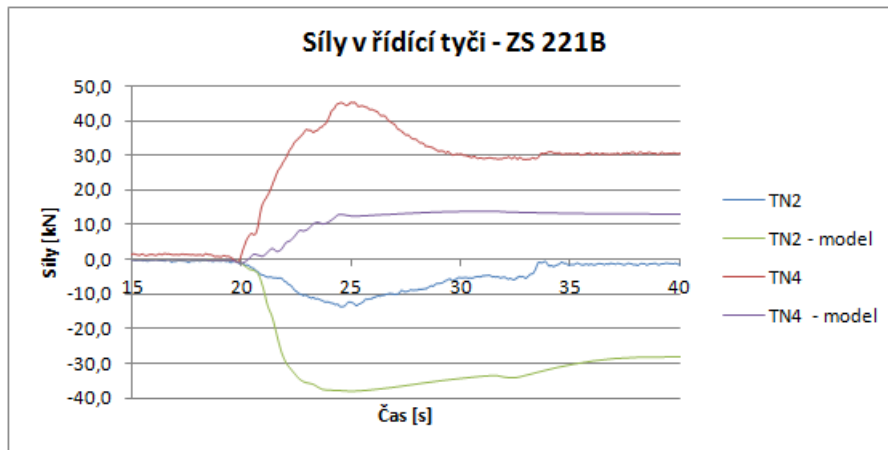


Obrázek 166: Schéma sledovaných snímačů na NOK1.

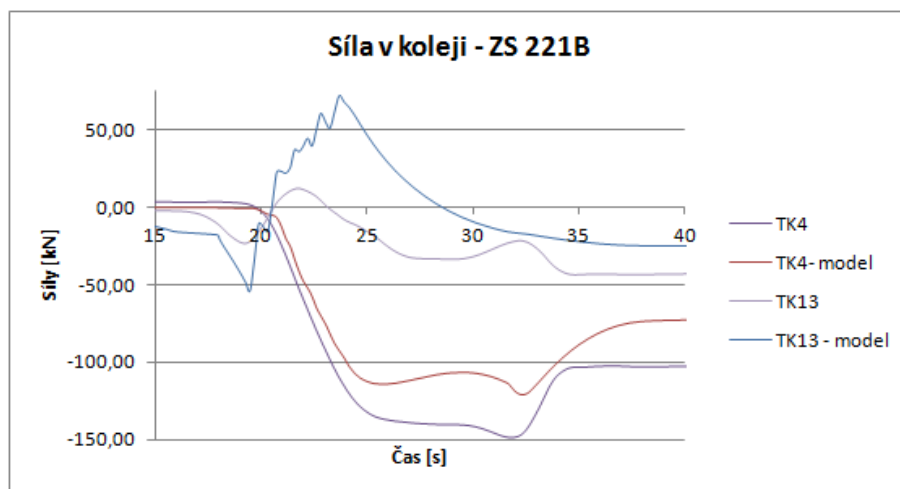
8.1.1 ZS221B - Brzdění



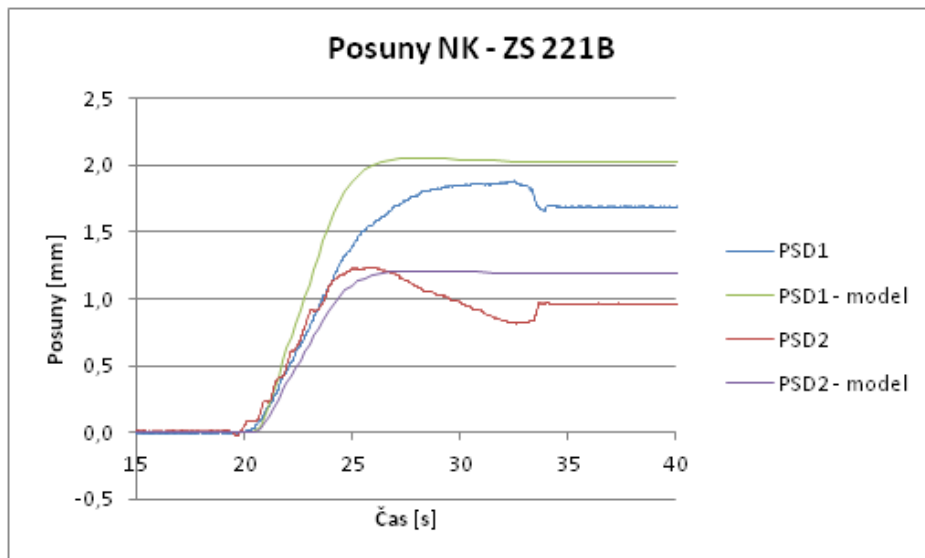
Obrázek 167: ZS221B - brzdění: Porovnání normálových sil v kotevných tyčích - model/experiment



Obrázek 168: ZS221B- brzdění: Porovnání normálových sil z konce řídicí tyče - model/experiment

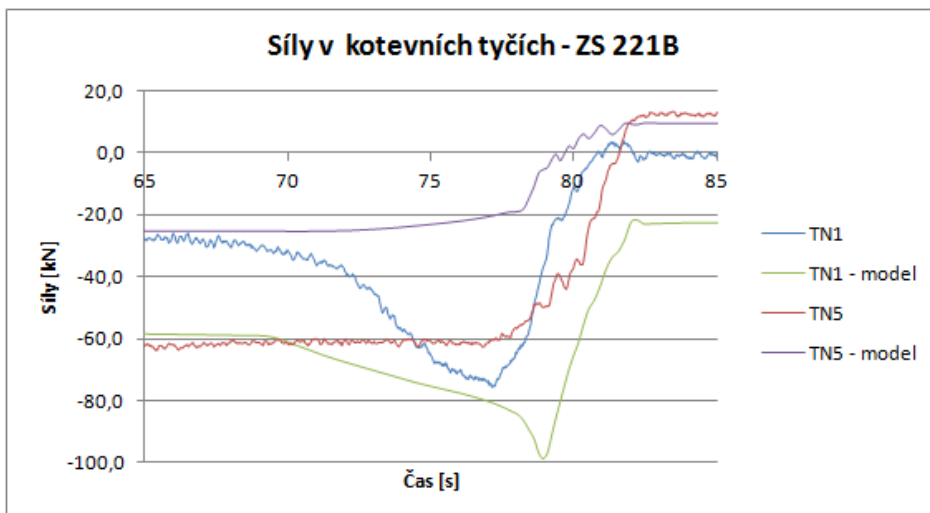


Obrázek 169: ZS221B- brzdění: Porovnání normálových sil koleje - model/experiment

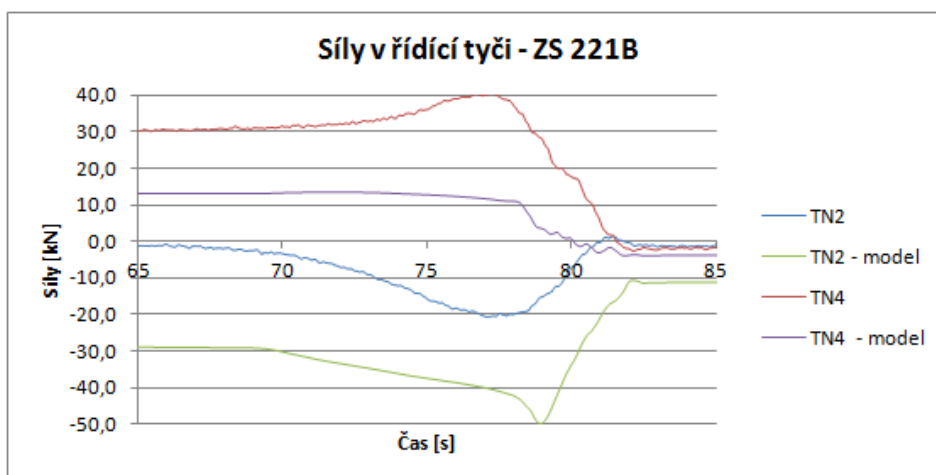


Obrázek 170: ZS221B- brzdění: Porovnání posunů NK - model/experiment

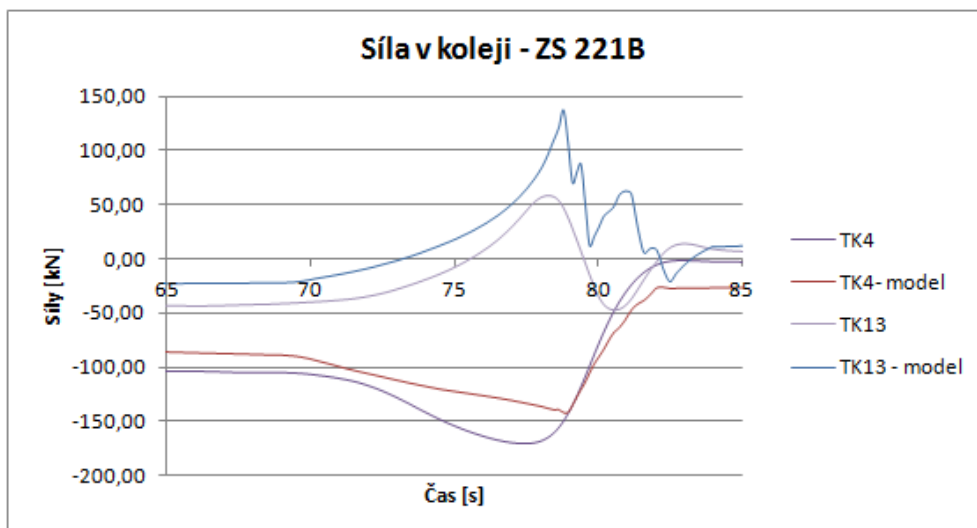
8.1.2 ZS221B - Rozjezd



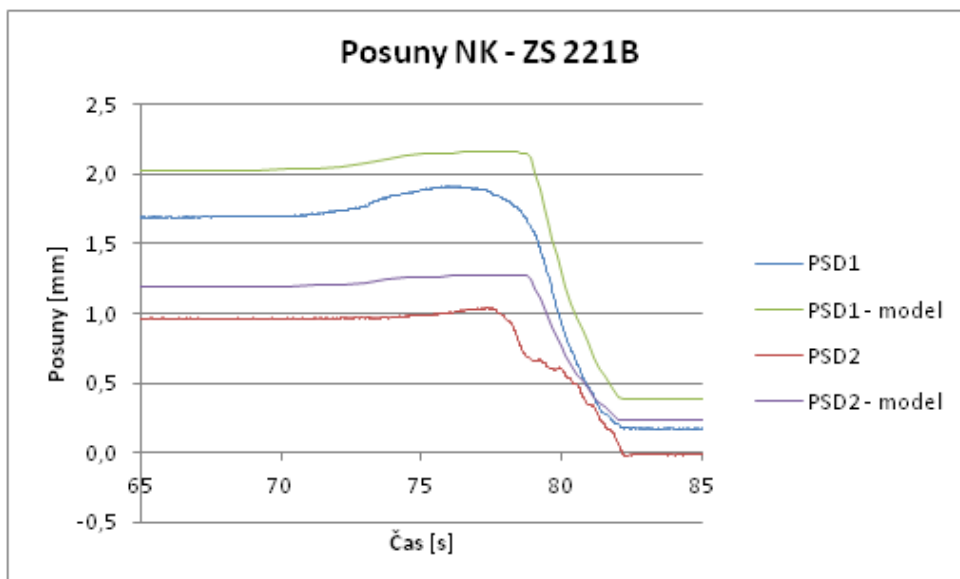
Obrázek 171: ZS221B – rozjezd: Porovnání normálové síly v kotevních tyčích – model/experiment



Obrázek 172: ZS221B - rozjezd: Porovnání normálové síly v řídicí tyči - model/experiment

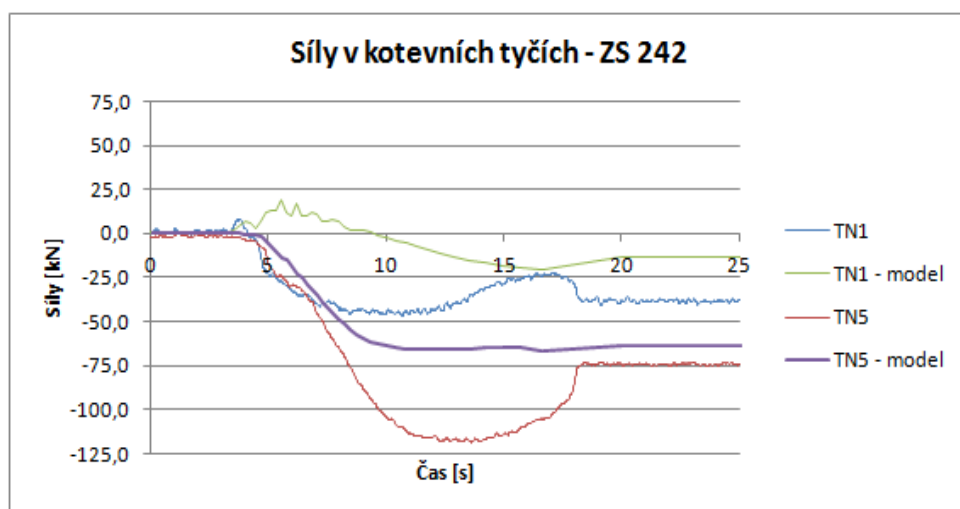


Obrázek 173: ZS221B - rozjezd: Porovnání normálové síly v koleji - model/experiment

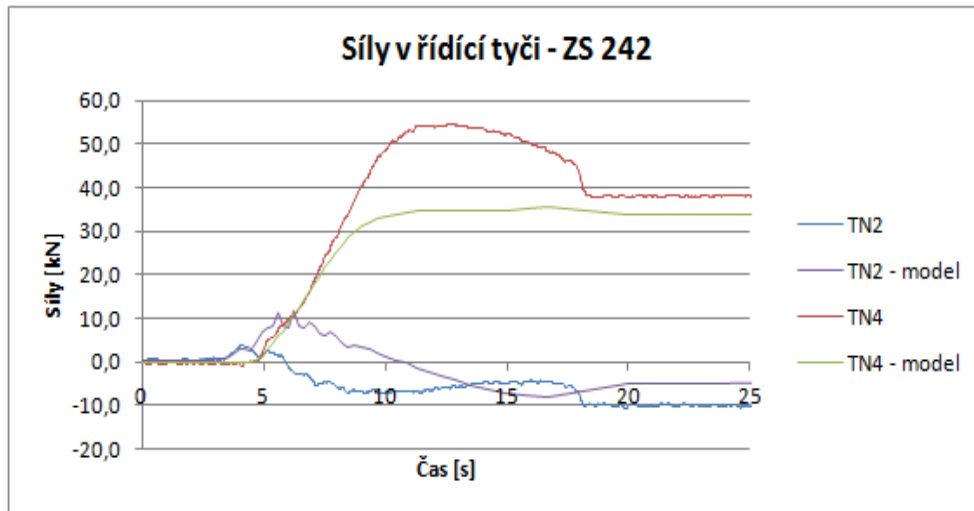


Obrázek 174: ZS221B - rozjezd: Porovnání posunů NK - model/experiment

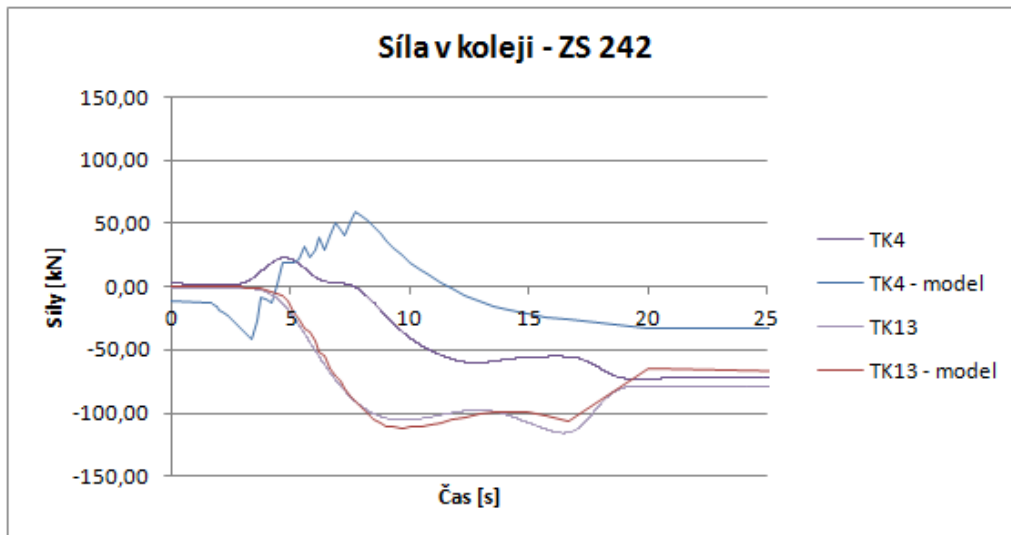
8.1.3 ZS 242 – Brzdění



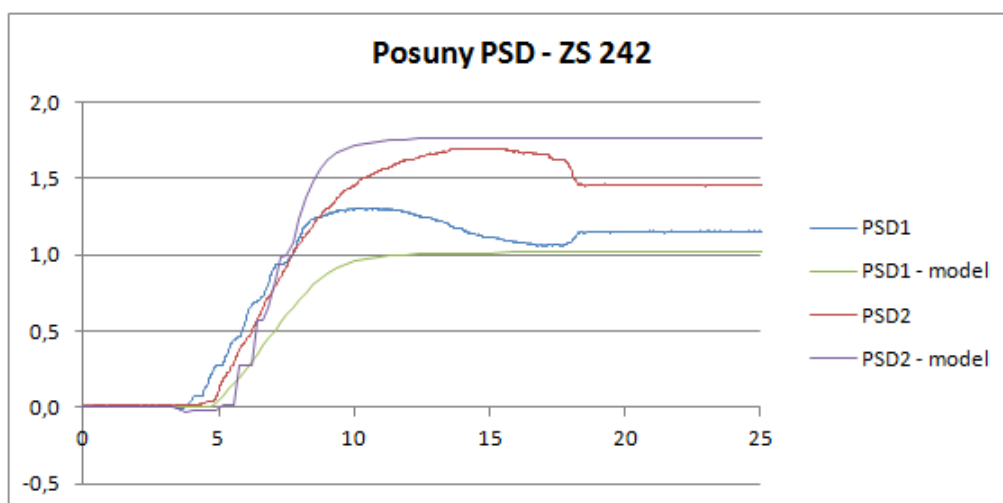
Obrázek 175: ZS242 - brzdění: Porovnání normálových sil v kotevních tyčích - model/experiment



Obrázek 176: ZS 242 - brzdění: Porovnání normálových sil v řídicí tyči - model/experiment

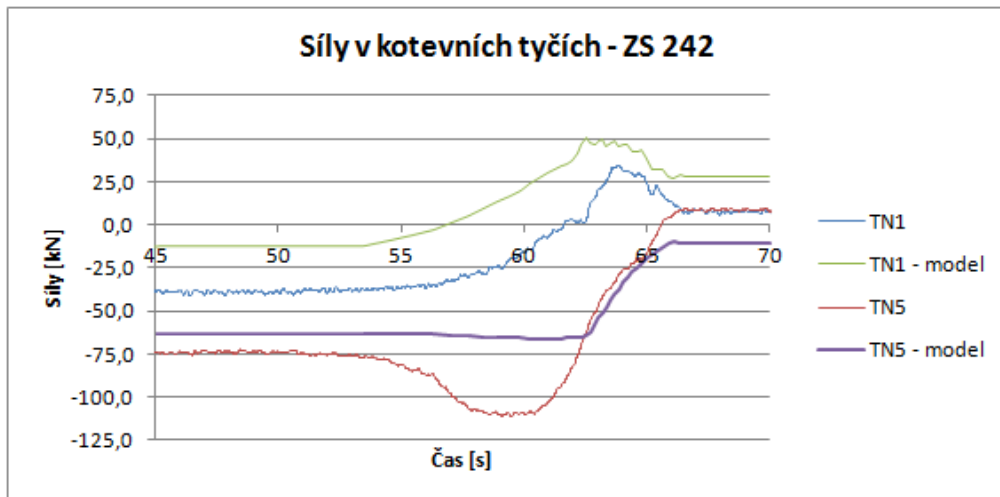


Obrázek 177: ZS 242 - rozjezd: Porovnání normálových sil v koleji - model/experiment

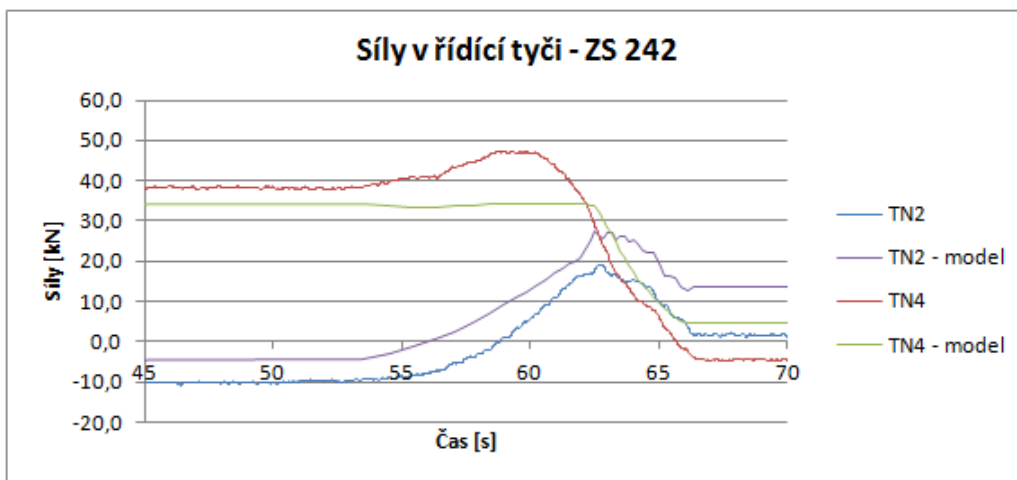


Obrázek 178: ZS242 - brzdění: Porovnání posunů NK - model/experiment

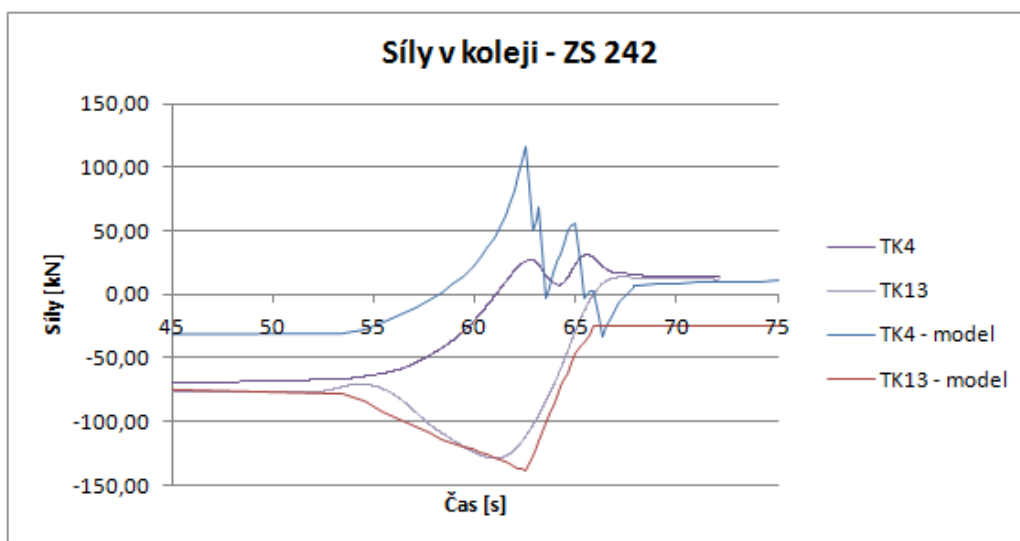
8.1.4 ZS 242 - Rozjezd



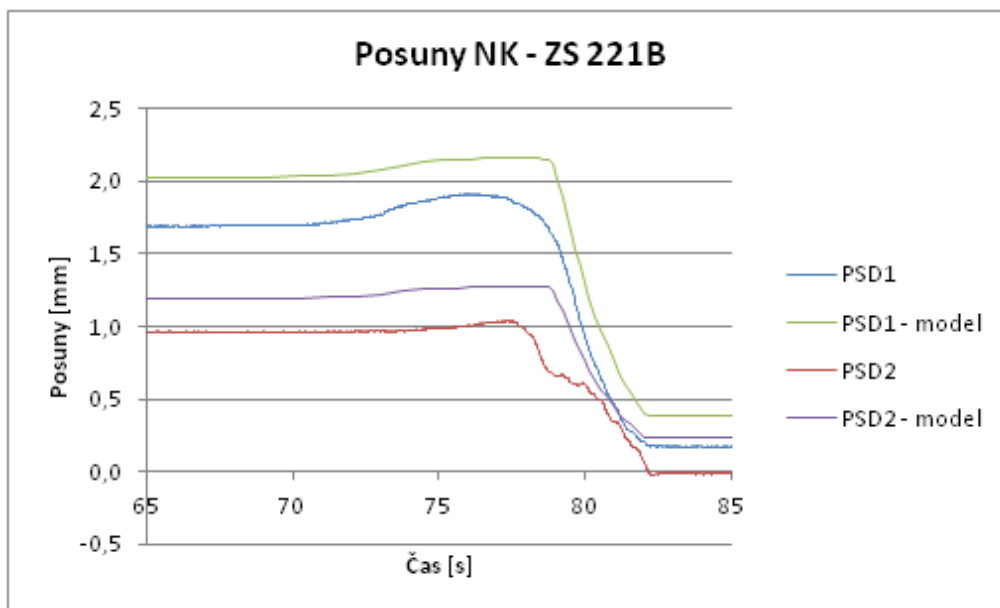
Obrázek 179: ZS242 - rozjezd: Porovnání normálových sil v kotevných tyčích - model/experiment



Obrázek 180: ZS242 - rozjezd: Porovnání normálových sil v řídicí tyči - model/experiment



Obrázek 181: ZS242 - rozjezd: Porovnání normálových sil v koleji - model/experiment



Obrázek 182: ZS242 - rozjezd: Porovnání posunů NK - model/experiment

8.2 Zhodnocení validace

Chování validovaného modelu částečně odpovídá chování reálného mostu. K tomu, aby se dospělo alespoň k této shodě, bylo vytvořeno velké množství modelů, na kterých byla měněna tuhost kolejového lože, tření v řídicí tyči a tření v ložiskách.

Změna tuhosti kolejového lože jen nepatrně ovlivnila hodnotu normálových sil, které byly vyvolané brzdými a rozjezdovými účinky vlaku. Projevila se spíše při statických účincích a to tak, že se zvýšením tuhosti vzrostla záporná normálová síla nad oběma opěrami. Aby se chování modelu alespoň částečně podobalo chování reálného mostu, byla zvolena tuhost nezátíženého kolejového lože na mostě $k = 17\text{kN/m}$. Tato hodnota je vyšší poněkud vyšší než se běžně udává. Předpokládá se, že během dynamických a brzdých zatěžovacích zkoušek došlo k přerovnání zrn štěrkového lože a tím i k jeho ztužení. K tomuto předpokladu se lze přiklonit i z toho důvodu, že ZS242 a ZS221B byly provedeny téměř na konci zatěžovacích zkoušek, kdy tuhost kolejového lože mohla být ovlivněna předchozí působením zatěžovacího vlaku.

Změna třecí síly v sedlech řídicí tyče výrazně ovlivňovala hodnoty normálových sil v celém SŘDM. Byly testovány třecí síly s hodnotou kolem $0,5\text{kN}$. Při těchto hodnotách ale nebylo možné dosáhnout tlaku v obou kotevních tyčích, tak jak je tomu ve skutečnosti. Reálnějšího chování modelu bylo dosaženo až po tom, co byla aplikována třecí síla kolem $1,5\text{--}1,7\text{kN}$, které byly i stanoveny výpočtem. Proto bylo nakonec zvoleno, že třecí síla v sedlech řídicí tyče zadaná do modelu bude mít hodnotu $F_t=1,68\text{kN}$.

Změna třecí síly v ložiscích prakticky neovlivnila hodnotu normálových sil koleje a SŘDM. Předpokládá se, že při pohybu vlaku dojde k okamžitému překonání třecí síly v ložisku a tím i k jeho následnému tečení. Výraznější změny bylo dosaženo, pokud

k plastickému tečení ložiska docházelo po jeho posunutí o 0,8-1,1mm. V tom případě bylo dosaženo velkých tlakových namáhání v koleji nad opěrou, která byla pouze přejížděna.

Vcelku přesně se podařilo podchytit chování koleje na opěře, u které má vlak zastavit. Rozdíl mezi experimentálně naměřenými hodnotami osových sil a hodnotami osových sil v modelu je cca 30% s tím, že vyšší hodnoty vycházejí z experimentálního měření. Naopak, při přejezdu vlaku přes opěru, na které nemá zastavit je zřejmé, že kolej nad touto opěrou reaguje opožděně.

Kotevní tyče reagují lépe na té straně mostu, na které měl vlak zastavit. U ZS221B je vcelku uspokojivý průběh normálové síly v kotevní tyči na straně Hohenau, hodnota této síly je v rámci tolerance akceptovatelná. Bohužel, na straně mostu, která je přejížděná, řídicí tyče téměř nereagují na brzdné síly.

V řídicích tyčích bylo dosaženo podobného průběhu klidových normálových sil jako v experimentu. Součet absolutních hodnot normálových sil na koncích řídicí tyče přibližně odpovídá experimentálně naměřeným. Za povšimnutí stojí, že hodnoty normálových sil z experimentu a z modelu jsou vůči sobě posunuty. Lze z toho usoudit, že statické působení vlaku na reálném mostě je jiné, než v modelu. Nejspíše se jedná o vliv šikmosti, který není v modelu dostatečně zohledněn.

Hodnoty posunů bodů v modelu, které reprezentují vodící ložisko, odpovídají maximální hodnotou spíše na té straně mostu, na které bylo vyžadováno zastavení vlaku. U PSD1-model (vodící ložisko na straně Hohenau) si lze povšimnout, že reaguje opožděně na straně mostu, kterou vlak přejíždí a naopak reaguje s předstihem na té straně mostu, na které vlak zabrzdí. Bohužel, v modelu se nepodařilo podchytit změnu posunu vodících ložisek po tom, co se vlak na mostě přestal pohybovat.

Aby bylo dosaženo lepších výsledků, je nutné lépe podchytit statické chování nosné konstrukce. Je nutné si uvědomit, že kolejové lože na skutečném mostě výrazně ovlivňuje jeho tuhost. V modelu se dá změna tuhosti nosné konstrukce dosáhnout změnou průřezu trámu nebo oblouků, lze také přidat nebo odebrat pruty vyztužující mostovku nebo měnit jejich průřez.

Zohlednění tření v ložiscích při pohybu vlaku na mostě by mohlo ovlivnit průběh a velikost vnitřních sil v koleji a v SŘDM. Lze toho docílit tak, že k původnímu linku s třecí silou, který reprezentuje ložisko, by byly v průběhu přejezdu vlaku přidávány další třecí linky tak, aby součet tření v lincích dosáhl požadované hodnoty. Druhou možností, jak lépe zohlednit chování ložisek, je modelovat ložiska s jedním linkem, který odebírá stupeň volnosti ve svislém směru a k tomu přidat link s lineární závislostí třecí síly. Tento link by byl

v určité fázi přejezdu odebrán. Odebrání linku by reprezentovalo dosažení třecí síly a následné tečení ložiska.

9 Parametrická studie

9.1 Úvod

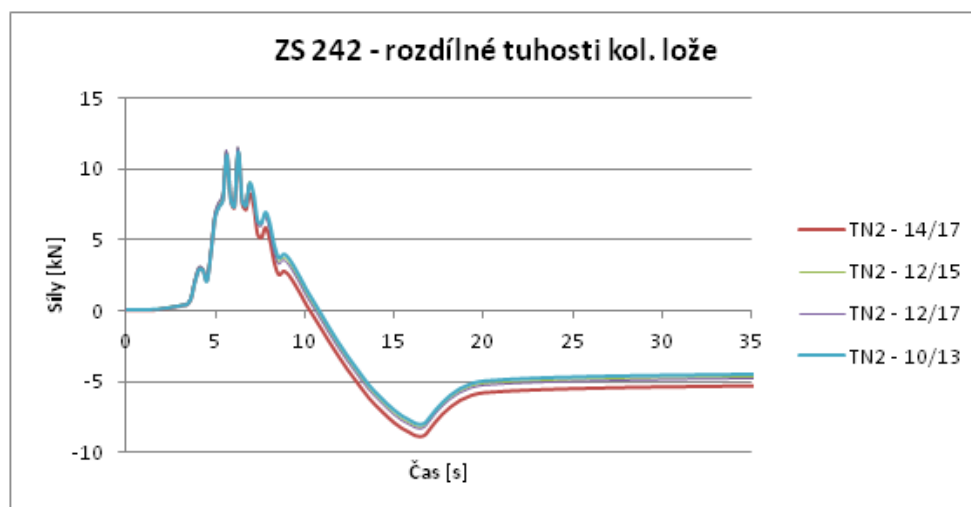
Na validovaném modelu byla provedena parametrická studie, která měla objasnit, jak se změny síly v kolejnicích a v SŘDM s měnící se hodnotou tuhosti kolejového lože a tření v řídicí tyči. Ke studii byly vybrány tyto části, neboť na validovaném modelu vykazovaly nejreálnější chování. Vyšetřováno bylo také tření v ložiskách. Hodnoty, které jsou v grafech vyneseny lze brát pouze relativně, neboť model nebyl plně vyladěn. I tak ale poskytnou informace o chování interakce mezi SŘDM a kolejí. Parametrická studie byla provedena u zatěžovacího stavu ZS242. Pro přehlednost byla vyšetřována reakce jen při brzdění. Při rozjezdu docházelo ke stejným změnám v normálových silách a posunech, proto bylo rozhodnuto tuto část zatěžovacího stavu vynechat.

9.1.1 Změna tuhosti kolejového lože

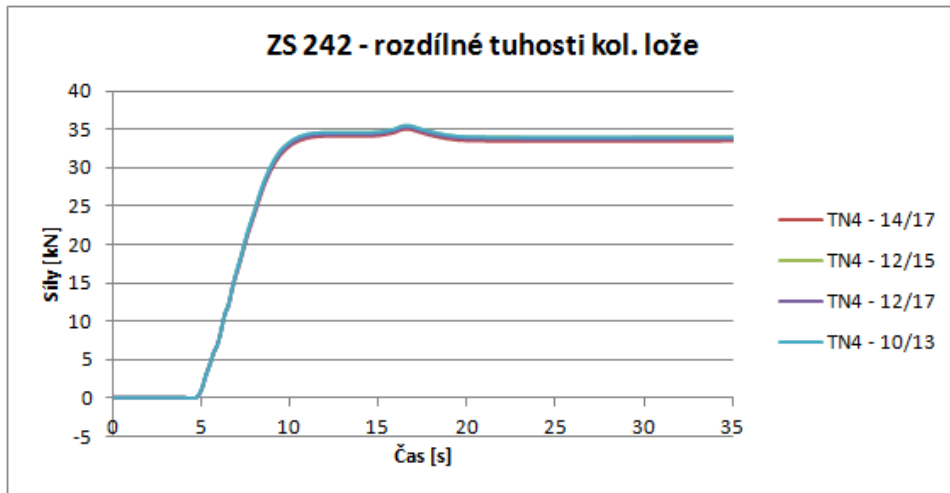
V této podkapitole bude zobrazeno, jak dochází ke změně normálových sil při změně tuhosti kolejového lože. Byly zvoleny celkem čtyři případy:

- 14/17 – zvýšená tuhost kolejového lože, která může nastat například při přejetí podbíječkou
- 12/15 – tuhost kolejového standardně podle normy
- 12/17 – tuhost kolejového lože, pro kterou byl model validován
- 10/13 – snížená tuhost kolejového lože v důsledku jeho stáří

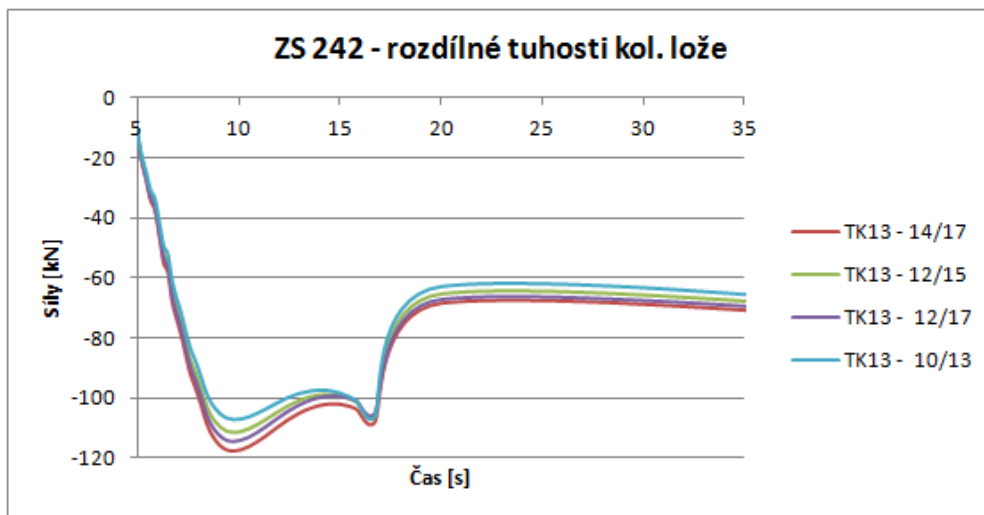
Vysvětlení popisku obrázků: TK13 -14/17 – měřený tenzometr TK13, tuhost kol. lože v trati: $k=14\text{kN/m}$, tuhost kol. lože na mostě: $k=17\text{kN/m}$



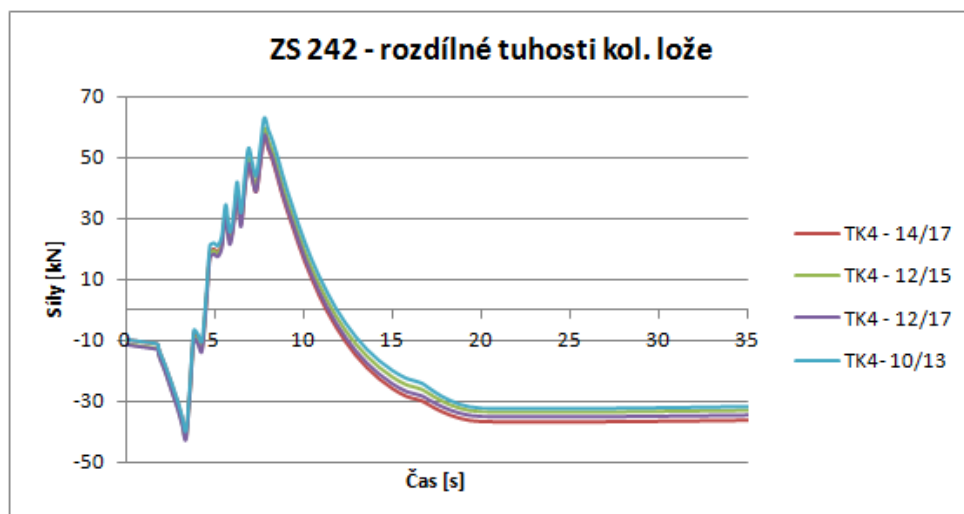
Obrázek 183: ZS242 – rozdílná tuhost k. lože: Porovnání normálových sil v místě TN2



Obrázek 184: ZS242 – rozdílná tuhost k. lože: Porovnání normálových sil v místě TN4

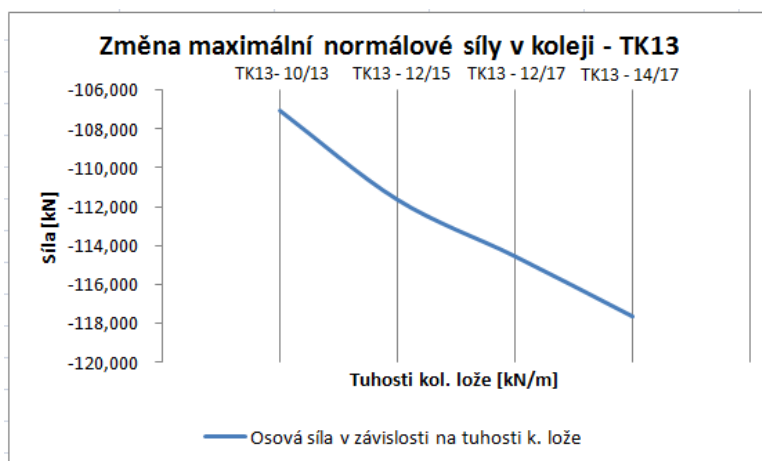


Obrázek 185: ZS242 – rozdílná tuhost k. lože: Porovnání normálových sil v místě TK13

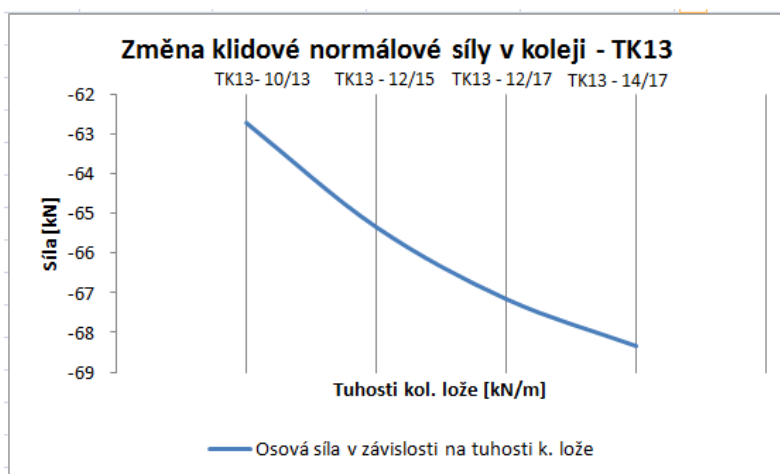


Obrázek 186: ZS242 – rozdílná tuhost k. lože: Porovnání normálových sil v místě TK4

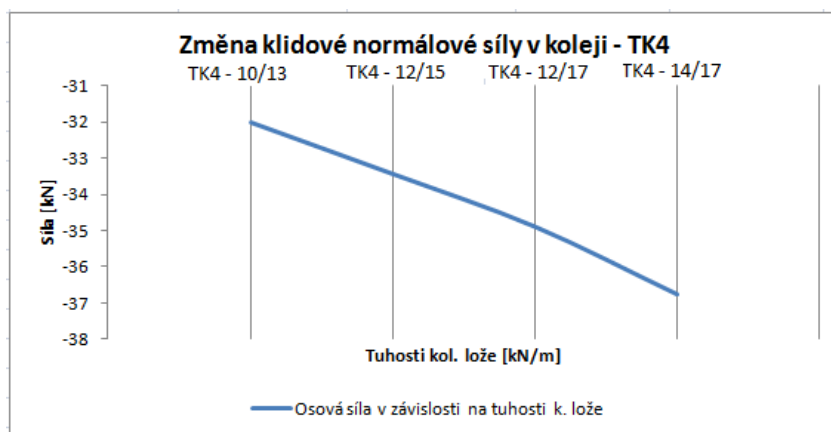
Na následujících obrázcích jsou znázorněny změny normálové síly v koleji v závislosti na tuhosti kolejového lože. Zobrazeny jsou případy maximální osově síly v místě TK13 v čase 8,5 sekundy, klidové síly v místě TK13 a TK4 v čase 25 sekund.



Obrázek 187: ZS242: Závislost změny max. osově síly na tuhosti kolejového lože v místě TK13 (čas 8,5s)



Obrázek 188: Závislost změny klidové normálové na tuhosti kolejového lože síly v místě TK13 (čas 25s)



Obrázek 189: Závislost změny klidové normálové na tuhosti kolejového lože síly v místě TK4 (čas 25s)

Změna tuhosti kolejového lože vykazuje daleko menší rozdíly v normálových silách, než bylo očekáváno. Změna osových sil v koleji je velmi malá, řádově se jedná o jednotky kilonewtonu. Změna tuhosti byla vyzkoušena ještě na nezávislém modelu, i v tomto případě vycházely velmi malé rozdíly mezi normálovými silami. Trend změny normálové síly je na straně Břeclav (TK13) parabolický s konvexním průběhem. Na straně Hohenau (TK4) je trend parabolický s konkávním průběhem. Z obrázků 186 a 187 lze odhadnout, že při změně tuhosti dochází k přerozdělení normálových sil v koleji mezi oběma opěrami. Při zvyšování tuhosti se v místě TK13 normálová síla zmenšuje, na opačné straně mostu v TK4 se oproti tomu zvyšuje.

Ve velmi malé míře je změna tuhosti patrná v normálových silách SŘDM. I přesto lze říci, že se zvyšující se tuhostí dochází k menšímu namáhání SŘDM.

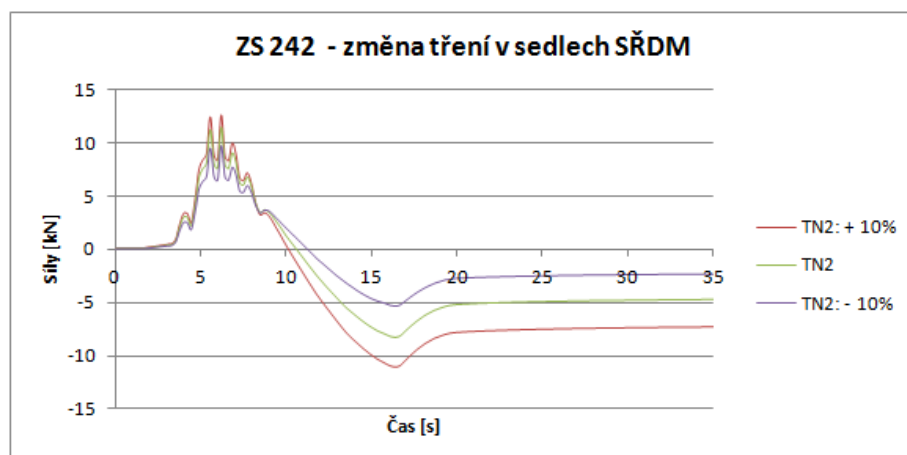
9.1.2 Změna tření v sedlech systému řízení dilatace mostu

V následující části je ukázáno, jak se změní normálové síly v řídicí tyči a v kolejnicích, pokud se sníží nebo zvýší tření v sedlech SŘDM. Vyšetřované byly oba konce řídicí tyče (TN2, TN4) a kolej v místech nad oběma opěrami (TK4 a TK13).

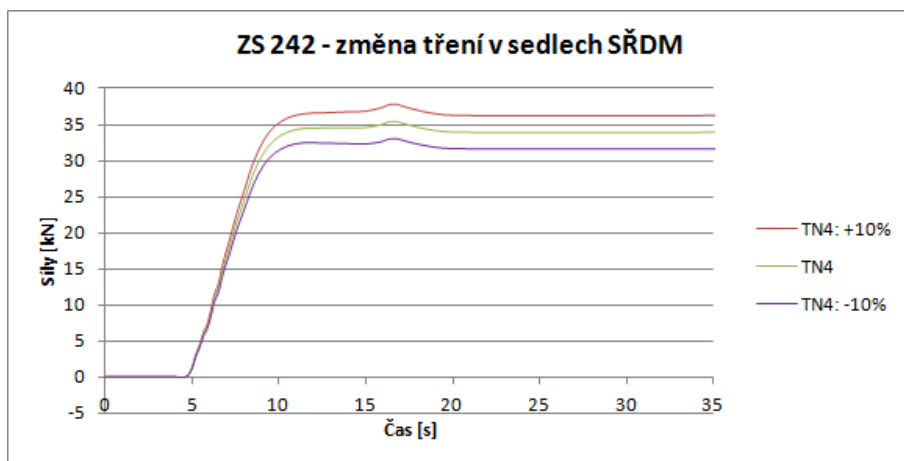
Byly vyšetřeny tři případy tření:

- 1) Tření vypočtené v kap. 6.3.1 zvýšené o 20%, - $F_t = 2,01$ kN
- 2) Tření vypočtené v kap. 6.3.1, $F_t = 1,68$ kN
- 3) Tření vypočtené v kap. 6.3.1 snížená o 20%, $F_t = 1,34$ kN

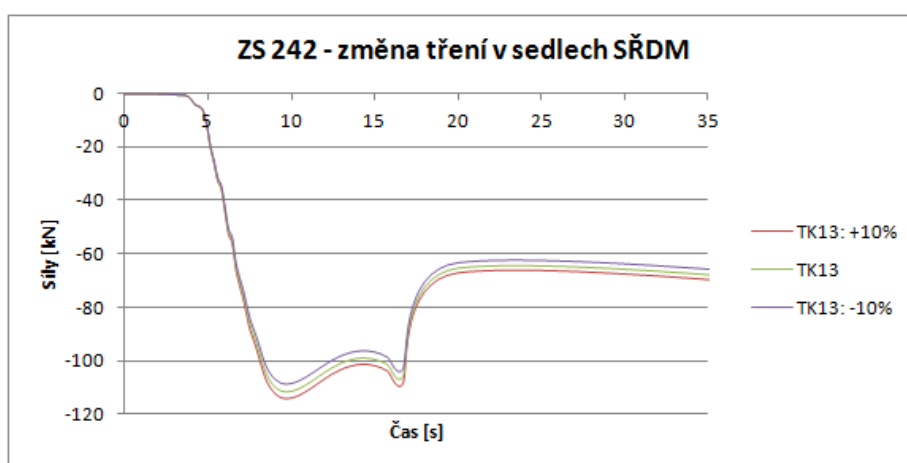
Vysvětlení popisku obrázku: TN2: +20% – měřený tenzometr TN2, tření stanovené v kap. 6.3.1 zvýšené o 20%.



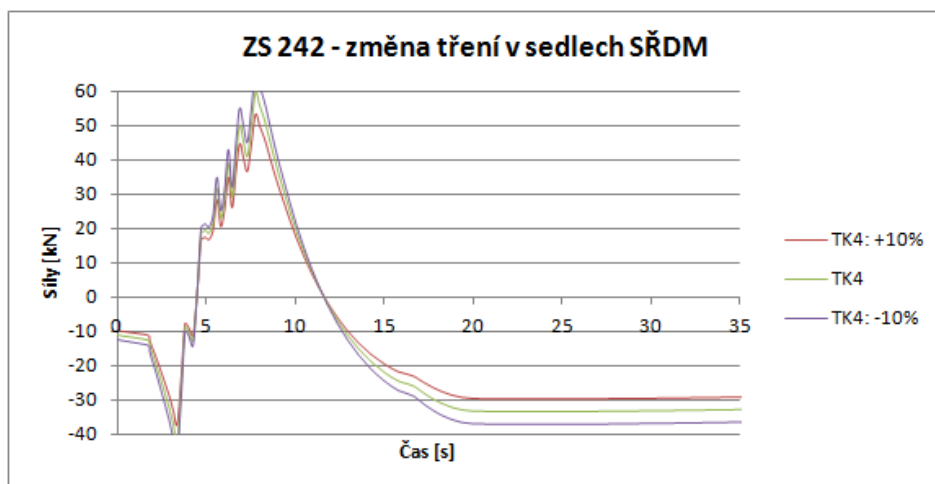
Obrázek 190: ZS242: Změna normálové síly řídicí tyče od tření v sedlech SŘDM, místo TN2



Obrázek 191: ZS242: Změna normálové síly řídicí tyče od tření v sedlech SŘDM, místo TN4

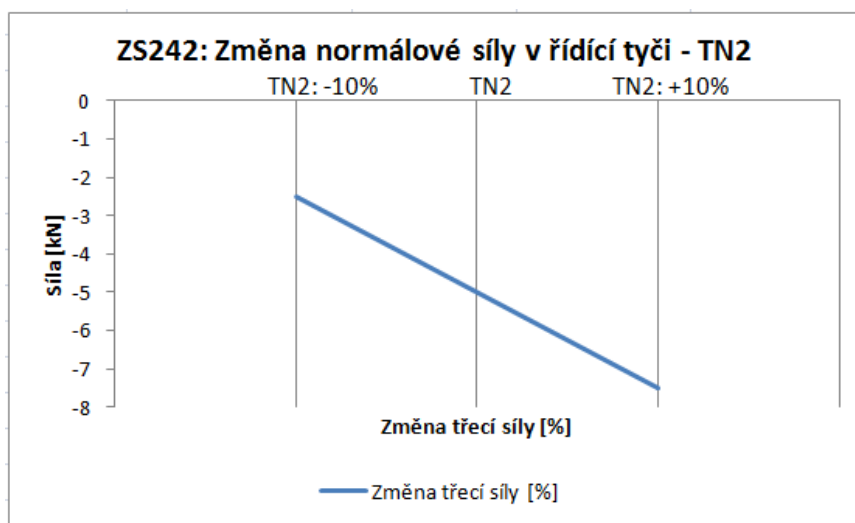


Obrázek 192: ZS242: Změna normálové síly koleje od tření v sedlech SŘDM, místo TK13

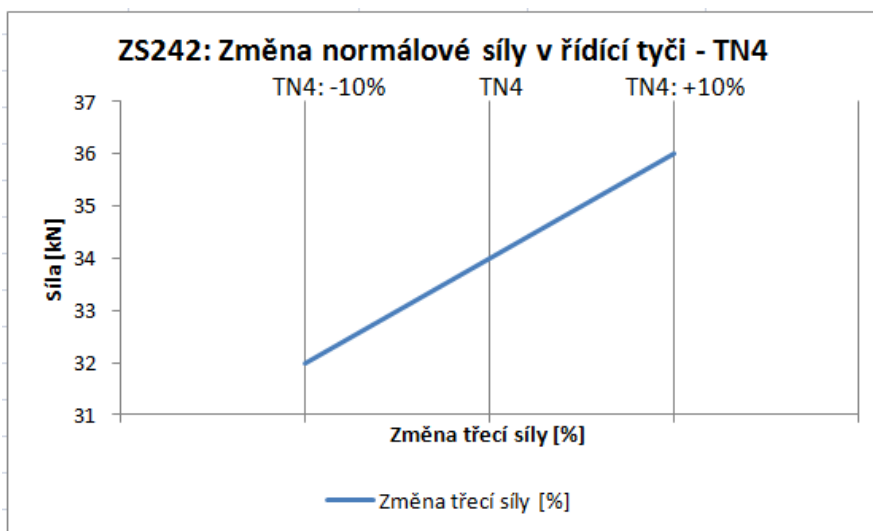


Obrázek 193: ZS242: Změna normálové síly koleje od tření v sedlech SŘDM, místo TK4

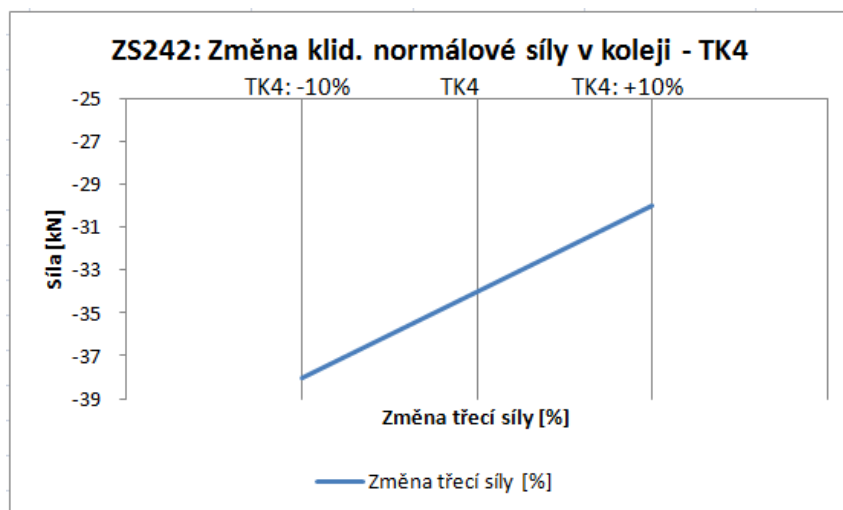
Na následujících obrázcích jsou znázorněny změny normálové síly v řídicí tyči a v koleji v závislosti na třecí síle v sedlech SŘDM. Zobrazeny jsou normálové síly na obou koncích řídicí tyče v klidovém stavu v čase 25 sekund. Zobrazeny jsou také maximální osové síly v místě TK13 v čase 8,5 sekundy a klidové síly v místě TK13 a TK4 v čase 25 sekund.



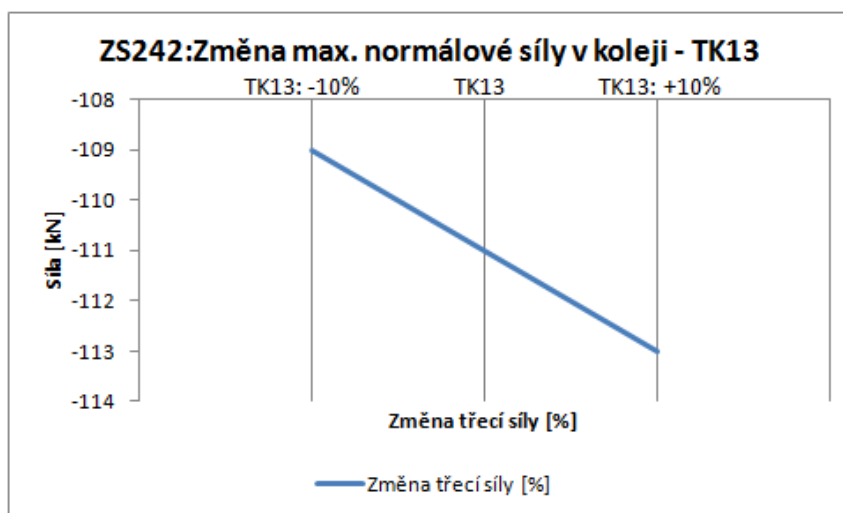
Obrázek 194: ZS242: Změna normálové síly řídicí tyče v místě TN2 v závislosti na tření v sedlech SRDM (čas 25s)



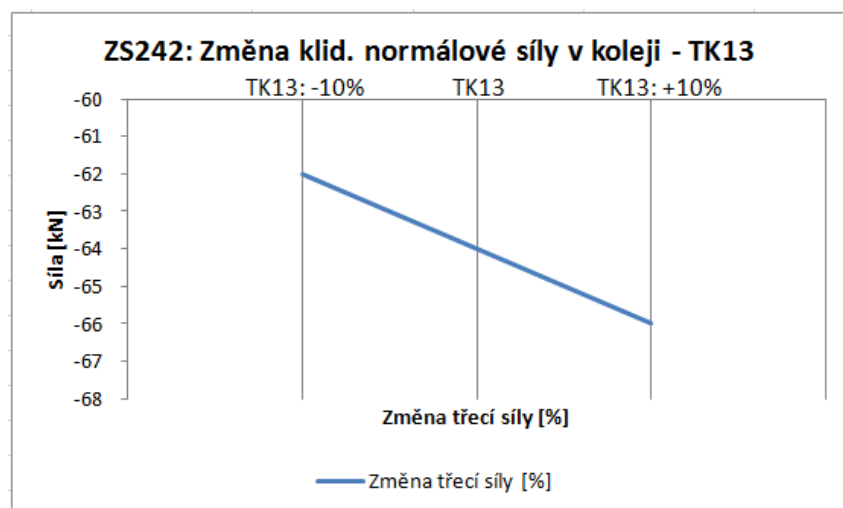
Obrázek 195: ZS242: Změna normálové síly řídicí tyče od změny tření v sedlech SRDM, místo TN4 (čas 25s)



Obrázek 196: Změna normálové síly v koleji od změny tření v sedlech SŘDM, místo TK4 (čas 25s)



Obrázek 197: ZS242: Změna max. osové síly koleje od tření v sedlech SŘDM, místo TK13 (čas 8,5s)



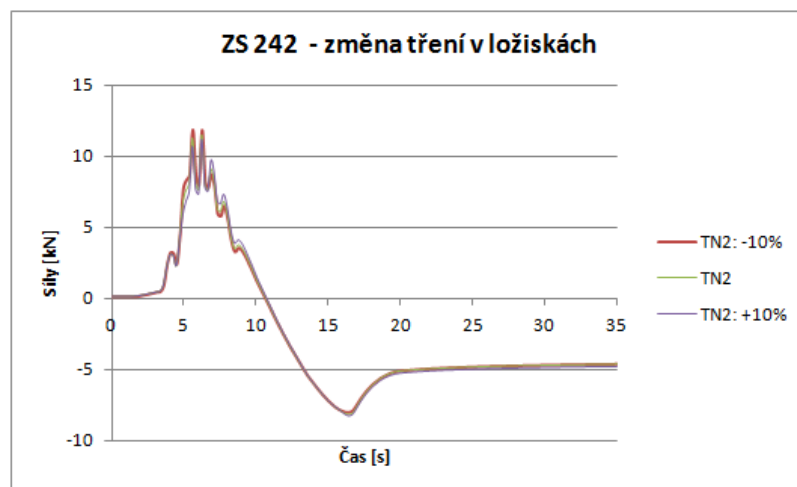
Obrázek 198: ZS242 Změna klidové osové síly koleje od tření v sedlech SŘDM, v místo TK13 (čas 25s)

Při změně třecí síly v sedlech se průběh změny normálové síly v řídicích tyčích mění lineárně. Tato změna se do kotevních tyčí přenesse díky celé geometrii SŘDM 1,9x. Na straně Hohenau, kde jsou místa TK4 a TN2, dojde se snížením třecí síly ke zvýšení normálové síly v řídicí tyči TN2 a zároveň vzroste normálová síla koleje v TK4. Na opačné straně mostu je tomu naopak. Změny sil jsou velice malé, opět v řádově v kilonewtonech, jako v předchozím případě.

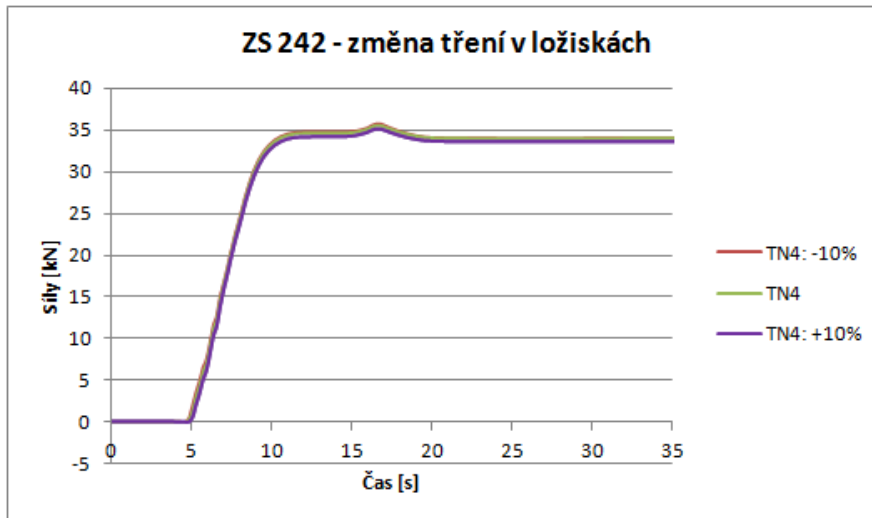
9.1.3 Změna tření v ložiskách

V poslední části parametrické studie bylo vyšetřováno, jak se projeví změna třecí síly v ložiskách na průběhu normálových sil v koleji a v SŘDM. Byly zvoleny celkem tři případy třecích sil:

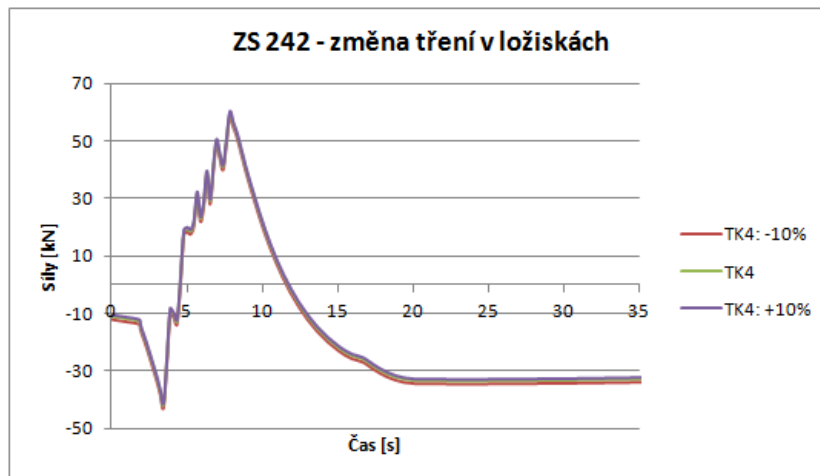
- 1) Třecí síla snižená o 10% než byla stanovena v kap.XX (třecí síla v ostrém rohu $F_{t,ostřý} = 104$ kN, v tupém rohu $F_{t,tupý} = 150$ kN)
- 2) Třecí síla stanovená v kap. XX (třecí síla v ostrém rohu $F_{t,ostřý} = 115$ kN, v tupém rohu $F_{t,tupý} = 135$ kN)
- 3) Třecí síla zvýšená o 10% než byla stanovena v kap.XX (třecí síla v ostrém rohu $F_{t,ostřý} = 126$ kN, v tupém rohu $F_{t,tupý} = 165$ kN)



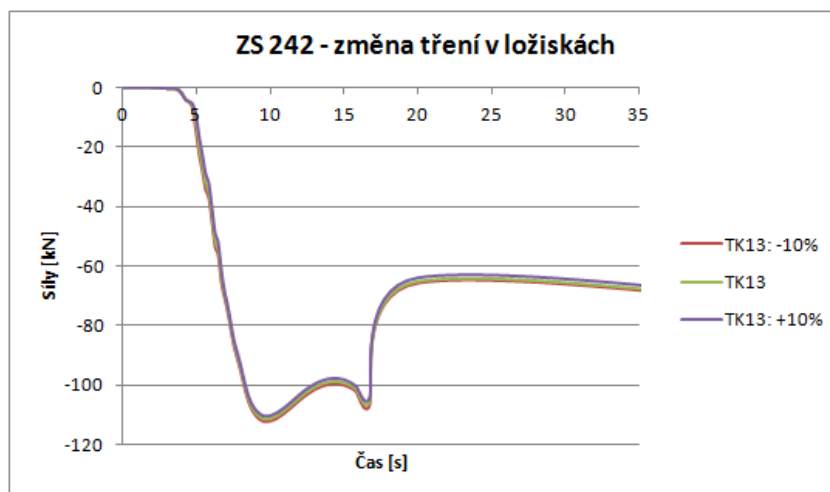
Obrázek 199: ZS242: Porovnání změny normálové síly v místě TN2 – změna tření v ložiskách



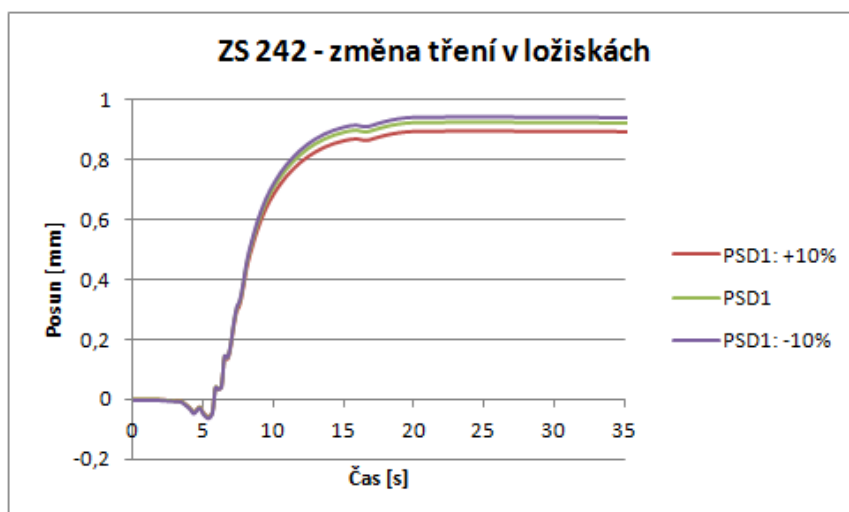
Obrázek 200: Změna normálové síly řídicí tyče v místě TN4 – změna tření v ložiskách



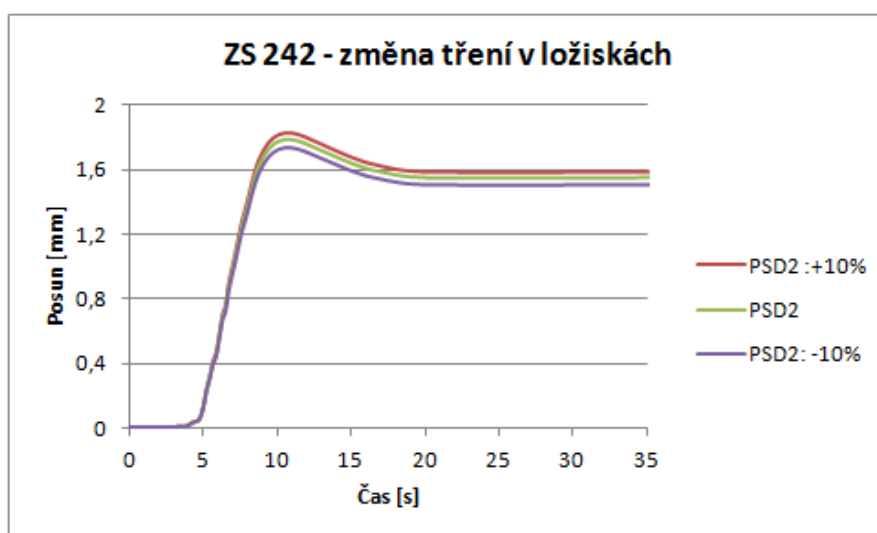
Obrázek 201: Změna normálové síly koleje v místě TK4 – změna tření v ložiskách



Obrázek 202: ZS242: Změna normálové síly v koleje v místě TK13 – změna tření v ložiskách



Obrázek 203: Změna posunu vodícího ložiska od změny tření v ložiskách, místo PSD1



Obrázek 204: Změna posunu vodícího ložiska od změny tření v ložiskách, místo PSD1

Z obrázků je patrné, že změna třecí síly v ložiskách má oproti předpokladům naprosto zanedbatelný vliv na normálové síly koleje a SŘDM a jen nepatrně ovlivní posun. Lze argumentovat tím, že modelováním ložisek pomocí pružnoplastických linků tekoucích při velmi krátkém posunu (0,01mm) nebylo dosaženo přebrání brzdné síly. Možné také je, že délka kroku zatížení je příliš velká na to, aby bylo přesně zohledněno přebrání brzdné síly ložiskem a následné tečení. Během validace modelu byly zkoušeny různé linky, které měly vyšší hodnotu posunu pružné deformace. Se zvyšující se hodnotou posunu při tečení docházelo sice k přenosům brzdných sil do ložisek, bohužel také docházelo k velkému nežádoucímu tahovému namáhání koleje a kotevní tyče u opěry, kterou vlak pouze přejížděl. Proto bylo rozhodnuto, že se budou pro modelování ložisek používat linky s velmi malou

hodnotu posunu pružné deformace. Chování modelu s takto vymodelovanými ložisky se nejvíce podobalo chování reálného mostu.

9.2 Závěr

V této studii bylo krátce nastíněno, jak se změni jednotlivé parametry v SŘDM a koleji, pokud se bude měnit tuhost kolejového lože, třecí síla v sedlech řídicí tyče a tření v ložiskách. Rozsah změny tuhostí a třecích sil byl zvolen tak, jak se očekává, že by se mohly v průběhu životnosti mostu měnit. Ze studie je zřejmé, že tyto vlivy ovlivní chování mostu minimálně.

10 Závěr

Cílem této diplomové práce bylo objasnit problematiku chování šikmého mostu s řídicí tyčí při brzdných zatěžovacích zkouškách. Dnes se téměř každá železniční trať zřizuje s bezстыkovou kolejí. Bezстыková kolej v trati je namáhána od teplotních účinků a od působení drážních vozidel. Pokud bezстыková kolej vede přes mostní konstrukci, je dodatečně namáhána od působení této konstrukce. Významný vliv na namáhání koleje má dilatace konstrukce. Pro mosty s rozpětím pole 60-120m je vhodným řešením instalace systému řízení dilatace mostu Mayer/Wunstorf. Toto zařízení má podle teoretických předpokladů snížit dilatační délku až na polovinu. Součástí systému řízení dilatace mostu jsou kotevní tyče a brzdné nosníky. Tyto prvky mají přenášet brzdné a rozjezdové síly do podpor. V létě 2016 byly na mostě Oskar, který je tímto systémem vybaven, provedeny brzdné zatěžovací zkoušky. Účelem brzdných zkoušek bylo zjistit, jakou mírou se podílí SŘDM na přenosu brzdných sil.

V první části této práce je nastíněno, jaké vlivy ovlivňují chování interakci bezстыkové koleje a mostu a jak tímto vlivům zamezit. V této části je také popsána problematika řídicích tyčí s důrazem na systém Meyer/Wunstorf.

V praktické části byla vyhodnocena data z brzdných zatěžovacích zkoušek. Předpokládalo se, že brzdné a rozjezdové síly vyvolané zatěžovacím vlakem budou v daleko větší míře přeneseny brzdnými nosníky a kotevními tyčemi do podpor s tím, že do obou podpor budou přeneseny rovnoměrně, neboť SŘDM bylo geometricky sestrojeno tak, aby byl tento předpoklad splněn. Brzdné zatěžovací zkoušky tento předpoklad vyvrátily. Většina brzdných a rozjezdových sil byla přenášena kolejí a ložisky. Jen kolem 45kN (15%) z celkových 300kN, které vyvolaly brzdné síly, bylo přeneseno do podpor. Kotevní tyče byly spíše namáhány více od statických účinků než od účinků brzdných a rozjezdových. Rovnoměrného rozdělení sil do kotevních tyčí také nebylo dosaženo, neboť chování řídicí tyče je ovlivňováno třením, které vzniká v sedlech příčníků.

V další části diplomové práce je popsáno, jak byl vytvořen nelineární numerický model mostu se zaměřením na chování SŘDM při brzdných silách. Model byl následně validován tak, aby jeho chování odpovídalo chování reálného mostu, které bylo experimentálně zjištěno během brzdných zatěžovacích zkoušek. I přes to, že bylo vytvořeno velké množství modelů a zkoušeny různé varianty podpor, linků, průřezů prvků a podobně, nebylo dosaženo uspokojivého chování modelu. Až po aplikaci velké třecí síly v sedlech řídicí tyče se chování modelu začalo přibližovat chování reálné konstrukce. I tak ale nebylo dosaženo úplné shody. Za dílčí úspěch lze považovat, že se v modelu podařilo podchytit chování koleje nad opěrou, u které měl vlak za úkol zastavit. Průběh a velikost normálové síly na více než 70% odpovídá realitě s tím, že větší síly vycházejí v experimentu. V modelu

se také povedlo částečně podchytit chování kotevních tyčí na té straně mostu, na které měl vlak zastavit. V řídicí tyči odpovídají spíše průběhy normálových sil, hodnoty jsou oproti realitě posunuté. Celkově lze říci, že lépe reaguje ta strana modelu, na které měl vlak zastavit a že model hůře reaguje na statické účinky zatížení.

V poslední části této práce byla na validovaném modelu provedena parametrická studie, která měla objasnit, jak se změní síly v koleji a v SŘDM, pokud se změní tuhost kolejového lože, tření v sedlech řídicí tyče a tření v ložiskách. V části studie, ve které se měnila tuhost kolejového lože, bylo zjištěno, že normálové síly se mění velice málo v závislosti na tuhost kolejového lože – řádově v kN. Přesto je možné spatřit trend, podle kterého změna normálových sil probíhá. Ve studii, ve které se posuzovalo chování prvků v závislosti na změně třecí síly v sedlech řídicí tyče, mohl být zvolen větší rozsah sil než jen 10%. Díky tomu také vycházely relativně malé změny v silách. I tak lze získat informace o tom, jak se kolej a SŘDM chová při změně tohoto parametru. V poslední části bylo zkoušeno, jak ovlivní třecí síla chování koleje a SŘDM.

Systém řízení dilatace mostu jako takový splňuje svoji funkci, nicméně brzdné síly jsou jím přenášeny méně, než bylo teoreticky předpokládáno. I tak bude počet mostů, které budou tímto systémem vybaveny, vzrůstat, neboť primárním účelem je snížení dilatační délky a to tento systém splňuje spolehlivě.

Literatura

[1] Bezstyková kolej na mostech, 17. Konference železniční dopravní cesta 2012, Doc. Ing. Otto Plášek, Ph.D

[2] Uplatnění řídicích tyčí u ocelových železničních mostů, Dr.-Ing. Richard Buba, SSF München

[3] SŽDC S3, díl XII

[4] Rekonstrukce mostu v km 80,930 trati Hohenau (ÖBB) – Přerov, SO 02-19-01 Železniční most v km 80,930 trati Hohenau (ÖBB) – Přerov, Dopracování projektového souhrnného řešení (DPSŘ), Výkresová dokumentace

[5] Zpráva o zahájení monitoringu pro NK1 a NK2, doc. Ing. Pavel Ryjáček, Ph.D

[6] Dynamická zatěžovací zkouška a brzdná zkouška, rekonstrukce železničního mostu v KM 80,930 trati Hohenau (ÖBB) – Přerov, prof. Ing. Michal Polák, CSc.

[7] Program dynamické zatěžovací zkoušky a brzdných zkoušek, „Rekonstrukce mostu v km 80,930 trati Hohenau (ÖBB) – Přerov“, doc. Ing. Pavel Ryjáček, Ph.D.

[8] Dynamická zatěžovací zkouška a brzdná zkouška, rekonstrukce železničního mostu v KM 80,930 trati Hohenau (ÖBB) – Přerov, prof. Ing. Michal Polák, CSc.

[9] Průběžná zpráva za rok 2014 „Funkčnost a spolehlivost mostů s řídicí tyčí MW“, doc. Ing. Pavel Ryjáček, Ph.D.

Seznam obrázků

Obrázek 1: Vybočení bezстыkové koleje v důsledku nadměrného tepelného namáhání	2
Obrázek 2: Trhlina kolejnice způsobená mrazem	2
Obrázek 3: Schéma průběhu normálových sil v koleji od teplotní změny mostní konstrukce. [2].....	3
Obrázek 4: Model podélného odporu, pro výpočetní modely se konzervativně používá lineární závislost podélného odporu na posunutí koleje. [1].....	4
Obrázek 5: Průběh normálových sil od zatížení brzdnými nebo rozjezdovými silami. [2]	5
Obrázek 6: Průběh normálové síly v koleji od statického zatížení vlaku	5
Obrázek 7: Malé dilatační kolejové zařízení	7
Obrázek 8: Velké dilatační kolejové zařízení	8
Obrázek 9: Schéma řídicí tyče RSB – Stab. [2]	9
Obrázek 10: Schéma řídicí tyče s popisem jednotlivých částí. [2].....	9
Obrázek 11: Funkce řídicí tyče a) při změně teploty, b) od působení brzdných sil. [2].....	10
Obrázek 12: Poloha mostu Oskar (zdroj mapy.cz).....	11
Obrázek 13: Pohled zleva	11
Obrázek 14: Příčný řez NOK 1, zeleně je vyznačena skutečná poloha SŘDM. [3]	12
Obrázek 15: Pohled na železniční svršek v místě změny pražců.....	13
Obrázek 16: Příčný řez vnějším a vnitřním trámem. [3]	15
Obrázek 17: Příčný řez vnějším a vnitřním obloukem. [3].....	15
Obrázek 18: Pohled na ztužení oblouků hlavního nosníku NOK2.....	16
Obrázek 19: Pohled na táhla pravého nosníku NOK1 a levého nosníku NOK2	16
Obrázek 20: Pryžová tlumící spojka křížících se táhel	17
Obrázek 21: Tvar mostovky s podélnými výztuhami. [3]	17
Obrázek 22: Pohled na podélné a příčné výztuhy. Z fotografie je patrný tvar plechu mostovky	18
Obrázek 23: Schéma ložisek, šipky ukazují uvolněný směr. [4].....	18
Obrázek 24: Půdorys kalotového ložiska. [4]	19
Obrázek 25: Pohled na levé ložisko NOK1 na opěře 01	19
Obrázek 26: Výkres SŘDM NOK2, směr Hohenau. [4].....	20
Obrázek 27: Výkres SŘDM NOK2, směr Břeclav. [4].....	20
Obrázek 28: Kotvení kotevní tyče do spodní stavby umožňující pootočení kolem svislé osy. [4].....	21
Obrázek 29: Schéma SŘDM NOK1.....	21
Obrázek 30: Umístění tenzometrů do těžiště měřeného prvku, vlevo: kolejnice, vpravo: kotevní tyč SŘDM.....	22

Obrázek 31: Schéma rozmístění tenzometrů, červeně – tenzometrické polomosty	23
Obrázek 32: Kompenzační kolejnice	23
Obrázek 33: Plný tenzometrický most – kotevní tyč. [5].....	24
Obrázek 34: Tenzometrický polomost měřící poměrnou deformaci krajního příčnicku. [5]	24
Obrázek 35: Snímač Megatron ISDT50-K2405.....	25
Obrázek 36: Potenciometrický snímač dráhy MSLPC 100 D 5K 1M5. [5]	25
Obrázek 37: Schéma ložisek. [4]	25
Obrázek 38: Snímač MSLPC 100 D 5K 2M5	26
Obrázek 39: Schéma rozmístění snímačů pro měření interakce koleje a mostu	26
Obrázek 40: Snímač teploty na NOK1 (vpravo).....	27
Obrázek 41: Snímač zrychlení ADXL326.....	27
Obrázek 42: Ústředna EMS DV 803. [5]	28
Obrázek 43: Ústředna Master (MJ-1) - strana Hohenau. [5]	28
Obrázek 44: Ústředna Slave (MJ-2) - strana Břeclav. [5].....	28
Obrázek 45: Schéma původně plánovaných zatěžovacích stavů. [7].....	30
Obrázek 46: Zatěžovací souprava brzdné zatěžovací zkoušky.....	31
Obrázek 47: Lokomotiva Siemens Taurus ES64U2	32
Obrázek 48: Obálka brzdné a rozjezdové síly v závislosti na rychlosti a provozním režimu. [7]	32
Obrázek 49: Nákladní vůz Falls	33
Obrázek 50: Rozmístění tenzometrů s doplněnými dočasnými tenzometry	34
Obrázek 51: Schéma rozmístění snímačů PSD a TN	35
Obrázek 52: Pohled na ústředny použité při zatěžovacích zkouškách.....	35
Obrázek 53: ZS211: Poloha vlaku po zastavení	37
Obrázek 54: ZS211: Normálové síly v kotevních tyčích	38
Obrázek 55: ZS211: Normálové síly v řídicí tyči	38
Obrázek 56: ZS211: Posun řídicí tyče vůči příčnicku a posun vodících ložisek NK	39
Obrázek 57: ZS211: Posuny levé kolejnice	39
Obrázek 58: ZS211: Normálové síly v pravé kolejnici	40
Obrázek 59: ZS211: Normálové síly v levé kolejnici	40
Obrázek 60: ZS211A: Poloha vlaku po zastavení	41
Obrázek 61: ZS211A – Normálové síly v kotevních tyčích.....	42
Obrázek 62: ZS211A: Normálové síly v řídicí tyči	42
Obrázek 63: ZS211A: Posun řídicí tyče vůči příčnicku a posun vodících ložisek NK.....	43
Obrázek 64: ZS211A: Posuny levé kolejnice	43
Obrázek 65: ZS211A: Normálové síly v pravé kolejnici.....	44
Obrázek 66: ZS211A: Normálové síly v levé kolejnici	44

Obrázek 67: Z211B: Poloha vlaku po zastavení	45
Obrázek 68: ZS211B: Normálové síly v kotevních tyčích.....	46
Obrázek 69: ZS211B: Normálové síly v řídicí tyči	46
Obrázek 70: ZS211B: Posun řídicí tyče vůči příčnicku a posun vodících ložisek NK.....	47
Obrázek 71: ZS211B: Posuny levé kolejnice	47
Obrázek 72: ZS211B: Normálové síly v pravé kolejnici.....	48
Obrázek 73: ZS211B: Normálové síly v levé kolejnici	48
Obrázek 74: Z232: Poloha vlaku po zastavení	50
Obrázek 75: ZS232: Normálové síly v kotevních tyčích	51
Obrázek 76: ZS232: Normálové síly v řídicí tyči	51
Obrázek 77: ZS232: Posun řídicí tyče vůči příčnicku a posun vodících ložisek NK	52
Obrázek 78: ZS232: Posuny levé kolejnice	52
Obrázek 79: ZS232: Normálové síly v pravé kolejnici.....	53
Obrázek 80: ZS232: Normálové síly v levé kolejnici	53
Obrázek 81: ZS 232A: Poloha vlaku po zastavení.....	54
Obrázek 82: ZS232A: Normálové síly v kotevních tyčích.....	55
Obrázek 83: ZS232A: Normálové síly v řídicí tyči	55
Obrázek 84: ZS232A: Posun řídicí tyče vůči příčnicku a posun vodících ložisek NK.....	56
Obrázek 85: ZS232A: Posuny levé kolejnice	56
Obrázek 86: ZS232A: Normálové síly v pravé kolejnici.....	57
Obrázek 87: ZS232A: Normálové síly v levé kolejnici	57
Obrázek 88: Z242: Poloha vlaku po zastavení	58
Obrázek 89: ZS242: Normálové síly v kotevních tyčích	59
Obrázek 90: ZS242: Normálové síly v řídicí tyči	59
Obrázek 91: ZS242: Posun řídicí tyče vůči příčnicku a posun vodících ložisek NK	60
Obrázek 92: ZS242: Posuny levé kolejnice	60
Obrázek 93: ZS242: Normálové síly v pravé kolejnici.....	61
Obrázek 94: ZS242: Normálové síly v levé kolejnici	61
Obrázek 95: Z221B: Poloha po zastavení	62
Obrázek 96: ZS221B: Normálové síly v kotevních tyčích.....	63
Obrázek 97: ZS221B: Normálové síly v řídicí tyči	63
Obrázek 98: Posun řídicí tyče vůči příčnicku a posun vodících ložisek NK	64
Obrázek 99: ZS221B: Posuny levé kolejnice	64
Obrázek 100: ZS221B: Normálové síly v pravé kolejnici.....	65
Obrázek 101: ZS221B: Normálové síly v levé kolejnici	65
Obrázek 102: ZS251: Poloha po zastavení	66
Obrázek 103: ZS251: Normálové síly v kotevních tyčích	67

Obrázek 104: ZS251: Normálové síly v řídicí tyči	67
Obrázek 105: ZS251 Posun řídicí tyče vůči příčnicku a posun vodících ložisek NK.....	68
Obrázek 106: ZS251: Posuny levé kolejnice	68
Obrázek 107: ZS251: Normálové síly v pravé kolejnici.....	69
Obrázek 108: ZS 251: Normálové síly v levé kolejnici	69
Obrázek 109: ZS251A: Poloha po zastavení	70
Obrázek 110: ZS251A: Normálové síly v kotevních tyčích.....	71
Obrázek 111: ZS251A: Normálové síly v řídicí tyči.....	71
Obrázek 112: ZS251A: Posun řídicí tyče vůči příčnicku a posun vodících ložisek NK.....	72
Obrázek 113: ZS251A: Posuny levé kolejnice	72
Obrázek 114: ZS251A: Normálové síly v pravé kolejnici.....	73
Obrázek 115: ZS251A: Normálové síly v levé kolejnici	73
Obrázek 116: Prutové zobrazení mostu Oskar	75
Obrázek 117: Příčný řez vnitřního trámu	75
Obrázek 118: Příčný řez vnějšího trámu.....	76
Obrázek 119: Příčný řez vnitřního oblouku	76
Obrázek 120: Příčný řez vnějšího oblouku	76
Obrázek 121: Příčný řez táhel v poli	76
Obrázek 122: Příčný řez táhel v krajních částech mostu	77
Obrázek 123: Nahoře: rozměry příčnicku v poli, dole: rozměry příčnicku v krajních částech mostu	77
Obrázek 124: Tvar koncového příčnick a jeho průřezové charakteristiky	77
Obrázek 125: Prut, reprezentující mostovku v poli.....	78
Obrázek 126: Prut, reprezentující mostovku v koncových oblastech	78
Obrázek 127: Ztužení mostovky	79
Obrázek 128: Nosná konstrukce	79
Obrázek 129: Pohled na model mostovky	79
Obrázek 130: Koncová oblast mostu	80
Obrázek 131: Prut reprezentující kolej a jeho průřezové charakteristiky	80
Obrázek 132: Způsob upevnění koleje k mostovce	81
Obrázek 133: Tuhost linků zadaných linků do modelu – TRAŤ: Vlevo: nezatížený, vpravo: zatížený.....	81
Obrázek 134: Tuhost linků zadaných linků do modelu – MOST: Vlevo: nezatížený, vpravo: zatížený.....	81
Obrázek 135: Příčný řez řídicí tyče.....	82
Obrázek 136: Příčný řez kotevní tyče	82
Obrázek 137: Příčný řez pákami SŘDM a jejich průřezové charakteristiky	83

Obrázek 138: Model SŘDM.....	83
Obrázek 139: Způsob propojení řídicí tyče a příčnicku.....	83
Obrázek 140: Průběh normálové síly v řídicí tyči od tření v sedlech	84
Obrázek 141: Rozdíly normálové síly v řídicí tyči od ZS 242 a ZS 221B	84
Obrázek 142: Reakce od tíhy nosné konstrukce.....	85
Obrázek 143: Linky obou ložisek.....	87
Obrázek 144: Model ložiska	87
Obrázek 145: Pohled na model ve směru od Hohenau.....	87
Obrázek 146: Pohled na model ze shora.....	88
Obrázek 147: SŘDM na straně Hohenau	88
Obrázek 148: SŘDM na straně Břeclav.....	88
Obrázek 149: Pohled od Břeclavi	89
Obrázek 150: Svislé zatížení zadané do modelu	89
Obrázek 151: Záznam přejezdů náprav přes tenzometr	90
Obrázek 152: Rozložení brzdných sil vlakové soupravy zadané do modelu	90
Obrázek 153: Rozložení rozjezdových sil vlakové soupravy zadané do modelu	91
Obrázek 154: ZS221B: rychlost a zpomalení v závislosti na čase	92
Obrázek 155: ZS 221B: rychlost a zpomalení v závislosti na dráze	93
Obrázek 156: : ZS221B: Brzdná síla v závislosti na dráze. Funkce $F(s)$ byla zadána do modelu jako zatěžovací funkce.....	93
Obrázek 157: ZS221B: rychlost a zrychlení v závislosti na čase	94
Obrázek 158: ZS221B: rychlost a zrychlení v závislosti na dráze	94
Obrázek 159: Obrázek 87:ZS221B: Brzdná síla v závislosti na dráze. Funkce $F(s)$ byla zadána do modelu jako zatěžovací funkce.	94
Obrázek 160: ZS 242: Rychlost a zpomalení v závislosti na čase	95
Obrázek 161: ZS242: Rychlost a zpomalení v závislosti na dráze.....	95
Obrázek 162: ZS242: Brzdná síla v závislosti na dráze. Funkce $F(s)$ byla zadána do modelu jako zatěžovací funkce	96
Obrázek 163: ZS242: Rychlost a zrychlení v závislosti na čase	96
Obrázek 164: ZS242: Rychlost a zrychlení v závislosti na dráze	96
Obrázek 165: ZS242: Rozjezdová síla v závislosti na dráze. Funkce $F(s)$ byla zadána do modelu jako zatěžovací funkce.....	97
Obrázek 166: Schéma sledovaných snímačů na NOK1.	97
Obrázek 167: ZS221B - brzdění: Porovnání normálových sil v kotevních tyčích - model/experiment.....	98
Obrázek 168: ZS221B- brzdění: Porovnání normálových sil z koncu řídicí tyče - model/experiment.....	98

Obrázek 169: ZS221B- brzdění: Porovnání normálových sil koleje - model/experiment	98
Obrázek 170: ZS221B- brzdění: Porovnání posunů NK - model/experiment	99
Obrázek 171: ZS221B – rozjezd: Porovnání normálové síly v kotevních tyčích – model/experiment.....	99
Obrázek 172: ZS221B - rozjezd: Porovnání normálové síly v řídicí tyči - model/experiment.....	99
Obrázek 173: ZS221B - rozjezd: Porovnání normálové síly v koleji - model/experiment.....	100
Obrázek 174: ZS221B - rozjezd: Porovnání posunů NK - model/experiment.....	100
Obrázek 175: ZS242 - brzdění: Porovnání normálových sil v kotevních tyčích - model/experiment.....	100
Obrázek 176: ZS 242 - brzdění: Porovnění normálových sil v řídicí tyči - model/experiment	101
Obrázek 177: ZS 242 - rozjezd: Porovnání normálových sil v koleji - model/experiment.....	101
Obrázek 178: ZS242 - brzdění: Porovnání posunů NK - model/experiment.....	101
Obrázek 179: ZS242 - rozjezd: Porovnání normálových sil v kotevních tyčích - model/experiment.....	102
Obrázek 180: ZS242 - rozjezd: Porovnání normálových sil v řídicí tyči - model/experiment.....	102
Obrázek 181: ZS242 - rozjezd: Porovnání normálových sil v koleji - model/experiment.....	102
Obrázek 182: ZS242 - rozjezd: Porovnání posunů NK - model/experiment	103
Obrázek 183: ZS242 – rozdílná tuhost k. lože: Porovnání normálových sil v místě TN2.....	106
Obrázek 184: ZS242 – rozdílná tuhost k. lože: Porovnání normálových sil v místě TN4.....	107
Obrázek 185: ZS242 – rozdílná tuhost k. lože: Porovnání normálových sil v místě TK13 ...	107
Obrázek 186: ZS242 – rozdílná tuhost k. lože: Porovnání normálových sil v místě TK4.....	107
Obrázek 187: ZS242: Závislost změny max. osově síly na tuhosti kolejového lože v místě TK13 (čas 8,5s).....	108
Obrázek 188: Závislost změny klidové normálové na tuhosti kolejového lože síly v místě TK13 (čas 25s).....	108
Obrázek 189: Závislost změny klidové normálové na tuhosti kolejového lože síly v místě TK4 (čas 25s)	108
Obrázek 190: ZS242: Změna normálové síly řídicí tyče od tření v sedlech SŘDM, místo TN2	109
Obrázek 191: ZS242: Změna normálové síly řídicí tyče od tření v sedlech SŘDM, místo TN4	110
Obrázek 192: ZS242: Změna normálové síly koleje od tření v sedlech SŘDM, místo TK13.....	110
Obrázek 193: ZS242: Změna normálové síly koleje od tření v sedlech SŘDM, místo TK4	110
Obrázek 194: ZS242: Změna normálové síly řídicí tyče v místě TN2 v závislosti na tření v sedlech SŘDM (čas 25s).....	111

Obrázek 195: ZS242: Změna normálové síly řídicí tyče od změny tření v sedlech SŘDM, místo TN4 (čas 25s)	111
Obrázek 196: Změna normálové síly v koleji od změny tření v sedlech SŘDM, místo TK4 (čas 25s)	112
Obrázek 197: ZS242: Změna max. osově síly koleje od tření v sedlech SŘDM, místo TK13 (čas 8,5s)	112
Obrázek 198: ZS242 Změna klidové osově síly koleje od tření v sedlech SŘDM, v místo TK13 (čas 25s).....	112
Obrázek 199: ZS242: Porovnání změny normálové síly v místě TN2 – změna tření v ložiskách	113
Obrázek 200: Změna normálové síly řídicí tyče v místě TN4 – změna tření v ložiskách	114
Obrázek 201: Změna normálové síly koleje v místě TK4 – změna tření v ložiskách	114
Obrázek 202: ZS242: Změna normálové síly v koleje v místě TK13 – změna tření v ložiskách	114
Obrázek 203: Změna posunu vodícího ložiska od změny tření v ložiskách, místo PSD1	115
Obrázek 204: Změna posunu vodícího ložiska od změny tření v ložiskách, místo PSD1	115

Seznam tabulek

Tabulka 1: Hodnoty součinitele ekvivalentní teplotní roztažnosti. [1].....	3
Tabulka 2: Omezení dilatačních délek mostu v závislosti na statickém schématu a na zřízeném železničním svršku. [3].....	7
Tabulka 3: Zapojení snímačů do ústředny Master (MJ-1). [6]	29
Tabulka 4: Zapojení snímačů do ústředny Slave (MJ-2). [6]	29
Tabulka 5: Stručný přehled zatěžovacích stavů brzdné zkoušky. x - přejeté místo zstavení, o – jen dvojice lokomotiv Taurus, ZS končící 1 – směr Břeclav - Hohenau, ZS končící 2 – směr Hohenau – Břeclav. [6]	31
Tabulka 6: Svislá tuhost kolejového lože v závislosti na kvalitě podloží [9]	82
Tabulka 7: Zatížení mostu od kolejového roštu. [7].....	85
Tabulka 8: Zatížení mostu od tíhy balastu. [7]	85
Tabulka 9: Součinitel tření ložiska v závislosti na kontaktním tlakovém napětí. [7]	86